

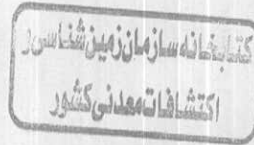
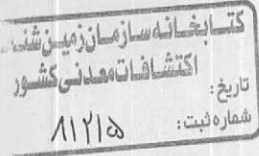
وزارت صنایع و معادن  
سازمان زمین شناسی و اکتشافات معدنی کشور

گزارش اکتشافات ژئوشیمیایی سیستماتیک ناحیه‌ای  
رسوبات آبراهه‌ای در محدوده برگه ۱:۱۰۰۰۰

ساری

مجری طرح: مهندس محمد تقی کره‌ای

توسط: گروه اکتشافات ژئوشیمیایی طرح پی جویی



## تقدیر و تشکر

اکنون که با یاری خداوند و تلاش همکاران پژوهه اکتشافات زئو شیمیابی رسوبات آبراهه‌ای برگه ساری به پایان رسیده است لازم است از کلیه کسانی که در به ثمر رسیدن این پژوهه نقش مؤثر داشته‌اند نام برده شود تا بدبینوسیله از زحمات آنها قدردانی گردد.

در ابتدا لازم است از توجه و عنایت آقای مهندس محمد تقی کره‌ای، ریاست محترم سازمان زمین شناسی و اکتشافات معدنی کشور و همچنین از زحمات آقای مهندس علی محمدی جوآبادی مدیر پژوهه که بدون مساعدت آنها انجام این پژوهه میسر نبود، تشکر بعمل آید.

در ادامه نام افراد و گروه‌هایی که در انجام این پژوهه همکاری داشته‌اند آورده شده است:

### ۱- گروه نمونه برداری

محمود پولادزاده، علی رفیعی، بهرام ابوالقاسمی، علی بیات، محمود غضنفری، حسین

محمدی، رضا عسگری، هرمز فیروزی

### ۲- آماده سازی نمونه‌ها

حسن دانشیان، بخش آماده سازی نمونه‌ها در سازمان زمین شناسی و اکتشافات معدنی

کشور.

### ۳- پردازش داده‌ها

رامین هندي، پیام سودی شعار، حسن عزمي، محمود پولادزاده، بهرام ابوالقاسمی، علی بیات

علی رفیعی، آرش ارفعی، محمود غضنفری، فرشته رستمی، آوا اشرفی، مریم دهقانی

### ۴- کتربل آنومالی‌ها

حسن عزمي، محمود پولادزاده، علی بیات، علی رفیعی، محمود غضنفری

### ۵- مطالعات کانی سنگین

بخش مطالعات کانی سنگین سازمان زمین شناسی و اکتشافات معدنی کشور سرکار خانم

صالحی و همکاران ایشان.

### ۶- تپیه نقشه و گزارش

پیام سودی شعار، محمود پولادزاده، علی بیات، علی رفیعی، فرشته رستمی، مریم دهقانی.

## فهرست مطالب

### صفحه

### عنوان

راهنمای آلبوم نقشه ها

تقدیر و تشکر

### (۱-۷)

#### فصل اول: کلیات

۱

۱- مقدمه

۲

۲- اهداف اکتشافات ژئوشیمیایی در مقیاس ناحیه ای

۳

۳- جمع آوری اطلاعات

۴

۴- بررسی حوضه های آبریز

۵

۵- موقعیت جغرافیایی و آب و هوایی منطقه

۶

۶- زمین شناسی ناحیه ای

### (۸-۱۵)

#### فصل دوم: نمونه برداری

۸

۱- مقدمه

۹

۲- عوامل مؤثر در طراحی نمونه برداری

۱۰

۳- عملیات نمونه برداری

۱۱

۴- ژئوشیمی آبراهه ای در مناطق جنگلی باران خیز

۱۱

۱-۴ - مقدمه

۱۱

۲-۴ - زمین شناسی ناحیه ای و خصوصیات کانی شناسی

۱۲

۳-۴ - ژئومورفوژوئی و گسترش آبراهه ها

۱۲

۴-۴ - توبوگرافی

۱۲

۵-۴ - عملکرد شیب در نواحی جنگلی

۱۳

۶- ۶ - هوازدگی و شکل خاک

۱۳

۷-۷ - تمرکزهای کانی سنگین

۱۳

۸-۸ - اثرات ترکیبات ارگانیک

۱۴

۹-۹ - ارگانیکها بعنوان جذب کننده فلزات

### • فصل سوم : نقش سنگ بستر

۱۶	۱- جدایش جوامع سنگی
۱۸	۲- نقش سنگ بستر در ارزیابی مقدار زمینه و حد آستانه ای
۱۸	۳- نقش سنگ بستر در ایجاد آنومالی های کاذب
۱۸	۴- تغییر پذیری سنگ بستر
۲۲	۵- بررسی مقادیر کلارک سنگهای رخمنون دار در منطقه

### • فصل چهارم : پردازش داده ها

۲۴	۱- مقدمه
۲۴	۲- پردازش داده های جوامع تک سنگی
۲۴	۳- پردازش داده های جوامع دو سنگی
۲۵	۴- پردازش داده های جوامع سه سنگی

### • فصل پنجم : تخمین مقدار زمینه

۲۷	۱- تحلیل ناهمگی ها
۲۷	۲- سیمای ژئوشیمیایی جوامع مختلف بر اساس سنگ بستر بالا دست
۲۹	۳- تخمین مقدار زمینه

### • فصل ششم : تخمین شبکه ای شاخص های غنی شدگی

۳۲	۱- تخمین شبکه ای
۳۳	۲- شاخص غنی شدگی با حذف اثر سنگ بالا دست

۳۴	۳- محاسبه احتمال رخداد هر یک از شاخص های غنی شدگی
۳۵	۴- محاسبه ضریب غنی شدگی بر اساس آنالیز نمونه ها
۴۰	۵- معرفی متغیرهای تک عنصری و چند عنصری و رسم نقشه ها
۴۱	۶- ترسیم نقشه ها

## ۹ فصل هفتم : فاز کنترل آنومالیهای زنوشیمیابی (۹۷-۹۳)

۶۷	۱- مقدمه
۶۷	۲- ردیابهای کانی سنگین
۶۸	۳- بزرگی هاله های کانی سنگین
۶۹	۴- نمونه برداری کانی سنگین ، زون های مینرالیزه و آلترا احتمالی
۶۹	۱-۴- نکاتی در مورد محل ، چگالی و وزن نمونه های کانی سنگین
۷۰	۴-۲- معرفی مناطق آنومال و نمونه های برداشت شده کانی سنگین و مینرالیزه
۷۵	۵- پردازش داده های کانی سنگین
۷۵	۵- رسم هیستوگرامها
۸۸	۶- مطالعه تغییر پذیری دانسیته گسلها
۸۸	۱-۶- مقدمه
۸۹	۲-۶- روش مطالعه
۸۹	۳-۶- داده های خام
۸۹	۴-۶- پارامترهای آماری مجموع طول گسل ها
۸۹	۵-۶- پارامترهای آماری امتداد گسلها
۹۰	۶- رسم نقشه دانسیته گسلها

## • فصل هشتم : مدل سازی آنومالیهای ژئوشیمیایی

۹۴	۱- روش کار
۹۵	۲- مدل سازی
۹۵	۱-۱- مقدمه
۹۶	۲-۲- مدل های عددی
۹۷	۳-۲- مدل سازی آنومالیهای ژئوشیمیایی
۹۹	۴-۲- اولویت بندی مناطق امید بخش بر اساس نرم افزار ODM
۹۹	۵-۲- معرفی نهایی مناطق آنومال

## فهرست آلبوم نقشه‌ها

شماره نقشه	شرح نقشه
۱	نقشه محل برداشت نمونه‌ها
۲	نقشه نهایی مناطق امیدبخش بهمراه آنومالیهای ژئوشیمیایی و شاخص کانی سنگین
۳	نقشه توزیع ضریب غنی شدگی عناصر Ag,Pb,Zn
۴	نقشه توزیع ضریب غنی شدگی عناصر As,Sb
۵	نقشه توزیع ضریب غنی شدگی عنصر Au
۶	نقشه توزیع ضریب غنی شدگی عناصر Ba,Sr
۷	نقشه توزیع ضریب غنی شدگی عناصر Bi,W
۸	نقشه توزیع ضریب غنی شدگی عناصر Cr,Fe,V,Ni,Co
۹	نقشه توزیع ضریب غنی شدگی عنصر Cu
۱۰	نقشه توزیع ضریب غنی شدگی عنصر Hg
۱۱	نقشه توزیع ضریب غنی شدگی عنصر Mn
۱۲	نقشه توزیع ضریب غنی شدگی عناصر Mo,Sn
۱۳	نقشه توزیع کانیهای سنگین گروه یک
۱۴	نقشه توزیع کانیهای سنگین گروه دو
۱۵	نقشه توزیع کانیهای سنگین گروه سه
۱۶	نقشه توزیع شکستگیها

## فصل اول

### کلیات

#### ۱- مقدمه

اکتشافات ناحیه‌ای در مقیاس ۱:۱۰۰، ۱:۱۰۰ در زمرة عملیات اکتشافی زیربنائی بحساب می‌آید که هدف آن شناخت نواحی با پتانسیل معدنی است. برای نیل به این اهداف، از روش‌های مختلف ژئوفیزیکی، ژئوشیمیایی و اطلاعات ماهواره‌ای می‌توان بهره برد. نقشه برداری ژئوشیمیایی در مقیاس ناحیه‌ای نیز یکی از این روش‌هاست که می‌تواند با نمونه برداری از رسوبات رودخانه‌ای انجام پذیرد. پروژه حاضر بخشی از طرح اکتشافات ژئوشیمیایی سیستماتیکی باشد که در محدوده برگ ۱:۱۰۰، ۱:۱۰۰ اسارتی انجام می‌پذیرد. اجرای این پروژه در دو بخش طراحی شده است. بخش اول عملیات تا رسم نقشه آنومالی‌های ژئوشیمیایی و تعیین مناطق با پتانسیل ادامه می‌یابد. بخش دوم شامل عملیات کنترل آنومالی‌هاست که از طریق مطالعات کانی سنگین، آتراسیون، مناطق کانی سازی و شکستگی‌های پر شده (Plumbing System) تعقیب خواهد شد و در نهایت اگر پس از کنترل به نتایج مثبتی متوجه شوند، بعنوان مناطق امیدبخش معرفی خواهند شد.

#### ۲- اهداف اکتشافات ژئوشیمیایی در مقیاس ناحیه‌ای

بطور تجربی ثابت شده است که رسوبات آبراهه‌ای (عموماً جزء ۸۰-۸۰ مش) می‌تواند در اکتشافات کوچک مقیاس ناحیه‌ای (۱:۱۰۰، ۱:۱۰۰) بسیار مفید واقع شود. نتایج حاصل از این بررسی‌های اکتشافی می‌تواند در تحلیل ایالات ژئوشیمیایی و شناخت الگوهای ژئوشیمیایی ناحیه‌ای و همچنین نواحی‌ای که در آنها احتمال کشف نهشته‌های کانساری بیشتر می‌باشد، بسیار مؤثر واقع شود. علاوه بر کاربردهای مستقیم ذکر شده، نقشه‌های ژئوشیمیایی رسوبات آبراهه‌ای می‌تواند کاربردهایی در زمینه کشاورزی و محیط‌زیست نیز داشته باشد.

بدیهی است که اهداف اکتشافی این نوع بررسیها با اهدافی نظیر تشخیص الگوهای ناحیه‌ای برای توزیع عناصر، متفاوت است و بدین جهت باید برای هر منظوری از روش مناسب با آن استفاده کرد. در مورد اول که هدف کشف آنومالی در هاله‌های ثانوی است، باید از تکنیکهای آماری ای استفاده نمود که اختلاف بین مقادیر آنومالی و روندهای ناحیه‌ای را به حداقل مقدار خود برساند و در نتیجه از طریق شدت بخشی آنومالیها، به شناسائی هر چه دقیقت آنها پی برد. در حالت دوم چون هدف دستیابی به روندهای ناحیه‌ای است، باید از تکنیکهای آماری ای استفاده نمود که اثرگذاری آنومالیها را در روندهای ناحیه‌ای به حداقل مقدار خود برساند. چگالی نمونه برداری در این حالت یک نمونه برای چند کیلومترمربع است که بوسیله سقف بودجه کنترل می‌شود.

### ۳- جمع آوری اطلاعات

در این مرحله استناد و مدارک مربوط به منطقه تحت پوشش به شرح زیر تهیه و مورد مطالعه قرار گرفت:

- نقشه های توپوگرافی ۱:۵۰،۰۰۰ منطقه مورد مطالعه شامل چهارگوشهای زاغ مرز، نکا، ساری و فرج آباد.

۲- نقشه زمین شناسی ۱:۲۵۰،۰۰۰ ساری

۳- نقشه ژئوفیزیک هوائی (مغناطیس هوائی) با مقیاس ۱:۲۵۰،۰۰۰ منطقه مورد مطالعه (این اطلاعات در بخش ژئوفیزیک هوایی سازمان وجود داشته است).

با توجه به اطلاعات حاصل از مدارک فوق الذکر، برنامه عملیات صحرایی جهت نمونه برداری پی ریزی گردید و در هر مورد نقش پارامترهای مؤثر در برنامه ریزی اکتشافی (بخصوص در نمونه برداری) مورد بررسی قرار گرفت که خلاصه آن در بخش‌های بعدی گزارش آورده شده است.

لازم به ذکر است بعلت جنگلی بودن منطقه و وجود پوشش گیاهی امکان استفاده از عکس‌های ماهواره‌ای طبق اظهارات مدیر بخش دورسنجی سازمان وجود نداشته است.

### ۴- بررسی حوضه‌های آبریز

بمنظور سهولت بخشنیدن به طراحی محل نمونه‌ها و اجرای عملیات مربوط، در هر حوضه آبریز لازم است تا حوضه‌های آبریز هر یک از برگه های توپوگرافی ۱:۵۰،۰۰۰ (منطقه، تعیین و مشخص گردد). همچنین تعیین محدوده حوضه‌های آبریز بر روی هر برگه می‌تواند در تحلیل داده‌های مربوط به آن مفید واقع شود. جهت سهولت در مشخص نمودن محل آنومالیهای احتمالی، که پس از تجزیه و تحلیل داده‌های حاصل از آنالیز نمونه‌ها بدست خواهد آمد، محدوده حوضه‌های آبریز هر یک از برگه های ۱:۵۰،۰۰۰ لازم است مورد بررسی قرار گیرد.

در برگه ۱:۱۰۰،۰۰۰: ساری بعلت ساحلی بردن برگه های زاغ مرز و فرج آباد عملیات بررسی حوضه‌های آبریز و تعیین شبکه نمونه برداری تنها در دو برگه ساری و نکا انجام گرفته است.

### ۵- موقعیت جغرافیایی و آب و هوایی منطقه

منطقه مورد مطالعه بین طول‌های جغرافیایی  $^{\circ}30^{\prime}$ ،  $^{\circ}33^{\prime}$  و  $^{\circ}36^{\prime}$  و قرار گرفته است. ساری از شرق به شهرستان‌های بهشهر و دامغان، از جنوب به شهرستان سمنان و از باخته به شهرستان قائم شهر محدود می‌گردد.

مهمنتین رودخانه محدوده که از اهمیت ویژه برخوردار است عبارتند از رودخانه تجن، یا گرماب رود و شعبات آن به ترتیب زیر می‌باشد:

۱- رودخانه تجن که از منابع حیاتی آبیاری شهرستان ساری بشمار می‌رود. از کوه نیزآباد واقع در قسمت‌های جنوب خاوری ساری سرچشمه گرفته و پس از دریافت شعبات متعدد از قبیل رودخانه لاجیم، زارم رود (ظالم رود)، شیرین رود و رود سالار در ۸ کیلومتری جنوب شهر ساری از کوهستان خارج می‌گردد و در ناحیه فرح آباد به دریای خزر می‌ریزد. طول این رودخانه قریب به ۱۲ کیلومتر می‌باشد.

۲- رودخانه لاجیم: از ارتفاعات شمالی رستک (کوه سامان سی) سرچشمه گرفته و پس از طی ۳۰ کیلومتر به رودخانه تجن می‌ریزد.

۳- زارم رود: که از کوه جنگلی واقع در دهستان چهاردانگه هزار جریبی سرچشمه گرفته و پس از طی ۸۰ کیلومتر راه به رودخانه تجن ملحق می‌گردد.

این شهرستان در شمال، دشتی، در جنوب، کوهستانی است. بدین صورت که سلسله جبال البرز در منتهی‌الیه جنوبی آن واقع شده است.

بیشترین ارتفاع در چهار گوش برگه مورد مطالعه ۸۵۶ متر در غرب ملاخیل و کمترین ۲۷ نزدیک فرح آباد است.

نهاد معدن مهم در شهرستان ساری زغالسنگ است که در منطقه خارخون واقع می‌باشد. اقتصاد ناحیه مانند سایر نقاط استان بر کشاورزی و دامداری بنا نهاده شده است و از نظر کشاورزی یکی از پربراترین و حاصلخیزترین مناطق کشاورزی ایران محسوب می‌گردد زیرا کلیه شرایط لازم را جهت بهره‌برداری علمی و فنی از زمین خوب که حاصل مواد آبرفتی و کودهای طبیعی و هوموس جنگلی است همراه با آب کافی و بارندگی منظم و هوای معتدل را در خود جمع کرده است و مقدار محصولات کشاورزی بحدی است که در حدود ۹۰ درصد آن به سایر نقاط صادر می‌گردد.

دامداری دومین رشته فعالیت اقتصادی اهالی ساری را تشکیل می‌دهد که از بازدهی نسبتاً بالای برخوردار است به طوری که علاوه بر دامداری سنتی، دامپروری‌های مدرن نیز در حوالی شهر بوجود آمده است. منطقه مورد مطالعه دارای آب و هوای معتدل و مرطوب است. بیشترین درجه حرارت منطقه در تابستان‌ها حدود ۳۶ درجه بالای صفر و کمترین درجه زیر صفر و میزان متوسط بارندگی سالیانه ۹۰۰ میلی‌متر است.

منطقه ساری از چهار قسمت زاغمرز، نکا، فرح آباد، و ساری تشکیل شده است. ساری از جهت شمال خاوری به استان خراسان، از جهت باختر به سایر نقاط مازندران و گیلان و از سمت جنوب باختری به استان مرکزی راه آسفالته درجه یک دارد. در ضمن بخش نکا به دلیل وجود نیروگاه، بزرگترین و مجهزترین نیروگاه برق ایران واقع در شمال بخش نکا که تأثیرات عمده‌ای در وضع اقتصادی منطقه به جای گذارده است، این بخش از اهمیت ویژه‌ای برخوردار می‌باشد. علاوه بر آنکه مرکز بخش نکا در سر آسفالته درجه یک اصلی ساری- بهشهر قرار گرفته است و بعلت عبور خط آهن سراسری تهران- گرگان از یک کیلومتری شمال شهر از مزایای ارتباطی راه آهن نیز بهره‌مند است.

رودخانه مشهور نکا که از جنوب خاوری به شمال باختり جریان یافته، اکثر نواحی بخش نکا را آبیاری می کند. این رودخانه از شاهکوه البرز(شمال شاهرود) سرچشمید گرفته و در انتهای دریای خزر می پیوندد.

## ۶- زمین شناسی ناحیه‌ای ساری

منطقه مورد مطالعه، برگه ساری، در نقشه ۱:۲۵۰،۰۰۰ ساری، چهارگوش ساری واقع شده است. این برگه تماماً از سنگ‌های رسوبی و آبرفت تشکیل شده است قسمت‌های شمالی برگه و کرانه‌های دریای خزر(بخش ساحلی) از آبرفت و لس پوشیده شده و نواحی زراعی در آن قابل مشاهده است. به منظور سهولت مطالعه، برگه مورد نظر را به سکانس‌های زیر تقسیم می‌کنیم:

۱- سکانس رسوبی-شیمیابی

۲- سکانس رسوبی (شیمیابی-آواری)

### سکانس رسوبی-شیمیابی

این سکانس شامل واحدهای  $JlS_2$ ,  $K_2l_2$ ,  $Qal$ ,  $Qt_2c$  می باشد که به ترتیب توضیح می دهیم:  
- واحد  $JlS_2$ : این واحد رسوبی-شیمیابی در قسمت‌های خاوری تا مرکز برگه به چشم می خورد که بخش‌های جنوبی و خاوری شهر نکا را شامل می‌گردد و از سنگ آهک دولومیتی و سنگ آهک‌های متعلق به سازند لار مربوط به اواخر دوره ژوراسیک تشکیل یافته است.  
این واحد سنگی بشدت گسله است و گسل‌های اصلی و فرعی زیادی در آن دیده می‌شود. و نیز گسل مازندران- خزر نیز در آن امتداد یافته است.

- واحد  $K_2l_2$ : این واحد سنگی شامل سنگ آهک‌های ضخیم لایه تا توده‌ای می‌شود که متعلق به اواخر کرتاسه می‌باشد و با رخمنون بسیار کم در گوشه خاوری این برگه به چشم می‌خورد.

- واحد  $Qt_2c$ : آبرفت‌های متعلق به کواترنر که تمامی بخش‌های ساحلی و شمالی برگه را پوشانده است، و از لس تشکیل یافته و رودخانه‌هایی چون نکا و تجن در آن جاری است.

- واحد  $Qal$  : این واحد رسوبی-آبرفتی به طور پراکنده در بخش‌های مرکزی و جنوبی با امتداد شمالی- جنوبی و به صورت نوارهای کشیده و باریک دیده می‌شود. که از آبرفت‌های سست کواترنر تشکیل شده است.

## سکانس رسوبی(شیمیابی-آواری)

این سکانس شامل واحدهای  $M_{msl}$  و  $Pl_{cm}$  می باشد.

$Pl_{cm}$  : واحد رسوبی مذکور، بخش‌های جنوبی و جنوب باختری تا مرکزبرگه را با روند خاوری-باختری پوشانده است. که در آن پیشرفته‌گی واحدهای آبرفتی  $Qt_{2c}$  و  $Qal$  قابل مشاهده است. این واحد از کنگلومرا، مارن و مارن سلپتی تشکیل شده است، واز نظر زمانی متعلق به پلیوسن می باشد. بخش‌های جنوبی شهر ساری به وسیله این واحد رسوبی پوشیده شده است.

$M_{msl}$  : این واحد رسوبی قسمت‌های جنوبی و جنوب خاوری برگه را کاملا پوشانده است. این واحد از مارن، ماسه‌سنگ آهکی، سنگ آهک ماسه‌ای، و کمی کنگلومرا تشکیل شده است که متعلق به میوسن از دوران سنوزوئیک است. در این واحد رسوبی نیز گسل‌های اصلی زیادی قابل مشاهده می باشد و نیز فسیل در آن یافت شده است.

به طور خلاصه این برگه به صورت یک دشت می باشد که تنها در بخش جنوبی آن ارتفاعاتی به چشم می خورد و از شمال به دریای خزر متنه میگردد.

رسوبات آبرفتی بیشتر برگه را به خود اختصاص داده و تنها در نیمه جنوبی سنگ‌های رسوبی شیمیابی و تخریبی رخمنون می یابند و جدا از گسل خوردگی پدیده عمده تکتونیکی دیگری در آن مشهود نیست.

سکانسهای زمین شناسی که در محلوده برگه ۱۰۰،۰۰۰:۱ ساری به چشم می خورد مطابق شرح زیر می توان خلاصه کرد (جدول ۱-۱ و ۲-۱). در ضمن نقشه زمین شناسی این برگه همراه واحدهای سنگی تهیه و در گزارش آورده شده است.(نقشه ۱-۱)

## فرآیندهای عمده تکتونیکی

در منطقه مورد مطالعه گسل مازندران- خزر از قسمت جنوب باختری منطقه تا جنوب خاوری امتداد می یابد و از بخش جنوبی ساری و نکا عبور می کند. که طبعاً در امتداد این گسل اصلی و کشیده، گسل خوردگی‌های اصلی و فرعی زیادی در قسمت‌های جنوبی برگه قابل مشاهده می باشد که تقریباً اکثر آنها از جهت گسل اصلی پیروی کرده و از جنوب باختری به جنوب خاوری امتداد یافته‌اند. در بخش جنوب خاوری برگه، چین خوردگی به چشم می خورد که محور ناویدیس در آن مشخص شده است و بقیه قسمت‌های برگه به صورت دشت و زمین‌های کشاورزی و زراعتی است و پدیده‌های تکتونیکی قابل توجهی در آن دیده نمی شود.

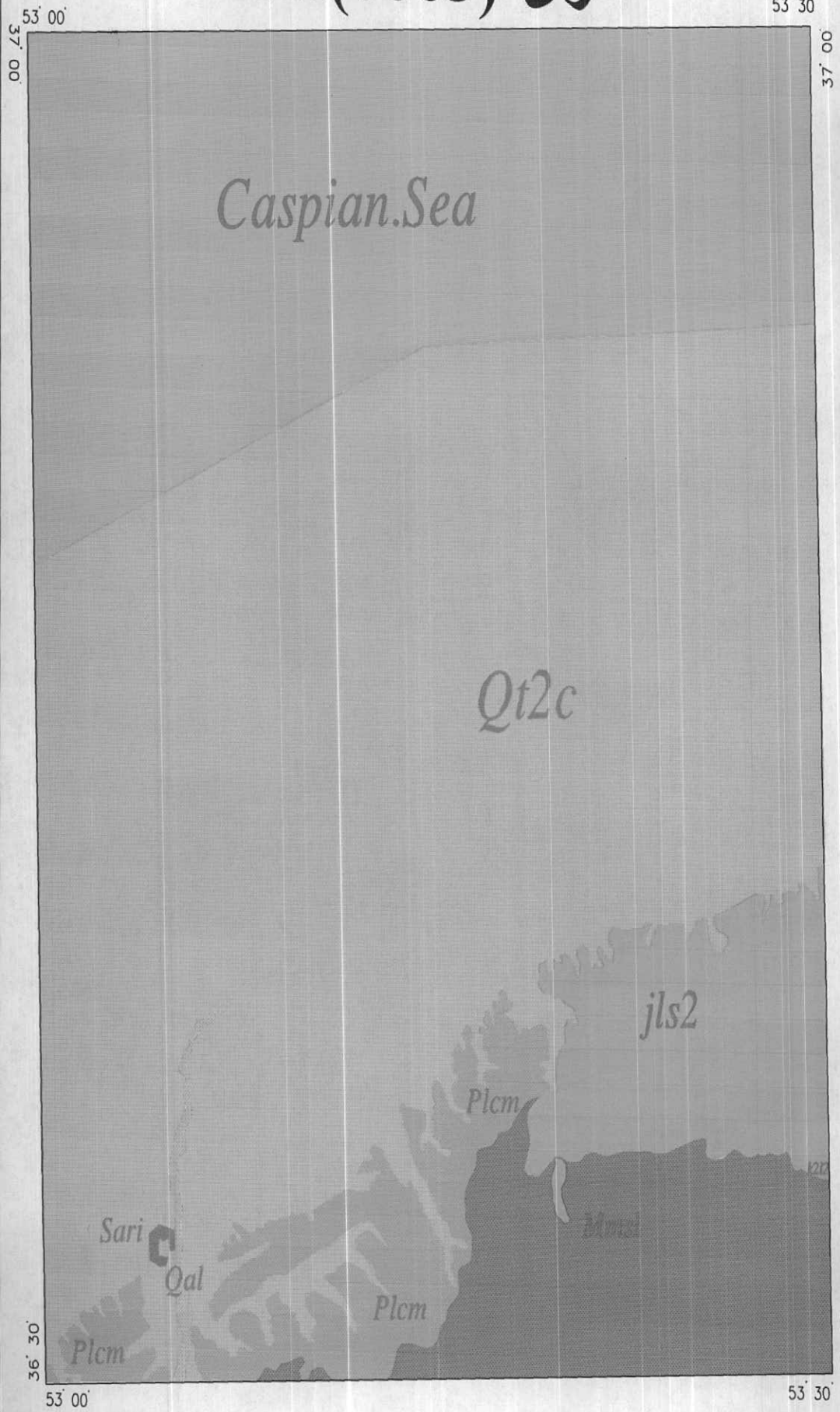
جدول ۱-۱: واحدهای زمین شناسی موجود در برگه ۱:۱۰۰،۰۰۰ ساری به همراه علامت اختصاری آنها

Qal: آبرفت‌های سست (کواترنر)
Qt <sub>2C</sub> : لس (کواترنر)
Plcm: کنگلومرا، مارن، مارن سیلتی (پلیوسن)
Mmsl: مارن، ماسه‌سنگ آهکی، سنگ آهک ماسه‌ای، کنگلومرا (میوسن)
K <sub>212</sub> : سنگ آهک (کرتاسه)
JIS <sub>2</sub> : سنگ آهک دولومیتی و سنگ آهک (ژوراسیک)

جدول ۱-۲: واحدهای سنگی موجود در برگه زمین شناسی ۱:۱۰۰،۰۰۰ ساری

واحدهای سنگی	سکانس	سن
آبرفت‌های سست لس	رسوبی (شیمیابی)	کواترنر
کنگلومرا، مارن، مارن سیلتی	رسوبی	پلیوسن  میوسن
مارن، ماسه‌سنگ آهکی، سنگ آهک ماسه‌ای، کمی کنگلومرا	(شیمیابی-تخربی)	
سنگ آهک (ضخیم لایه تا توده‌ای)	رسوبی (شیمیابی)	کرتاسه
سنگ آهک دولومیتی و سنگ آهک	رسوبی (شیمیابی)	ژوراسیک

# ساري(6663) Sari(6663)



## ۱- مقدمه

نظر به تشخیص آنومالیهای واقعی و تمیز انواعی که به نهشته های کانساری مرتبط می باشد، از سایر انواع آن، لازم است تا جزء ثابتی از رسوبات آبراهه ای (برای مثال جزء ۸۰-مش) و یا کانی سنگین (جزء ۲۰-مش) مورد آزمایش قرار گیرد. در مواردی که هاله های ثانوی اکسیدهای آهن و منگز توسعه یافته اند برداشت نمونه از چنین هاله هایی ممکن است موجب شدت بخشی به هاله های هیدرورومورفیکی شود که در این صورت باید احتیاط های لازم جهت تفسیر اطلاعات بدست آمده صورت پذیرد. علاوه بر موارد فوق، در بررسی رسوبات آبراهه ای، برداشت نمونه هایی همچون قطعات کانی سازی شده کف آبراهه، قطعات پوشیده شده از اکسیدهای آهن و منگز، قطعات حاوی سیلیس آمورف و یا کربناتهای سیلیسی شده برای آنالیز یک یا چند عنصر یا کانی خاص، می تواند مفید واقع شود. البته هر یک از محیط های نمونه برداری فوق می تواند تحت شرایط خاصی، بیشتر مفید واقع شود. عواملی که باید در این خصوص در نظر گرفته شوند شامل تیپ کانسار مورد انتظار، سنگ درونگیر، محیط تکتونیکی و دامنه سنی واحدهای زمین شناسی می باشد. از ترکیب نتایج بدست آمده از محیط های مختلف نمونه برداری در حوضه های آبریز، می توان به نتایج مناسبتی دست یافت. در پروژه حاضر نتایج حاصل از سه نوع بررسی با یکدیگر ترکیب و سپس مدلسازی شده اند و بدین دلیل، نتایج نهایی بدست آمده چه در جهت مثبت و چه در جهت منفی می تواند معتبرتر باشد. کلیه نتایج بدست آمده از هر یک از روشهای فرق، تشکیل یک سیستم اطلاعاتی با امکانات حذف و انتخاب مکرر مناطق امیدبخش را می دهد که بر اساس سازگاری و ناسازگاری خواص مشاهده شده در مدل، انجام می پذیرد و از این رو امکان بروز خطاهای ناهنجار در آن کمتر است.

بطور کلی چگالی نمونه برداری از رسوبات آبراهه ای، تابع دانسته آبراهه ها در حوضه آبریز است. برای مناطق خشک این مقدار می تواند به اندازه یک نمونه برای هر ۱۰ کیلومترمربع تغییر کند. با توجه به جنگلی بودن منطقه مورد بررسی و با در نظر گرفتن سقف بودجه جهت محدود کردن تعداد نمونه ها، محل برداشت نمونه ها عمدتاً در مناطق کوهستانی، کوهپایه ای و دامنه ای انجام گرفته است و از برداشت نمونه در قسمتهای ساحلی یا مناطقی که نمی توانستند معرف کانی زایی خاصی در حوضه بالادست خود باشند خودداری شده است. با در نظر گرفتن این موضوع از مساحتی نزدیک به ۶۴ کیلومترمربع تعداد ۱۳۱ نمونه ژئوشیمی برداشت شده است که متوسط یک نمونه برای هر ۴/۵ کیلومتر مربع را معرفی می کند. از آنجا که عناصر مختلف در محیط های ثانوی قابلیت تحرک متفاوتی از خود نشان می دهند، بزرگی هاله های ثانوی آنها (فاصله از ناحیه منشاء) می تواند بر حسب شرایط محیطی، بسیار متفاوت باشد. حتی گاهی برای یک عنصر در دو شرایط شیمی فیزیکی متفاوت، وسعت هاله متفاوت خواهد بود. برای مثال

هاله های Zn ممکن است از حدود ۱ کیلومتر تا حدود ۱۵ کیلومتر و هاله های Cu از ۱/۵ کیلومتر تا حدود ۲۵ کیلومتر تغییر کند. همچنین با توجه به نوع سنگهای منطقه و تیپ های کانی سازی ممکن است عناصری که فاقد هاله اولیه می باشند، هاله ثانوی تشکیل ندهند و یا هاله های ضعیف از خود بروز دهند. در چنین مواردی برای افزایش احتمال کشف کانسار، افزایش چگالی نمونه های کانی سنگین در اطراف سنگهای میزبان چنین کانی زایی هایی ضروری است. البته چگالی باید طوری باشد که تمامی سطح برگه که احتمال وقوع کانی زایی در آن هست را پوشش دهد در مناطق نیمه خشک، رسوبات آبرفتی معمولاً مساحتی وسیعی از سنگ بستر را می پوشانند. در مواردی که این رسوبات محلی باشند و مسافت چندانی را طی نکرده باشند، مشکل تحلیل داده ها کمتر خواهد بود. ولی در مناطقی که از نظر تکتونیکی فعال می باشند و مناطق جنگلی مانند منطقه تحت پوشش این پروژه، سیلانهای شدید که قادر به حمل چنین موادی می باشند و نیز مواد ارگانیک که می توانند بعضی عناصر فلزی را در خرد نگهدارند به وفور رخ می دهد، در نتیجه این رسوبات ممکن است از ناحیه منبع فاصله گیرند و یا دچار غنی شدگی های کاذب شوند و کار تحلیل اطلاعات را در جهت کشف منبع اولیه دشوار سازند.

## ۲- عوامل مؤثر در طراحی نمونه برداری

طراحی نمونه برداری طوری صورت گرفته است که علاوه بر پوشش کل مناطق مساعد جهت بررسی، حداقل سازگاری را با روش مرکز ثقل داشته باشد. درجه مرکز ثقل را عاملی نظری چینه شناسی، سنگ شناسی و تکتونیک کنترل می کند. معمولاً در طراحی به روش مرکز ثقل، توده های نفوذی و خروجی و نواحی مجاور آنها (کتاكت ها)، نواحی اطراف گسلها و تقاطع آنهای، و زونهای دگرسان شده بعد از ماقمابی و مناطقی که در بخش فوقانی توده های نفوذی نیمه عمیق قرار دارند (این توده ها روی نقشه ژئوفیزیک هوایی مشخص می شوند) از چگالی نمونه برداری بالاتری برخوردار می باشند. معمولاً آبراهه هایی که بوسیله گسلهای عمیق مشخص شده به روش ژئوفیزیک هوایی قطع می شوند ۵۰۰ متر پائین تر از محل تلاقی آبراهه با گسل، مورد نمونه برداری قرار می گیرند. در مواردی که آلتراسونیکهای شدید مشاهده شده است، بخصوص در اطراف سنگهای نفوذی یا خروجی موجود، درجه مرکز ثقل آبراهه ها باید بطور محلی افزایش یابد. این امر به دلیل اهمیت چنین مناطقی می باشد. به دلیل فعل بودن پدیده رفیق شدگی و اثر سرشکن شدگی در حوضه های آبریز وسیع (با بیش از ۳۰ سرشاخه) و کاهش شدید مقدار آنماليهای احتمالی در محل اتصال آبراهه ها به یکدیگر لازم است چنین حوضه های آبریزی بخصوص در مواردی که آبراهه سنگ بستر را قطع نمی کند به حوضه های کوچکتر تقسیم گردد. این امر موجب می گردد تا اختلاط رسوبات آبراهه های مرتبط با کانی سازی احتمالی با آبراهه های بدون کانی سازی موجب تضعیف بیش از حد آنماليهای ارزیابی منفی آنها نگردد. به علاوه این امر موجب می گردد تا احتمال قطع سنگ بستر در آبراهه افزایش یابد. این امر خود موجب افزایش ارزش داده ها می گردد. علاوه بر عوامل فوق، یکی دیگر از عوامل مؤثر در تصمیم گیری تقسیم یک حوضه آبریز بزرگ به حوضه های

کوچکتر، احتمال وجود آلدگیهای ناشی از فعالیتهای کشاورزی در کف یا حاشیه رودخانه هایی است که نواحی با تپیوگرافی آرام (قابل کشت) در اطراف آنها وجود داشته است. بدینهی است مصرف کودهای شیمیایی و سومون بناست، احتمال وجود آلدگی به عناصر کمیاب را در رسوبات پائین دست آنها افزایش می دهد. در چنین مواردی فقط مرکز نقل بخشاهی فوقانی آنها، که از آلدگی مصون می باشد، می تواند محاسبه گردد. محلوده مورد بررسی از نظر تپیوگرافی مرتفع نبوده و بیشترین ارتفاع در جنوب برگه نکا با ارتفاعی حدود ۸۵۰ متر می باشد. در اکثر قریب به اتفاق آبراهه های نوع آخر، آبراهه کم عمق بوده و سنگ بستر را قطع نمی کنند و از طرفی بعلت وجود ضخامت زیاد هوموس نمونه های این گروه در واقع نمی توانستند معرف کانی زایی باشند و نیز بدلیل سقف بودجه از برداشت آنها خودداری شده است. در نواحی بسیار مرتفع در مواردی به دلیل وجود گستگی در ارتفاع (آبشار) و یا پوشش گیاهی ابوه مشکلات طبیعی از این قبیل، امکان دسترسی به محل نمونه نبوده است. در چنین مواردی حتی الامکان سعی شده است به برداشت نمونه از نزدیکترین نقطه اقدام گردد. مواردی وجود داشته است که در آن کثیرهای تپیوگرافی با عوارض موجود در زمین مطابقت داشته ولی به دلیل دقت کم نقشه های تپیوگرافی، آبراهه روی آن مشخص نگردیده است. چنانچه چنین مناطقی از نظر لیتوژئی و امکان کانی سازی با اهمیت تشخیص داده شده باشند، این آبراهه ها روی نقشه بطور دستی ترسیم و در تعیین نقاط نمونه برداری موثر واقع گردیده اند تمامی نقاط برداشت نمونه ها توسط دستگاه G.P.S. ثبت و محل دقیق آنها مشخص شده است.

### ۳- عملیات نمونه برداری

نظر به وسعت فوق العاده زیاد عملیات تحت پوشش اکتشاف ژئوشیمیایی در مقیاس ۱:۱۰۰،۰۰۰ لازم است محیط های ثانوی تحت پوشش نمونه برداری قرار گیرند. اساس این مطالعات بر نحوه توزیع عناصر در هاله های ثانوی سطحی مانند رسوبات رودخانه ای، آبرفتها، شب رفتها، بادرفتها و خاکها قرار دارد. در این بخش تنها به تشریح عملیات صحرایی در این پرزوه اشاره می گردد. در خلال این عملیات شش اکیپ کارشناس در یک کمپ، واقع در بهشهر شرکت داشته اند. در این عملیات هر اکیپ عموماً دارای وسیله نقلیه مخصوص به خود، نقشه های تپیوگرافی و نقشه زمین شناسی ۱:۲۵۰،۰۰۰ ساری و دستگاه G.P.S. بوده است. مختصات محل نمونه ها قبل از سیستم UTM (WGS-84) محاسبه و بصورت جدول بندی شده در اختیار کارشناسان قرار می گیرد. هر نمونه ژئوشیمیایی متشكل از حدود ۱۰۰ گرم جزء ۸۰-مش رسوبات آبراهه ای می باشد که پس از الک کردن رسوب خشک در محل، درون کیسه های مخصوص ریخته شده و شماره گذاری می گردد. لازم به ذکر است که در صورت عدم امکان برداشت نمونه خشک حدود ۳ تا ۶ کیلوگرم نمونه خیس از رسوبات برداشت و به محل کمپ آورده شده و پس از خشک کردن در هوای آزاد و الک کردن، جزء ۸۰-مش از آنها جدا می شود. هر اکیپ نمونه برداری برای نمونه های برداشت شده، از شماره مسلسل از پیش تعیین شده برای هر نمونه استفاده میکنند.

که این شماره شامل یک کد دو حرفی معرف و یک شماره سریال میباشد. محل نمونه های برداشت شده به همراه شماره آنها در کمپ بر روی یک نقشه واحد پیاده شده است. نقاط نمونه برداری شده در برگه ۱۰۰،۰۰۱: ۱ ساری در نقشه شماره ۱، در آلبوم نقشه ها و CD همراه گزارش ، نشان داده شده است. نمونه های برداشت شده (محل و شماره آنها) در کمپ دوبار مورد بازبینی قرار خواهد گرفت. این عمل از طریق مقایسه کردن با لیست هایی که قبلاً تهیه شده انجام گردیده ؛ این کار یک مرتبه پس از حمل محدوده این برگه تعداد ۱۳۱ نمونه ژئوشیمیابی برداشت گردیده است. در شماره گذاری نمونه ها از یک محدوده این برگه کد متشکل از دو حرف و یک عدد حداکثر سه رقمی است. اولین حرف کد پنج رقمی استفاده شده که این کد متشکل از دو حرف و یک عدد حداکثر سه رقمی است. اولین حرف از سمت چپ هر کد معرف اولین حرف از برگه ۱۰۰،۰۰۱:۱ مربوطه می باشد (حروف S برای ساری) دومین حرف نیز نمایانگر حرف اول برگه ۱۰۰،۰۰۱:۵۰،۰۰۰ مربوطه می باشد . هر برگه ۱۰۰،۰۰۰:۱:۱ شامل چهار برگه ۱:۵۰،۰۰۰:۱ است که در این عملیات فقط از دو برگه ساری و نکا نمونه برداری گردیده و از حروف زیر برای مشخص کردن آنها استفاده شده است. برگه ۱۰۰،۰۰۰:۱ ساری ، ساری (SS) و نکا (SN) در این برگه ۱:۱۰۰،۰۰۰:۱ از ترکیبات دو حرفی فوق در اول کد پنج رقمی هر نمونه استفاده شده است. نمونه هایی که به حرف H ختم می شوند، معرف نمونه های کانی سنگین می باشند.

#### ۴- ژئوشیمی آبراهه ای در مناطق جنگلی باران خیز

##### ۱-۴- مقدمه

مناطق جنگلی اصطلاحی است که اولین بار توسط شیمپر (Schimper 1898) برای توصیف جنگلهای همیشه سبز که مشخصه پوشش گیاهی مناطق مرطوب است به کار رفته است. کارهای کاملتر و توصیف دقیق تر این گونه مناطق توسط ریچارد (1952) و تیمور (1984) ارائه گردیده است. با توجه به تاثیرات شرایط آب و هوایی در این محیطها در ادامه به نحوه گسترش آبراهه ها، توپوگرافی، شرایط فیزیکی و شیمیابی محیط، هوازدگی و الگوهای توزیع ژئوشیمیابی در این مناطق، نحوه تمرکز کانی های سنگین و در نهایت بررسی داده های بدست آمده از این مناطق پرداخته می شود.

#### ۲-۴- زمین شناسی ناحیه ای و خصوصیات کانی شناسی

عموماً ۴۰٪ از مناطق پوشیده شده از جنگلهای بارانی شامل سنگهای پرکامبرین می باشند و ۲۰٪ آن به بعد از پالئوزوئیک پسین تعلق دارند.

از نظر اقتصادی ذخایر مس پرفیری در محدوده کمرندهای کوهزایی متحرک مهمترین ذخایر کانی شناسی در مناطق مذکور است. کانیهای اپی ترمال و انواع کانیهای طلا از نظر اقتصادی و اهمیت در درجه بعدی است از نظر تاریخی نزدیک به نیمی از اکتشافات ژئوشیمیابی در مناطق جنگلی استوایی شامل ذخایر مس پرفیری است.

### ۳-۴- ژئومورفولوژی و گسترش آبراهه ها

تأثیر متقابل شرایط اقلیمی و لیتوژئی در مناطق مرطوب و جنگلی بهمراه روند تأثیرات تکتونیک که از عوامل مؤثر طبیعی در تشکیل عوارض و ژئومورفولوژی سطح زمین بوده و عامل اصلی تشکیل و گسترش آبراهه ها می باشد بوسیله عملیات نقشه برداری ناحیه ای مشخص شده است.

### ۴-۴- توپوگرافی

جنگلهای بارانی به صورتهای پراکنده و متنوعی دیده می شوند و توپوگرافی در این مناطق از تکتونیک منطقه پیروی می کند. در نواحی با تکتونیک غیر فعال ، توپوگرافی آرام دیده می شود و در نواحی دارای فعالیت تکتونیک وجود دیوارهای با شیب تند (بیش از ۴۰ درجه) امری معمول است. در جنگلهای بارانی تنها در قسمت های بسیار محدودی دیواره ها کمی مقعر می گردند. بدلیل عملکرد پدیده های مرتبط با شیب مانند زمین رانش در نواحی با شیب تند چنین مناطقی بسرعت تخریب می گردند و به تبع مناطق جنگلی باران خیز دارای سرزمین های هموار و دشت های سیلانی وسیع خواهد بود.

### ۵-۴- عملکرد شیب در نواحی جنگلی

چندین مشخصه و عامل مهم برای نگهداری شباهی تند در مناطق جنگلی پرارتفاع و باران خیز وجود دارد. هوازدگی شبیه ای باعث تشکیل و ضخیم شدن پوششی از خرد سنگها و آواره های بسیار ریزدانه حتی برروی شباهی تند دارای پوشش گیاهی متراکم می گردد پوشش گیاهی انبوه تماس باران با سطح زمین را کاهش می دهد و همچنین لایه ضخیم هموس باعث تسیب در نفوذ آب به زمین می گردد و مانع از حرکت سیلانی می شود. بدلیل وجود پدیده های همچون خرش و حرکت سطح زمین و فرسایش، رخمنون های سنگی بسیار کمی در این محدوده ها وجود دارد. از مشخصه های مهم این مناطق:

۱- پوشش گیاهی انبوه از گیاهان کوتاه ریشه تنها تا هنگامی شیب را حفظ می کند که فشار وارده از حد آستانه پایداری شیب تجاوز نکند. در چنین شرایطی بارش سنگین و زمین لرزه می تواند موجب حرکت توده خاک و سنگ گردد. گاهی حتی وزن گیاهان در حال رشد نیز بتهابی برای شروع زمین لغش کافی می باشد.

۲- شیب های تند خود هم تحت تأثیر پدیده شکست شیب قرار می گیرند و هم باعث ایجاد شکست می شوند. بویژه پس از یک دوره ممتداز بارش شدید شکست بسیار محتمل خواهد بود.

۳- بارندگیهای شدید بهمراه توفان و بادهای تند باعث افزایش فشار آب تخلخل و رطوبت رس ها می گردد که این فرآیندها منجر به کاهش چسبندگی بین سنگ بستر و پوشش هوازده می شود.

۴- حدود ۱۸٪ جنگلهای پر باران گرسیری در زونهای تکتونیکی واقع شده اند و زلزله عامل شناخته شده مهمی در ایجاد زمین لغش در این مناطق می باشد.

۵- ناپایداری شیبها بیشتر در مناطقی بقوع می‌پیوندد که هوازدگی تا میزان تولید موئیونیت و ایلیت پیشرفته باشد چرا که این کانیها بیش از کانولینیت تحت تأثیر رطوبت قرار می‌گیرند.

#### ۶-۴- هوازدگی و شکل خاک

عموماً آب و هوای مرطب وضعیت اپتی مم تقریبی برای هوازدگی و انتشار شیمیایی را میسر می‌سازد اگر چه در این مناطق هوازدگی مکانیکی نیز بوفور عمل می‌کند. عواملی که در نفوذ عمقی هوازدگی شیمیایی مؤثرند عبارتند از:

۱- وجود پوشش گیاهی که جلوگیری از زهکشی سریع آب می‌کند باعث می‌شود تا عمق زیادی از سنگها بمدت طولانی از آب اشباع باشند.

۲- اثر عایقی لایه‌های پوشش گیاهی که مانند یک چتر بر روی لایه‌های زیرین قرار گرفته است، همراه با حرارتی که توسط ریشه گیاهان تولید می‌شود باعث افزایش سطح آب زیرزمینی، دمای آب زیرزمینی و دمای خاک می‌گردد.

۳- درجه اسیدی بالای خاک و آبهای زیرزمینی که در اثر تجزیه لایه‌های هوموس بوجود می‌آید، سبب ایجاد واکنشایی در سنگهای بستر می‌گردد، حفره‌ها و شکستگیها در سنگهای آذرین و دگرگونی در اثر عامل فوق می‌توانند مانند سنگهای کربناته بخوبی گسترش پیدا کنند.

#### ۷-۴- تمرکزهای کانی سنگین

در بیشتر نواحی جنگلهای پرباران برای اکتشاف کانیهای مقاوم از تمرکزهای کانی سنگین استفاده شده است. این تکنیکها شامل لاوک شویی ساده در سرزمین به منظور جدا کردن مواد درشت تر و مراحل بعدی جداش مواد تغليظ شده در آزمایشگاه می‌باشد. یکی از مهم ترین فواید مطالعه کانی سنگین در مقایسه با نمونه‌های رسوب آبراهه ای در محیط‌های پرباران مقاومت زیاد آنها در برابر انواع هوازدگی‌ها می‌باشد که موجب می‌شود کانی‌های کانساری در مسافت‌های زیاد باز هم روشنگر وجود آنرا می‌باشد. در محدوده باشند که این امر ما را در کاهش چگالی نمونه برداری در محل باری می‌کند. کاربرد استفاده از کانی سنگین‌ها در ردیابی مستقیم سولفیدهایی که سریعاً در این محیط اکسیده می‌شوند کم است، چنانچه گوتیت به صورت دگر شکلی (با شکل پزرو دمومorf) ناشی از اکسیداسیون پیریت در کانی سنگین‌های ناحیه و نزولنا یافت شده است. فقط در قسمتهایی که به علت شبیه زیاد منطقه پراکنده‌گیهای مکانیکی نسبت به پراکنده‌گیهای شیمیایی افزایش یافته تمرکز سولفیدهای اولیه در کانی سنگین گزارش شده است.

#### ۸-۴- اثرات ترکیبات ارگانیک

مواد آلی در برخی از محیط‌ها اجزاء مهمی از ترکیبات رسوبات آبراهه ای را تشکیل می‌دهند. بطور کلی تأثیر این مواد آلی در اکتشافات ژئوشیمیایی نواحی جنگلی مشخص تر است، علی‌الخصوص

جنگل‌های شمالی و جنوبی زونهای معتدل و نواحی گرم و مرطوب که ریزش برگ در جنگل‌های آنها زیاد است و تولید هوموس بیشتری می‌کنند. اباحتگی مواد ارگانیک در جنگل‌های توندرای شمالی نیز به چشم می‌خورد. تأثیر مواد آلی در تسریع افزایش آمیختگی هاست و تا جایی که در مناطق نسبتاً هموار جایی که ممکن است مسیر جریان رودخانه‌ها در دره‌ها بواسطه اباحتگی ترکیبات آلی و گیاهان پوشیده شده گرفته شود ممکن است این مواد در میان رسوبات آبراهه‌ای نقش تعیین کننده‌ای را دارا باشند.

مواد ارگانیک توسط سه فرآیند در رسوبات رودخانه‌ای شرکت می‌کنند: رسوبگذاری اجزاء آواری، انتقال این مواد به صورت محلول و سپس به دام افتادن آنها و در آخر فعالیتهای بیولوژیکی در جا. اجزاء آواری از فرازندهای دره آبراهه‌ها در طول بارندگی‌های طوفانی شسته (جاروب) می‌شوند و به سیستم آبراهه‌ای منتقل می‌شوند اکثریت عظیمی از این آوارهای شامل مقادیر زیادی از بقایای گیاهان است ارگانیکهای آواری بدليل وزن مخصوص کمی که دارند بیشتر تمایل دارند بصورت معلق جایه جا شوند که ممکن است آب رودخانه‌ها شامل حدود ۱۵-۲۰٪ از این مواد ارگانیک باشد. در مرحله اول این اباحتگی‌ها بصورت ایزوله هستند ولی آرام آرام به داخل کانالهای آبراهه وارد می‌شوند، در کانالها به دام می‌افتد و اباحته می‌شوند یا همراه رسوبات جمع می‌شوند.

تجزیه ترکیبات ارگانیکهای آواری روی هم ریخته شده در میان آبرفها منجر به تولید اسیدهای هومیک و Fuluic فولویک می‌شوند که بصورت محلول حمل شده، بطرور وسیعی با جذب سطحی کابیها در رسوبات آنها را اباحته می‌کنند.

با خشک شدن مواد ارگانیکی که عناصری را در خود جذب سطحی کرده اند و مرور زمان لایه‌های ارگانیکی با مقاومت بالای در برابر حمله‌های شیمیایی حاصل می‌شود.

انواع متنوعی از خره‌های آبری در میان گیاهان بلندتر در رسوبات رشد می‌کنند و مشخص شده که اینها در چرخه‌های ژئوشیمی فعال می‌باشند. بعلاوه جلبکها، قارچها و باکتریها معمولاً در سیکل جمع آوری عناصر در رسوبات آبراهه‌ای شرکت می‌کنند.

#### ۹-۴- ارگانیکها بعنوان جذب کننده فلزات

ذرات مواد ارگانیک در سیستم آبراهه‌ای اغلب به طور کامل از بقایای گیاهان مشتق می‌شوند و تا مسافتی ممکن است انعکاس دهنده عناصر ناچیز و کم ارزش موجود در گیاهان آن ناحیه باشد. با این حال معطوف داشتن سنجهای ممکن نیست به دلیل اینکه مواد آواری ترکیبی از بخش‌های مختلف گیاهانی از گونه‌های متفاوت می‌باشند که بواسطه تخریبهای شیمیایی دچار تغییر شده اند. محصولات این تخریبهای شیمیایی در بعضی از آبهای مناطق شمالی و استوایی جاییکه اسیدهای هومیک و به خصوص اسیدهای فولویک در آب محلولند در ریاضی فلزات نقش مؤثری دارند. این اسیدها در انتشار فلزات نقش دوگانه‌ای دارند. ترکیب هومیکی یا مبادله یونی می‌تواند در بسیاری از مواد آبهایی را با غنی شدگی حجمی از فلزات نسبت به حالت پیش‌بینی شده انحلال پایدار نتیجه دهد. بنابراین به فلزات اجازه ورود

به جریان سیستم آبراهه ای را می دهند. از سوی دیگر هوموس ها تمایل به جذب سطحی کانیها در خاکها و رسوبات دارند هر جا که وارد یک گودال (Sink) مؤثر برای انحلال فلزات در رسوبات شوند. محتوای ارگانیکی رسوبات آبراهه ای حاوی تمرکز بیشتری از فلزات در مقایسه با جزء غیرارگانیکی آن است و در مناطقی که مواد ارگانیکی فراوان است، می بایست نقش آنها در تمرکز فلزات در اکتشافات ژئوشیمیابی مدنظر قرار گیرد.

مقادیر فلزات جای گرفته در بخش ارگانیکی رسوبات آبراهه ای می تواند بسیار جالب توجه باشد. تجمع پایدار مواد هومیک نظیر گیاهان فاسد شده باطلاعها، عنوان تله مؤثری در به دام اندختن مواد در طی پراکندگی های هیدرومorfیکی عمل می کند. تجمع بیش از ۱٪ مس در این محیطها غیر معمول نیست و باطلاعها خودشان ممکن است تشکیل یک کانسنس را بدنهند. اگرچه بسیاری از غنی ترین مردابها در نزدیکی کانساراتها واقعند. در برخی موارد ملاک این غنی بودن منحصرآ وجود مواد ارگانیک در استخراج و نگهداری فلزات محلول در مردابها از قسمتهایی کوچک، کم عیار یا پراکنده آنها می باشد.

چنانچه در ۱۹۷۷ توسط Boyle ثبت شده باطلاعها فلزات را در خود نگه می دارند بنابراین پراکندگی در رسوبات آبراهه ای پایین تر از باطلاعها خیلی محدود می شود. اورانیوم به طور مشابهی در باطلاعها انتهای رودخانه به مقدار زیاد از سنگهایی که مقادیر اورانیوم آنها تنها اندکی از مقدار زمینه بالاتر است در این محل تمرکز می یابد. این مردابها گروهی از کانسارات اورانیوم سطحی بوجود می آورند. مقادیر قابل ملاحظه ای از روی و مقادیر بالایی از سرب در این مردابها گزارش شده است. این درست همان چیزی است که Boyle در ۱۹۷۷ به آن اشاره کرد که بیشترین عناصر جدول تناوبی می توانند توسط مردابها جذب و نگهداری شوند.

بنابراین مواد ارگانیک در محدوده آبراهه ها دو اثر مثبت و منفی روی رسوبات آبراهه ای هنگام استفاده آنها در اهداف اکتشافی دارند. ارگانیکها عنوان یک جمع کننده فلزات ممکن است از رسوبات آبراهه ای مجزا شوند و در خودشان شرایطی را برای افزایش میانه عناصر در نمونه ها فراهم کنند. به هر حال هر جا مواد ارگانیک حضور دارند، آنها مسئول وجود بخش اعظمی از عناصر در توده های رسوبی هستند و ظهور تنوع فلزات ممکن است به سادگی معرف میزان تنوع در مقادیر مواد ارگانیکی باشد. هر جا مواد ارگانیک فراوان هستند و پراکندگی ذرات آواری مورد آزمایش قرار گرفته باشد، نمونه برداری از بخشهای بالای رودخانه از بالاترین قسمت نسبت به مرداب ها و برداشت نمونه از رسوباتی که در حد ممکن قادر مواد ارگانیک باشند انجام گیرد.

## فصل سوم

### نقش سنگ بستر

#### ۱- جدایش جوامع سنگی

یکی از اساسی ترین فرضهای لازم برای تحلیل صحیح مقدار متغیرها در جوامع ژئوشیمیایی، همگن بودن آنهاست (یک جامعه بودن) و هر گونه انحراف در صحت چنین فرضی می‌تواند کم و بیش موجب انحرافاتی در تحلیل داده‌ها گردد و نهایتاً به نتایج ناصحیحی منجر شود. یکی از متغیرهای محیط‌های سطحی که می‌تواند موجب ناهمگنی در جامعه ژئوشیمیایی گردد، نوع سنگ بستر رخنمون دار است که نقش منشاء را برای رسوبات حاصل از فرسایش آنها بازی می‌کند. از آنجا که تغییرات لیتولوری در ناحیه منشاء رسوبات آبراهه‌ای می‌تواند زیاد باشد و از طرفی مقادیر زمینه عناصر مورد بررسی در این سنگها تا چندین برابر ممکن است تغییر کند، بنابراین فاکتور تغییرات لیتولوری در ناحیه منشاء رسوبات، بنظر می‌رسد یکی از مهمترین عوامل ایجاد ناهمگنی در جامعه نمونه‌های ژئوشیمیایی باشد. بدین لحاظ در این گزارش سعی شده تا پردازش داده‌ها برای جوامع مختلف نمونه‌های ژئوشیمیایی، صورت پذیرد. از آنجا که هر رسوب آبراهه‌ای فقط از سنگهای بالادست مشتق می‌شود، تقسیم بندی این جوامع بر اساس نوع یا انواع سنگ بسترها رخنمون دار موجود در بخش بالادست محل هر نمونه صورت پذیرفته است. با توجه به نقشه زمین‌شناسی و موقعیت هر نمونه، کل جامعه نمونه‌های مورد بحث در این برگه به زیر جوامع زیر تقسیم بافته است.

در زیر رده بندی نمونه‌های ژئوشیمیایی بر حسب تعداد سنگ بالادست آورده می‌شود:

الف - زیر جامعه تک سنگی : ۷۳ نمونه (در ۳ تیپ سنگ مختلف)

ب - زیر جامعه دو سنگی : ۴۳ نمونه (شامل ۴ تیپ مجموعه دو سنگی)

ج - زیر جامعه سه سنگی : ۱۵ نمونه (شامل ۵ تیپ مجموعه سه سنگی)

در رده بندی این برگه بعضی گروهها به حد نصاب نرسیده بودند که به دلیل کم بودن تعداد آنها و دارا بودن واحد‌های کواترنر که تاثیر عمده‌ای در کانی زایی منطقه نداشته است با بقیه گروههای مشترک، ترکیب شده‌اند.

زیر جامعه تک سنگی شامل آن دسته از نمونه‌های ژئوشیمیایی است که یا در بالادست محل برداشت نمونه در حوضه آبریز مریوطه، فقط یک نوع سنگ بستر رخنمون داشته است (قبل از ترکیب واحدهای سنگی مشابه) و یا پس از ترکیب جزو گروه تک سنگی قرار گرفته‌اند. همچنین برای جوامع دو سنگی، سه سنگی.

این تقسیم بندی در پردازش داده‌ها از آن جهت اهمیت دارد که به ما اجازه می‌دهد تا در هنگام محاسبه مقدار زمینه و حد آستانه‌ای، برای هر محیط مشابه، بطور جداگانه عمل کرده و از این طریق به درجه همگنی جامعه مورد بررسی کمک کنیم. علاوه بر این، برای جوامع سنگها در جدول ۱-۳ آورده شده است.

جدول ۱-۳: علائم اختصاری و خلاصه سازی مرحله اول جنس سنگها

Qal: Cs

Qt2c : Cs

Plcm : Cs+ Ds

Mmsl : Cs+ Ds

K2I2 : Cs

Jls2 : Cs

---

CS : Chemical Sediments Rocks

DS : Detritic Sediments Rocks

شکل ۳-۱ هیستوگرام توزیع فراوانی تعداد نمونه های ژئوشیمیایی را بر اساس تعداد سنگ بالادست آنها در برگه ۱:۱۰۰،۰۰۰ ساری نشان می دهد. همچنین شکل شماره ۳-۲ هیستوگرام توزیع فراوانی نمونه های تکنسنگی را با نمایش نوع سنگ بالادست آنها برای برگه ۱:۱۰۰،۰۰۰ ساری نشان می دهد. شکل ۳-۳ نیز هیستوگرام توزیع فراوانی نمونه های وابسته به محیط های دو سنگی را (با نمایش نوع سنگ بالادست آنها) برای این برگه نشان می دهد.

## ۲- نقش سنگ بستر در ارزیابی مقدار زمینه و حد آستانه ای

### ۱-۲- نقش سنگ بستر در ایجاد آنمالیهای کاذب

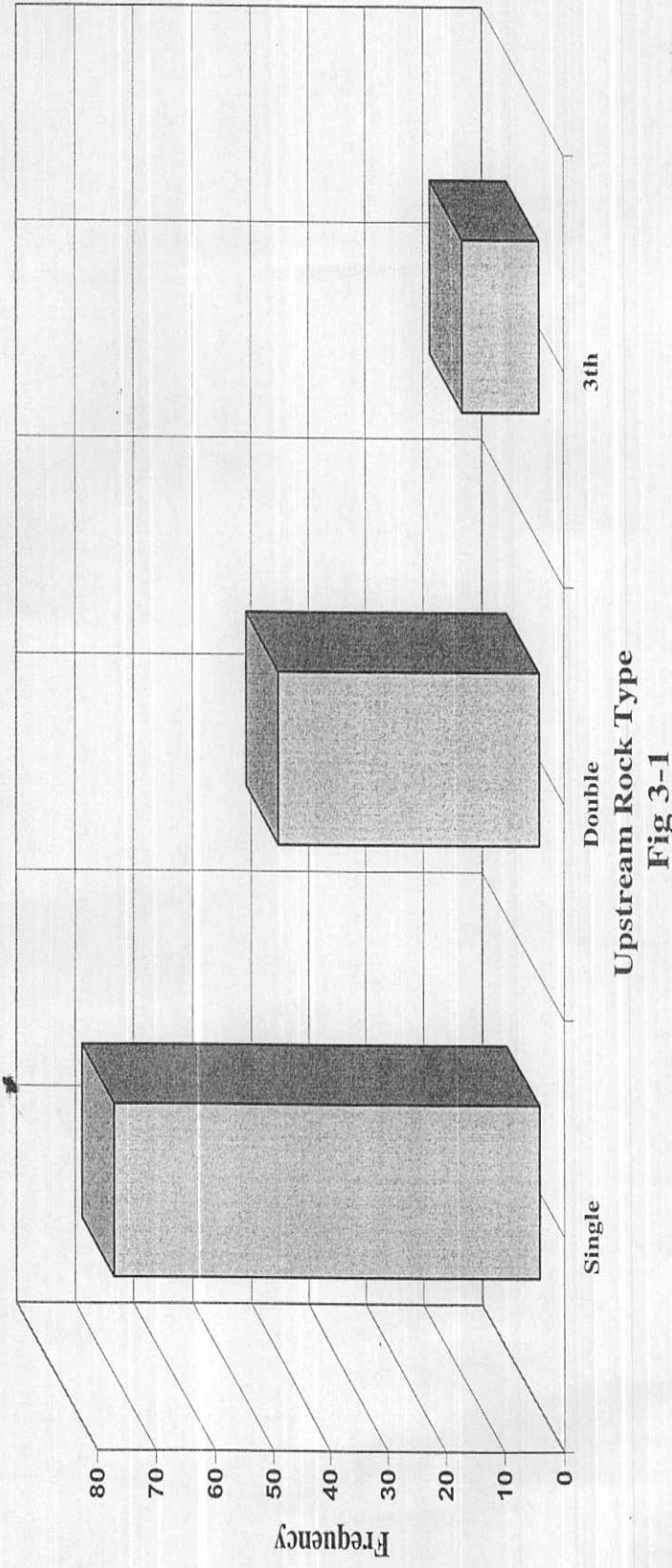
از آنجا که مقدار اندازه گیری شده هر عنصر در سنگ و یا رسوب آبراهه را می توان به دو مؤلفه سترنیک (وابسته به زایش سنگ) و آبی ژنتیک (وابسته به کانی سازی احتمالی) تقسیم کرد. لذا بعضی از آنمالیهای ژئوشیمیایی در ارتباط با کانی سازی نبوده، بلکه تغییرات لیتوژوئی آنها را ایجاد می کند. عناصری که در سنگهای مافیک دارای مؤلفه های سترنیک قوی می باشند شامل عناصر Mn, Cr, V Ni, Co بوده که معمولاً در کانه هایی با وزن مخصوص بالا ظاهر می شوند.

در مورد سنگهای رسوبی باید توجه داشت که در حوضه های آبریز دو نوع سنگ رسوبی ایجاد مشکل می کنند. یکی سنگهای آهکی و دولومیتی است که در آنها جزء کانی سنگین ممکن است از باریت، سلسیتین و آپاتیت غنی باشد در حالیکه سایر کانهای سنگین آنقدر کم یافت می شوند که ممکن است مورد استفاده ای نداشته باشند. مورد دوم شیلهای، بخصوص شیلهای سیاه رنگ غنی از مواد آلی هستند که در آنها مقدار زمینه تعداد زیادی از عناصر کانساری، بالاست و در نتیجه پتانسیل زیادی برای تولید آنمالیهای دروغین دارند.

## ۲-۲- تغییرپذیری سنگ بستر

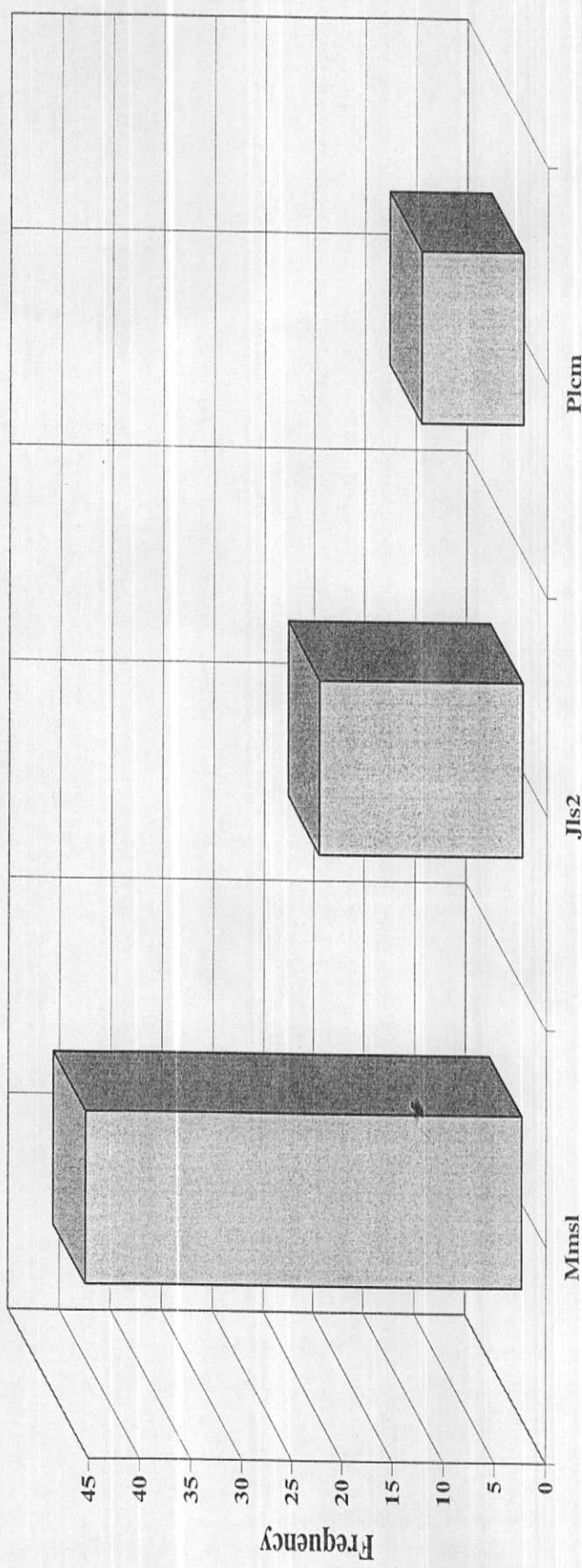
از آنجا که طبق شرح خدمات می باشد سنگ بستر رخنمنون دار، واقع در بالادست نمونه های برداشت شده از رسوبات آبراهه ای در محدوده هر یک از برگه های ۱:۱۰۰،۰۰۰ امور برسی قرار گیرد، به تدقیک نوع سنگها در مسیر آبراهه های بالادست در حوضه آبریز، مطابق آنچه که در نقشه زمین شناسی ۲۵۱،۰۰۰ ساری، چهارگوش ساری گزارش گردیده است، اقدام گردید. این امر موجب می گردد تا نمونه های متعلق به هر جامعه از سنگهای بالادست در حدامکان همگن و از نظر آماری امکان بررسی آنها تحت یک جامعه بوجود آید.

Histogram of Distribution of the Upstream Total Rock Types for the Stream Sediment Samples  
in Sari 1:100,000 Sheet.



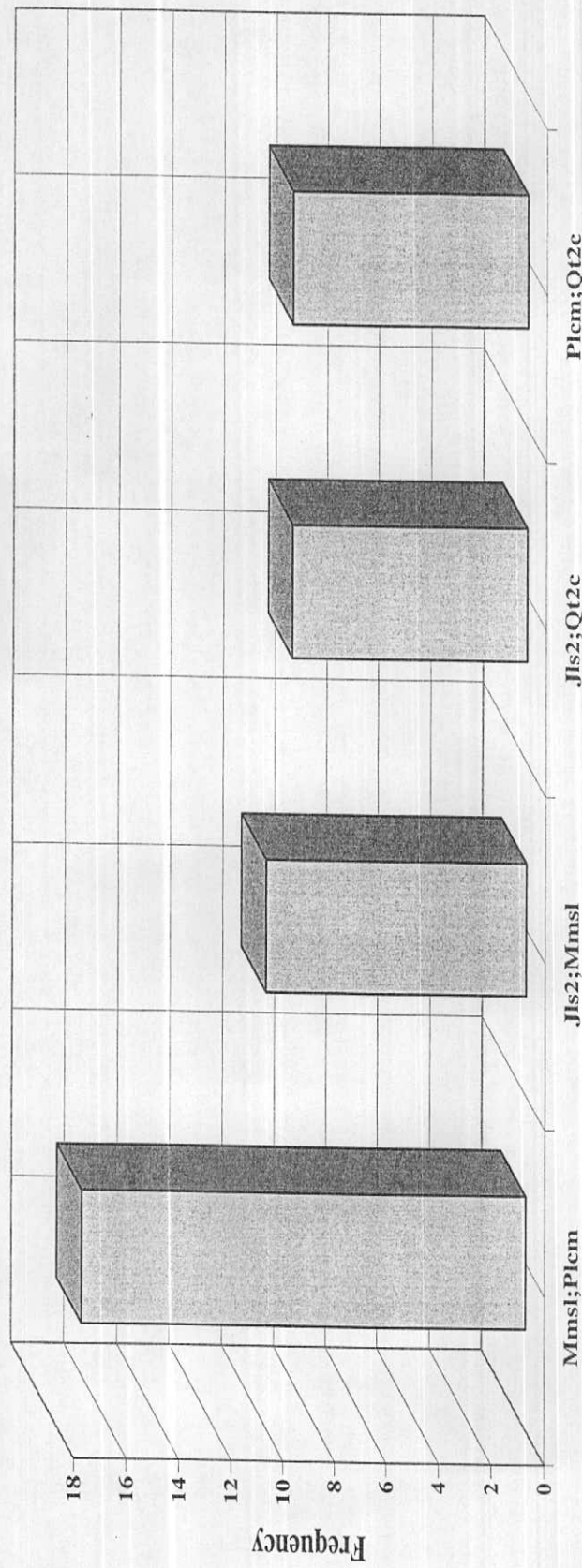
Upstream Rock Type  
Fig 3-1

Histogram of Distribution of the Upstream Single Rock Types for the Stream Sediment Samples  
in Sari 1:100,000 Sheet.



Upstream Rock type  
Fig 3-2

Histogram of Distribution of the Upstream Double Rock Types for the Stream Sediment Samples  
in Sari 1:100,000 Sheet.



Upstream Rock Type  
Fig 3-3

### ۳-۲- بررسی مقادیر کلارک سنگهای رخمنون دار در منطقه

تیپ سنگهای موجود در منطقه تحت پوشش، در دو مرحله مورد مشابه سازی قرار گرفته اند. در مرحله اول عمدتاً عامل زمان مؤثر نمی باشد. بدین معنی که اگر سنگ بالادست رخمنون دار در آبراهه از جنس آهک است، چه این آهک متعلق به پالنزوئیک و یا کرتاسه باشد، اثربخشی در طبقه بندی نداردو هر دو بعنوان یک جامعه سنگ بالادست موردن بررسی قرار می گیرند. علت آنکه گاهی نمی توان تفکیکهای زمانی روی سنگهای مشابه انجام داد آنست که در نهایت تعداد جوامع سنگی بالادست آنقدر افزایش خواهد یافت که در هر جامعه فقط چند نمونه ممکن است یافت شود. که تحلیل آماری روی آنها خطای بیشتری تولید خواهد کرد. این امر موجب کاهش شدید دقت تخمینهای بعدی خواهد شد.

خلاصه سازی مرحله دوم شامل نسبت دادن هر یک از کلاسهای فوق به رده معینی از سنگهای آذربایجان، دگرگونی و یا رسوبی است که حتی الامکان داده های جهانی آنها مورد مطالعه قرار گرفته و در دسترس می باشد. جدول ۳-۲-این خلاصه سازی را نشان می دهد.

### جدول ۳-۲: خلاصه شده سنگهای رخمنون دار در حوضه های آبریز

محدوده برگه ۱۰۰،۰۰۰:۱۰۰،۰۰۰ اسارتی

رسوبی	شیمیابی
سنگ آهک، مارن، سنگ آهک دولومیتی	
آواری	ماسه سنگ، کنگلومرا

جدول ۳-۳ مقدار فراوانی عناصر مورد بررسی را در دو تیپ سنگ رسوبی فراوان در منطقه نشان می دهد. ستون آخر این جدول برای هر عنصر معین نسبت مقدار حداقل به حداقل مقادیر کلارک را نشان می دهد. از این نقطه نظر، اکثر عناصر نسبت به سنگ بستر رخمنون دار در حوضه آبریز، حساسیت نشان می دهند. بیشترین حساسیت از آن استرنیوم با ضریب (۳۰/۵) ماکریزم مقدار آن در سنگهای رسوبی شیمیابی و حداقل آن در سنگهای رسوبی آواری است و سپس مولیبدن (۱۳)، مس (۴)، کروم (۳/۱۸) کیالت (۳) و تنگستن (۲/۶۶) می باشد. مینیمم تغییریزی را عنصر انتیموان (۰/۲) نشان می دهد. این ارقام نشان می دهند که مقدار یک عنصر در حوضه آبریز، تا آنجاییکه به لیتلوزی حوضه آبریز مربوط می شود، بشدت تغییریزی بوده و بدون نرمالایز کردن مقدار عنصر نسبت به جنس سنگهای بالادست در حوضه آبریز، امکان دستیابی به یک جامعه همگن که بتوان بر اساس آن، مقادیر زمینه، حداستانه ای و آنمالمی را در آنها مشخص نمود، غیرممکن می باشد.

**Table 3-3: Clark Values and Max/Min Ratio of the Clark Values in Similar Litology of Sari 1:100,000 Sheet.**

VARIABLE	SEDIMENTARY ROCKS		MAX/MIN
	SD	SC	
Zn	16	20	1.3
Pb	7	9	1.3
Ag	0.0n	n*10	-
Cr	35	11	3.2
Ni	2	2	1.0
Bi	-	-	-
Cu	1	4	4.0
As	1	1	1.0
Sb	0.0n	0.2	0.2
Co	0.3	0.1	3.0
Sn	0.n	0.n	-
Ba	n*10	10	-
V	20	20	1.0
Sr	20	610	30.5
Hg(ppb)	74	45	1.6
Au(ppb)	n	n	-
Fe	48000	28000	1.7
W	1.6	0.6	2.7
Mo	2.6	0.2	13.0
Mn	800	400	2.0

## فصل چهارم

### پردازش داده ها

#### ۱- مقدمه

نحوه پردازش داده ها در این پژوهه به ترتیب زیر بوده است :

واردکردن داده های حاصل از آنلایز شیمیابی در یک بانک اطلاعاتی. که شامل نتایج آنلایز برای عناصر W, Hg, Sr, V, Ba, Mn, Mo, Sn, Co, Fe, Sb, As, Cu, Bi, Ni, Cr, Ag, Pb و Au می باشد. این داده ها که همگی توسط آزمایشگاه شرکت جیانکجی در کشور جمهوری خلق چین تهیه شده اند بصورت یک فایل Excel و از طریق شبکه جهانی اینترنت در اختیار گروه قرار گرفته است. علاوه بر داده های ژئوشیمیابی، شماره نمونه، مختصات و اطلاعات لیتوژوژی مربوط به سنگهای بالادست هر نمونه نیز در همان فایل ذخیره شده است. داده های خام مربوطه بر روی لوح فشرده <sup>۱</sup> آورده شده است.

#### ۲- پردازش داده های جوامع تک سنگی

در محدوده برگه ۱:۲۵۰،۰۰۰ ساری، چهارگوش ساری از مجموع ۱۳۱ نمونه رسوب آبراهه ای تعداد ۷۳ نمونه آنرا، نمونه هایی تشکیل می دهد که در بالادست آنها فقط یک نوع سنگ بستر رخمنون دارد. در بین این تیپ سنگهای بالادست، سنگهای مارنی، ماسه سنگ آهکی و سنگ آهک ماسه ای (واحد Mmsl) از نظر فراوانی مقام اول را داشته، پس از زیاد به کم شامل سنگ آهک دولومیتی و سنگ آهک ( واحد Jls2)، کنگلومرا، مارن و مارن سیلتی ( واحد Plcm) می باشند. برای هر یک از جوامع فوق که تعداد نمونه در آنها در حد تشکیل یک جامعه مستقل بوده پارامترهای آماری محاسبه گردیده تا بتوان از طریق تقسیم مقادیر هر عنصر خاص در آن جامعه، به مقدار میانه آن، ضریب غنی شدگی عنصر مربوطه را محاسبه نمود (جدول ۱-۴) در مواردی که تعداد نمونه ها در جامعه آماری مربوطه، به حد نصاب نرسیده بودند و بدلیل داشتن واحدهای کواترنر با جامعه های مشابه ترکیب شده و در یک جامعه قرار گرفته اند.

#### ۳- پردازش داده های جوامع دو سنگی

در محدوده این برگه تعداد ۴۳ نمونه برداشت گردیده است که در بالادست آنها دو نوع سنگ بستر در حوضه آبریز رخمنون داشته است. در بین این تیپ سنگهای بالادست، فراوانی گروه سنگهای رسوبی شیمیابی - رسوبی آواری بطور برجسته ای بیشتر از گروههای دیگر است. گروههای با اهمیت برتری فراوانی نزولی آنها عبارتند از :

Jls2+Mmsl , Jls2 + Qt2c , Plcm + Qt2c , Mmsl + Plcm

بنابراین میتوان گفت که در بین این گروه‌ها، سنگهای رسوبی (شیمیایی - آواری) وسعت بیشتری داشته‌اند.

#### ۴- پردازش داده‌های جوامع سه سنگی

در محدوده این برگه تعداد ۱۳ نمونه برداشت گردیده که در بالا دست آنها سه نوع سنگ رخنمون داشته‌اند. از لحاظ فراوانی بیشترین نمونه از جامعه سه سنگی  $Jls2 + K2I2 + Mmsl$  سنگهای رسوبی (آواری - شیمیایی) برداشت شده است. تیپ دیگر جوامع سه سنگی عبارت است از:

$Jls2 + Mmsl + Plcm$

**Table 4-1 : Matrix of Median Values of Elemental Concentration as a Function of Upstream Lithology.**

USRT	Cu	Pb	Ni	Mn	Sr	Ag	Zn	Co	Cr	V	Mn	Sr	Ba	Fe10-2	As	Sb	Bi	Hg	W	Au10-9
Jls2	23.45	23.8	31.85	0.795	1.65	0.085	92	13.05	72.75	103.2	818.5	204.5	402	3.225	10.05	0.745	0.265	0.0365	1.25	0.775
Mms1	12.9	15	21.8	0.65	1	0.073	81	8	60.7	77.9	532	300.7	266	2.01	7	0.46	0.15	0.03	0.76	0.32
P1cm	21.55	23.3	30.2	0.64	2.25	0.0835	86.5	13.5	79.9	114.65	966	188.75	428	3.635	10.7	0.75	0.29	0.028	1.25	0.445
Jls2;Mms1	13.55	15.95	19.2	0.605	1	0.065	72.5	7.9	66.25	77.1	598	287.4	305.5	2.155	7.65	0.575	0.2	0.029	1.1	0.3
Jls2;Q12c	24.9	23.5	31.5	0.8	1.8	0.084	86	13.2	76.2	121.8	1043	171.3	438	3.71	11.5	0.81	0.3	0.036	1.6	1.33
Mms1;P1cm	12.7	15.2	19.4	0.62	1.3	0.072	78	8.6	64.5	77.6	624	248.4	277	2.11	8.1	0.5	0.2	0.025	0.89	0.3
P1cm;Q12c	24.5	23	31.5	0.63	2.2	0.083	94	12.9	81.1	126.4	1018	186.2	451	3.64	11	0.79	0.3	0.029	1.3	0.77
Jls2;k212;Mms1	11.2	12.4	19.3	0.61	1.4	0.07	80	10.2	56.9	69.3	426	440	220	2.16	6.1	0.46	0.13	0.034	0.71	0.3
Jls2;Mms1;P1cm;Q12c	21.8	23.65	34.2	0.655	1.4	0.0875	84.5	12.15	74.15	115.3	852	234.3	406.5	3.36	10.3	0.74	0.28	0.029	1.4	0.49

## فصل پنجم

### تخمین مقدار زمینه

#### ۱- تحلیل ناهمگنی ها

همانطور که قبلاً گفته شد، یکی از عوامل مهم در ایجاد ناهمگنی آماری در جوامع ژئوشیمیابی نمونه های برداشت شده از رسوبات آبراهه ای، تنوع و تغییرات لیتولوژی در سنگهای بالادست است. برای از بین بردن این عوامل ناهمگن ساز و دستیابی به جوامع همگنی که بتوان از طریق آنها به مقدار زمینه واقعی تری دست یافت، اقدام به جداسازی نمونه ها بر اساس سنگ بستر رخمنون دار در محدوده حوضه آبریز بالادست هر نمونه شده است. سپس نتایج حاصل از هر جامعه با یکدیگر مقایسه شده و تشابهات و یا تضادهای ژئوشیمیابی مربوط به هر یک بدل است آمده است. داده های جدول ۱-۴ نشان می دهد که سنگ های بالادست شامل ۳ گروه تک سنگی، ۲ گروه دو سنگی، ۲ گروه سه سنگی است که در هر یک به تعداد کافی نمونه وجود داشته است و از این رو امکان محاسبه پارامترهای آماری تا حدی وجود داشته است.

داده های این جداول معرف آن است که در مورد بعضی از عناصر نقش تغییر پذیری سنگ بستر بالادست قوی است.

#### ۲- سیمای ژئوشیمیابی جوامع مختلف بر اساس سنگ بستر بالادست

برای تعیین سیمای ژئوشیمیابی جوامع مختلف نمونه های برداشت شده از حوضه های آبریز، بر اساس سنگ بالادست آنها بصورت زیر عمل گردیده است :

الف - مقدار میانه هر عنصر در هر کلاس از سنگهای بالادست (تک سنگی) محاسبه شده است.

ب - مقایسه مکان قرارگیری هر عنصر در یک سری با سنگ بالادست معین نسبت به مکان قرارگیری همان عنصر در سری کلی .

جدول ۱-۵ نتایج عملیات فوق را برای کل جامعه نمونه های برداشت شده از برگه ۱:۱۰۰،۰۰۰ که بعنوان ملاک مقایسه برای جوامع دیگر بکار برده شده است همراه با مقادیر مشابه برای سه تیپ سنگ بستر بالادست نشان می دهد.

این جوامع عبارتند از :  $JIS_2$  (سنگ آهک دولومیتی و سنگ آهک)،  $Mmsl$  (مارن، ماسه سنگی آهکی، سنگ آهک ماسه ای و کنگلومرا) و  $Plcm$  (کنگلومرا ، مارن و مارن سیلتی) چنانچه از داده های جدول برمی آید، میانه عناصری مانند  $Mn, Cr, Ni, Co, As, Fe, Sn, W, Bi, Ag, Hg, Pb, Cu$  نزدیک به میانه مقادیر مربوط به جامعه کلی است. عناصر  $Sr, Zn$ , غنی شدگی نسبی و عناصر  $Ba, V$  تهی شدگی نسبی (در واحد سنگی  $Mmsl$ ) نشان میدهند. عنصر  $Au$  غنی شدگی و عنصر  $Sb$  تهی شدگی نسبی (در واحد سنگی  $Jls_2$ ) و عناصر  $Mo$  و  $Sb$  در واحد سنگی  $Plcm$  بترتیب غنی شدگی و تهی شدگی نسبی نشان می دهند.

Table 5-1 : Geochemical Features :Ranking of Different Elements in Different Environments Based on Concentration of each Elements in Stream Sediments.

Total Standard	Mn	Ba	Sr	V	Zn	Cr	Ni	Pb	Cu	Co	As	Fe10-2	Sn	W	Mo	Sb	Au10-9	Bi	Ag	Hg
	695	315	269	94.3	84	69.1	25.4	18.2	17.4	10.4	8.7	2.64	1.4	1	0.67	0.61	0.32	0.22	0.07	0.03
Jls2	Mn	Ba	Sr	V	Zn	Cr	Ni	Pb	Cu	Co	As	Fe10-2	Sn	W	Mo	Au10-9	Sb	Bi	Ag	Hg
	819	402	205	103	92	72.8	31.9	23.8	23.5	13.1	10.1	3.23	1.65	1.25	0.795	0.775	0.745	0.27	0.09	0.04
Mmsl	Mn	Sr	Ba	Zn	V	Cr	Ni	Pb	Cu	Co	As	Fe10-2	Sn	W	Mo	Sb	Au10-9	Bi	Ag	Hg
	532	301	266	81	77.9	60.7	21.8	15	12.9	8	7	2.01	1	0.76	0.65	0.46	0.32	0.15	0.07	0.03
plcm	Mn	Ba	Sr	V	Zn	Cr	Ni	Pb	Cu	Co	As	Fe10-2	Sn	W	Sb	Mo	Au10-9	Bi	Ag	Hg
	941	423	191	114	89	79.5	30.2	23.1	21.5	13.3	10.4	3.60	2.55	1.23	0.745	0.665	0.4275	0.29	0.09	0.03

### -۳- تخمین مقدار زمینه

پس از همگن سازی جوامع مختلف، نمونه های ژئوشیمیایی برداشت شده از رسوبات آبراهه ای بر اساس نوع سنگ یا سنگهای بالادست اقدام به محاسبه مقدار زمینه گردیده است. در این خصوص چون مقدار میانگین، خود تابع مقادیر حدی در تابع چگالی احتمال است، و از طرفی داده های ژئوشیمیایی اکثراً چولگی مثبت داشته و مقادیر حدبالایی تابع چگالی احتمال آنها روی مقدار میانگین اثر می گذارد، از مقدار میانه که مستقل از تغییرات فوق است، استفاده شده است. در این خصوص مقدار میانه بعنوان زمینه انتخاب گردیده است و سپس مقدار هر عنصر در هر نمونه از یک جامعه، به مقادیر میانه آن تقسیم شده تا نسبت غنی شدگی یا نهی شدگی آن عنصر در هر نمونه محاسبه گردد. بدیهی است عناصری که مقدار ۲-۵ پارامترهای آماری مربوط به لگاریتم توزیع شاخص غنی شدگی نسبی هر یک از متغیرهای جدول (Ln) (Med) =  $\ln(1) = 0$  بیست گانه را نشان می دهد. در این جدول بدیهی است مقدار میانه بصورت عدد صفر ظاهر خواهد شد. چولگی و کشیدگی نیز نشان داده شده است. بر اساس این داده هاست که نقشه توزیع هر عنصر رسم گردیده است. لازم به یادآوری است عناصری که در غلظت های کمتر از چند ده ppm ظاهر می شوند، می توانند بعضاً ضریب غنی شدگی بسیار بالایی از خود نشان دهند که تا حدودی غنی شدگی غیرواقعی است. علت این امر می تواند به افزایش خطاهای مطلق اندازه گیری در غلظت های کم برگردد. بنابراین در انتخاب مناطق امیدبخش و تحلیل آنها باید از هر دو معیار مقدار مطلق و غنی شدگی نسبی بهره برد.

**BATCH STATISTIC**  
 ( for Natural Log of data)

Table 5-2: Batch Statistic of Enrichment Index of Variables in Sari 1:100,000 Sheet.

	Cu	Pb	Ni	Mo	Sn
N used	131	131	131	131	131
N missing	0	0	0	0	0
N .LE. 0	0	0	0	0	0
Mean	-0.065	-0.036	-0.034	-0.035	0.048
Variance	0.176	0.081	0.148	0.078	0.088
Std. Dev.	0.42	0.284	0.384	0.278	0.297
Coef. Var.	649.658	796.475	1132.878	801.203	616.895
Skewness	-0.976	-0.932	-0.451	-0.36	1.484
Kurtosis	4.695	5.212	4.148	5.475	11.125
Minimum	-1.629	-1.21	-1.253	-1.008	-0.526
25th %tile	-0.302	-0.15	-0.275	-0.179	-0.095
Median	0	0	0	0	0
75th %tile	0.154	0.121	0.223	0.133	0.224
Maximum	0.709	0.717	1.232	1.041	1.808

	Ag	Zn	Co	Cr	V
N used	131	131	131	131	131
N missing	0	0	0	0	0
N .LE. 0	0	0	0	0	0
Mean	-0.038	-0.006	-0.039	-0.011	-0.006
Variance	0.068	0.034	0.091	0.019	0.065
Std. Dev.	0.261	0.184	0.302	0.138	0.254
Coef. Var.	685.097	2883.838	776.361	1208.818	4013.577
Skewness	-1.135	-0.216	-0.556	-0.302	-0.686
Kurtosis	6.583	3.574	3.535	3.414	5.314
Minimum	-1.075	-0.514	-0.94	-0.412	-0.995
25th %tile	-0.134	-0.118	-0.216	-0.081	-0.142
Median	0	0	0	0	0
75th %tile	0.113	0.107	0.129	0.077	0.135
Maximum	0.801	0.508	0.642	0.387	0.613

**BATCH STATISTIC**  
**(for Natural Log of data)**

Table 5-2: Batch Statistic of Enrichment Index of Variables in Sari 1:100,000 Sheet.

	Mn	Sr	Ba	Fe10-2	As
N used	131	131	131	131	131
N missing	0	0	0	0	0
N .LE. 0	0	0	0	0	0
Mean	0.007	0.013	-0.012	0.005	0.003
Variance	0.063	0.051	0.04	0.071	0.067
Std. Dev.	0.25	0.227	0.201	0.266	0.259
Coef. Var.	3842.231	1732.639	1641.438	5811.037	7896.225
Skewness	0.068	0.11	-0.292	-0.03	0.08
Kurtosis	3.577	4.272	4.773	3.625	3.608
Minimum	-0.643	-0.769	-0.654	-0.868	-0.764
25th %tile	-0.152	-0.105	-0.099	-0.144	-0.138
Median	0	0	0	0	0
75th %tile	0.166	0.123	0.072	0.147	0.13
Maximum	0.828	0.643	0.532	0.703	0.685

	Sb	Bi	Hg	W	Au
N used	131	131	131	131	131
N missing	0	0	0	0	0
N .LE. 0	0	0	0	0	0
Mean	0.012	-0.025	-0.01	-0.014	0.072
Variance	0.068	0.129	0.035	0.108	0.335
Std. Dev.	0.262	0.36	0.188	0.328	0.579
Coef. Var.	2192.834	1435.426	1899.35	2297.029	805.459
Skewness	-0.012	-0.278	-0.36	-0.42	1.122
Kurtosis	3.8	3.974	3.336	3.696	6.329
Minimum	-0.784	-1.099	-0.56	-1.03	-1.086
25th %tile	-0.14	-0.223	-0.109	-0.223	-0.136
Median	0	0	0	0	0
75th %tile	0.133	0.182	0.105	0.185	0.192
Maximum	0.715	0.896	0.446	0.805	2.529

## فصل ششم

### تخمین شبکه ای شاخص های غنی شدگی

#### ۱- تخمین شبکه ای

با گذشت زمان و افزایش مخارج پروژه های اکتشافی، سعی بر آن است که با بکارگیری تکنیکهای آماری پیچیده تر، دامنه تخمین را از نظر بعد مسافت افزایش داد تا این رهگذر بتوان تعداد نمونه های لازم را، برای تخمین در سطح اعتماد معین کاهش داد. این کاهش تعداد نمونه ها (البته بدون پایین آوردن سطح اعتماد تخمین) خود موجب کاهش مخارج اکتشافی می گردد زیرا مخارج سایر فازهای اکتشافی (از قبیل آماده سازی، آنالیز و پردازش) ارتباط مستقیمی با تعداد نمونه ها دارد. معمولاً برگه های ۱:۱۰۰،۰۰۰ از زمین شناسی در کشور ما مساحتی حدود ۲۵۰۰ کیلومتر را شامل می شود که اگر چگالی یک نمونه برای هر ۳ کیلومترمربع را در نظر بگیریم، برای هر برگه حدود ۸۰۰ نمونه باید پرداشت شود. در چنین شرایطی اگر نقشه ۱:۱۰۰،۰۰۰ زمین شناسی را به ۲۵۰۰ سلول با مساحت یک کیلومترمربع تقسیم نمائیم کل ۸۰۰ نمونه پرداشت شده احتمالاً در حدود ۸۰۰ سلول توزیع خواهد شد و از بقیه ۱۷۰۰ سلول باقیمانده، نمونه ای برداشت نمی شود بدین ترتیب هیچ تخمین مستقیمی نمی تواند برای حدود ۷۰٪ از مساحت نقشه صورت پذیرد این تحلیل ساده نشان می دهد که تا چه اندازه به تکنیکهای آماری که بتواند دامنه تخمین مقدار متغیرها را به بخش اعظمی از هر نقشه افزایش دهد نیاز می باشد. این تکنیک که در این گزارش تحت عنوان تخمین شبکه ای از آن نام برده می شود به ما اجازه می دهد تا با داشتن اطلاعات مستقیم از حدود ۸۰۰ سلول شبکه، بتوانیم تخمین های لازم را فراوانی عناصر و شاخص غنی شدگی مربوط به آنها را به حدود ۱۷۰۰ سلول دیگر موجود در محدوده برگه افزایش دهیم. در چنین حالتی افزایش تعداد سلولهایی که در مورد آنها داده ای بدست می آید، موجب می گردد تا ارتباط منطقی بین فراوانی یک عنصر در سلولها ظاهر گشته و امکان ارزیابی منطقه بندهی های موجود در نقشه توزیع یک عنصر فراهم گردد. برای مثال هر گاه یک مقدار آنومالی در بین تعداد زیادی از مقادیر زمینه محصور گردد، ارزش و اعتبار آن مقدار آنومالی زیر سوال خواهد بود. ولی اگر یک مقدار آنومالی بوسیله چندین سلول با مقدار حد آستانه ای محصور گردد و این سلولها خود توسط سلولهای دارای مقدار زمینه نیز محاط گردند در اینصورت این مدل تغییرات تدریجی از اطراف به مرکز آنومالی، موجب افزایش اعتبار مقدار آنومالی می گردد. چنین ارزیابیهای در صورتی میسر است که از تکنیک تخمین شبکه ای استفاده گردد. از دیگر امتیازات این روش تخمین آنست که یک شبکه نامنظم نمونه برداری را به یک شبکه منظم تخمین تبدیل می کند. مهمترین ویژگی بررسی رسوبات رودخانه ای به منظور ارزیابی پتانسیل کانی سازی، می تواند ناشی از این واقعیت باشد که مقدار هر متغیر در رسوب رودخانه ای دارای خاصیت برداری است. جهت این بردار بطریقی است که همواره مقادیر بالادست خود را معرفی می کند. بعارت دیگر ارقام حاصل از بررسی رسوبات رودخانه ای برخلاف سایر روشهای ژئوشیمیابی خاصیت جهت یافتنی دارند و همواره انعکاس دهنده تغییرات، در ناحیه بالادست خود می باشند. الگوریتم کنونی بنحوی طراحی شده که این اثر

کتابخانه سازمانی زمین‌شناسی

اکتشافات همکاری

مهم در تخمین را بحساب آورد. این روش اولین بار توسط گروهی از ژئوژیمیست‌های اکتشافی امپریال کالج لندن پکار گرفته شد و سپس با تائید الگوریتم مورد نظر این روش در هندبوک ژئوژیمی اکتشافی (جلد دوم) بعنوان روشی برای نقشه برداری ژئوژیمیابی پیشنهاد گردیده است.

تکیک تخمین شبکه‌ای شامل چند بخش بشرح زیر است:

الف: انتخاب یک شکل هندسی که بتواند حتی الامکان ناجیه حوضه آبریز بالادست هر نمونه را مشخص کند. این شکل هندسی می‌تواند به صور مختلفی انتخاب گردد.

انتخاب چندضلعی، تا آنجا که به انطباق فیزیکی بیشتر با حوضه آبریز مربوط می‌شود از دیگر اشکال هندسی مناسب‌تر است ولی محاسبات و عملیات مربوط به آن بسیار پیچیده‌تر و پر حجم است.

برای این منظور نیاز است تا حوضه آبریز هر نمونه بوسیله یک چند ضلعی مشخص شود که شروع چندضلعی در محل برداشت نمونه باشد. نکته مهمی که باید در نظر گرفته شود، آنست که در تعیین این چندضلعی‌ها باید دقیق‌تر زیاد در نقشه‌های توپوگرافی نمود تا خاصیت اربیبی<sup>۱</sup> در تخمین‌ها وارد نشود، سپس مختصات رئوس چندضلعی‌های رسم شده همگی در یک فایل جمع شده و توسط محاسبات مربوطه، ضرایب هر شبکه از نقشه بدست آورده می‌شود. در این پروژه برای تمامی نمونه‌های برداشت شده از آبراهه‌ها، چندضلعی‌های حوضه آبریز رسم گردیده که فایل مربوط به مختصات رئوس در لوح فشرده همراه گزارش آورده شده است.

## ۲- شاخص غنی شدگی (Enrichment Index) با حذف اثر سنگ بالادست

با تعریف شاخص غنی شدگی یک عصر خاص در یک نمونه معین عبارتست از نسبت غلظت آن عنصر در آن نمونه به غلظت میانگین یا میانه همان عنصر در جامعه‌ای که نمونه مربوطه متعلق به آن است. با این تعریف عوامل موثر در شاخص غنی شدگی یک عصر خاص، در یک نمونه معین، نه فقط تابع مقدار آن عنصر در آن نمونه می‌باشد بلکه به فراوانی همان عنصر در جامعه وابسته به آن، نیز بستگی دارد. بنابراین اگر فراوانی نقطه‌ای و منطقه‌ای یک عنصر، هر دو با شبیه ثابتی افزایش و یا کاهش یابند آنچه که ثابت باقی خواهد ماند شاخص غنی شدگی است، زیرا صورت و مخرج این کسر به یک نسبت افزایش و یا کاهش می‌یابند. بدین ترتیب شاخص غنی شدگی تا حدود زیادی مستقل از فاکتور لیتوژوژی و یا مولفه سترنیک فراوانی یک عنصر در ناحیه منشاء رسوبات آبراهه‌ای می‌باشد. برای مثال دو رسوب آبراهه‌ای A و B را در نظر می‌گیریم که اولی حاصل فرسایش بک واحد بازالتی و دومی حاصل فرسایش یک واحد دولومیتی است بدینه است مقدار Ni در واحد بازالتی و رسوب حاصل از فرسایش آن به مرتب بیشتر از مقدار همین عنصر در واحد دولومیتی و یا در رسوب حاصل از فرسایش آن است. چنانچه رسوب حاصل از فرسایش دولومیت با رسوب حاصل از فرسایش بازالت از نظر فراوانی نیکل مورد مقایسه قرار گیرد، ملاحظه می‌گردد که تا چه اندازه نوع اخیر از نیکل غنی‌تر است. حال آنکه اگر

مقدار نیکل یک نمونه رسوب حاصل از فرسایش بازالت به میانگین آن نرمالایز شود و همین عمل در مورد رسوب حاصل از فرسایشات دولومیت صورت گیرد و آنگاه مقادیر نرمالایز شده با هم مقایسه شوند، ملاحظه خواهد شد که در صورت نبود مولفه اپی ژنتیک، اختلاف دو جامعه آماری ممکن است بی اهمیت باشد. در حالتی که رسوب حاصل از فرسایش بازالت به دلیل وجود کانی سازی (مولفه اپی ژنتیک) دارای مقادیر بسیار بالایی از نیکل باشد، در اینصورت ممکن است مقادیر نرمالایز شده اختلاف فاحشی را نشان دهند. این اختلاف از نوع معنی داری تلقی شده و برخلاف اختلاف بین دو مقدار نرمالایز نشده، باید در جستجوی عامل ایجاد کننده آن بود.

نظر به اینکه شاخص غنی شدگی می تواند داده های ژئوشیمیابی را از تغییرات لیتلولژی (مولفه سترنیک) در ناحیه منشاء مستقل سازد، در این پژوهه مبنای محاسبات قرار گرفته است. برای محاسبه شاخص غنی شدگی متغیرهای تک عنصری در هر نمونه از رابطه زیر استفاده می شود:

$$EI = \frac{C_j}{(C_{med})_j}$$

در این رابطه EI شاخص غنی شدگی  $C_j$  مقدار فراوانی عنصر  $j$  در یک نمونه معین و  $(C_{med})$  مقدار زمینه همان عنصر در جامعه مربوط به آن نمونه می باشد. این مقدار زمینه می تواند معادل مقدار میانه و یا معادل مقدار میانگین انتخاب گردد. در پژوهه حاضر بعلت مستقل بودن مقدار میانه از تغییرات حدی، این پارامتر به میانگین ترجیح داده شده است.

### ۳- محاسبه احتمال رخداد هر یک از شاخص های غنی شدگی

از آنجا که نقشه برداری ژئوشیمیابی از رسوبات آبراهه ای به دو منظور مختلف، شامل:

الف: ارزیابی پتانسیل معدنی واحدهای نکتونوماگمایی و نهایتاً تهیه نقشه متالولژنی این واحدها از طریق رسم نقشه توزیع عناصر.

ب: ارزیابی آنومالیهای ژئوشیمیابی امیدبخش جهت انجام عملیات اکتشافی تفضیلی تصریوت می گیرد، برای آنکه در پژوهه حاضر هر دو منظور رعایت شده باشد، علاوه بر رسم نقشه توزیع ژئوشیمیابی عناصر در مقایسه ناحیه ای که در آن منظور اول ملحوظ می شود، اقدام به محاسبه احتمال رخداد هر یک از مقادیر آنومال نیز گردیده است تا بتوان از این طریق به ملاکی جهت دسترسی به منظور دوم دست یافت. پس از آنکه مقدار هر عنصر در هر یک از جوامع به میانه همان عنصر در همان جامعه تقسیم شد (نرمالایز کردن اثر لیتلولژیهای مختلف)، حال می توان با نتایج حاصل از نمونه های متعلق به جوامع مختلف، تشکیل جامعه کلی داد و سپس روی این جامعه تحلیل آماری کرد. از آنجا که نتایج حاصل از فاز قبل، شاخص غنی شدگی هر عنصر را نشان می دهد، جامعه کلی بدست آمده تحت عنوان جامعه شاخص غنی شدگی نامیده می شود که در صورت دقت کافی در نقشه زمین شناسی می تواند تا حدود زیادی مستقل از فاکتور لیتلولژی در ناحیه منشاء رسوبات آبراهه ای باشد.

علاوه بر محاسبه پارامترهای آماری هر یک از جوامع (شاخص غنی شدگی کلی هر عنصر)، احتمال رخداد هر مقدار از یک عنصر در هر نمونه نیز محاسبه گردیده است. در این محاسبات مقادیر خارج از رنج (Outlier) مقادیر EI از محاسبات حذف شده و پس جامعه باقیمانده نرمال گردیده است. تا فرض های آماری لازم در محاسبه مقادیر PN برقرار باشد. در جدول (۱-۶) مقادیر خارج از رنج محاسبه شده بر اساس مقادیر EI ارائه گردیده است. مقادیر فوق الذکر ابتدا از محاسبات کار گذاشته شده اند و پس از انجام محاسبات آماری به مجموعه نهایی اضافه شده اند. احتمالات حاصل بعنوان ملاکی جهت ارزیابی مقادیر ظاهر آنومال مورد استفاده قرار گرفته است.

جدول (۲-۶) نتیجه عملیات فوق را نشان می دهد. در این جدول نمونه هایی آورده شده است که مجموع مقادیر (1/PN) محاسبه شده برای آن بالای یک می باشد. چنانچه ملاحظه می گردد شدت آنومالیها با معیاری احتمال پذیر محاسبه گردیده است. این شدت برابر است با عکس حاصلضرب احتمال رخداد یک مقدار معین از یک عنصر در جامعه نمونه های مورد بررسی در برگه ۱۰۰،۰۰۰:۱ ساری.

برای عنصر طلا ۱۰ محدوده آنومال، مولیبدن ۱۱ محدوده، کبالت، وانادیم، باریم، آهن، ارسنیک و انتیموان ۸ محدوده آنومال، سرب، مس و روی ۷ محدوده آنومال، نیکل، منگنز، بیسموت و تنگستن ۶ محدوده آنومال، نقره ۴ محدوده آنومال، قلع، کروم و جیوه ۳ محدوده آنومال و استرنسیوم با ۲ محدوده بعنوان آنومال معرفی گردیده است که البته بعضی از محدوده های فوق تنها منشاء لیتلولژیکی دارند و این موضوع در هنگام انجام عملیات کنترل آنومالیهای ژئوشیمیابی بررسی شده است.

#### ۴- محاسبه ضریب غنی شدگی بر اساس آنالیز نمونه ها

محاسبه حدآستانه ای و جداسازی مقدار زمینه از مسائلی است که راههای گوناگونی توسط محققان برای آن ارائه شده است. از ساده ترین روشهای تک متغیره برای این امر استفاده از لگاریتم طبیعی اعداد است. یکی از روشهای بسیار معمول در این زمینه، محاسبه ضرایب غنی شدگی بوسیله حذف اثر سنگ بالادست می باشد که در مورد آن پیشتر صحبت به میان رفت. در واقع اگر محل برداشت نمونه به زون میزالیزه نزدیک باشد مسئله محاسبه غنی شدگی بخودی خود منتفی است. اما در حالت کلی ترکیبات سنگهای میزان بهمراه اثرات کانی زایی در مسیر رودخانه رسوب می کند و رسوباتی که مورد آنالیز قرار می گیرد منعکس کننده ترکیبات سنگهای منطقه بهمراه اثرات کانی زایی می باشد. از آنجا که برای هر نمونه بیست عنصر مورد آنالیز قرار می گیرد لذا روشهای تک متغیره از اعتبار کافی در مقابل روشهای چند متغیره برای این سری اعداد برخوردار نمی باشند. از لحاظ علمی از آنجا که یک تعدادی از عناصر در ارتباط با ترکیبات سنگهای منطقه می باشند لذا با تغییر واحدهای سنگی، مقدار تمرکز این عناصر تغییر می کند. با حذف اثرات این عناصر بصورت عام در نمونه ها، عملاً می توان تأثیرات عاملهای لیتلولژیکی را در نمونه ها حذف کرد و میزان تأثیر کانی زایی را در نمونه ها محاسبه کرد. با در نظر گرفتن روند تغییرات این عناصر در سنگهای مختلف از جمله روشهای مؤثر چند متغیره جهت حذف اثر این عناصر، روشهای تقلیل

Table 6-1: Outlier Samples in Sari 1:100,000 Sheet.

**Table 6-2: Promising Sampling Points Based on the Sum of Probabilistic Intensity of Anomalies.**

Sample No.	Cu	Pb	Ni	Mo	Sn	Ag	Zn	Co	Cr	V	Mn	Sr	Ba	Fe10-2	As	Sb	Bi	Hg	W	Au10-9	Sum(1/PN)
SN-94	76.34	76.34	76.34	0.04	0.02	55.01	0.19	76.34	63.09	0.01	0.92	76.34	76.34	26.67	60.96	0.44	0.37	0.07	0.37	0.07	742.15
SN-88	76.34	76.34	1.67	0.01	0.10	0.06	55.01	0.25	76.34	3.20	0.01	1.55	76.34	76.34	63.10	3.04	2.29	0.66	0.01	0.01	589.16
SN-63	2.45	76.34	17.09	11.95	0.03	0.04	76.34	0.30	76.34	76.34	0.01	76.34	3.91	30.90	1.02	12.88	0.02	6.40	0.01	0.01	545.02
SN-91	76.34	0.83	0.88	0.20	0.15	0.08	0.01	1.22	76.34	5.16	0.01	76.34	76.34	35.05	19.26	4.65	0.05	70.27	1.61	521.12	
SN-104	0.03	0.03	76.34	76.34	0.03	0.05	76.34	0.02	0.03	0.06	0.01	0.02	0.04	0.05	0.03	0.01	0.05	0.01	0.01	0.01	305.83
SN-89	76.34	1.87	2.47	0.01	0.02	2.11	0.07	10.39	1.54	0.01	0.37	12.30	76.34	1.60	0.26	0.03	2.05	6.52	270.65		
SS-19	0.03	0.05	0.03	0.01	0.59	76.34	4.41	0.01	0.02	0.01	0.01	0.03	0.02	0.01	0.02	0.02	13.07	0.06	76.34	171.09	
SN-84	0.01	0.01	0.04	76.34	0.36	0.02	76.34	0.89	0.02	0.04	0.01	13.56	0.01	0.02	0.05	0.85	0.04	0.14	0.02	0.01	168.76
SS-15	0.02	0.02	0.01	0.02	0.01	0.01	0.01	76.34	0.01	0.01	0.01	0.03	0.01	0.01	0.03	0.02	0.01	0.01	0.01	76.34	152.95
SN-143	1.86	6.15	0.93	39.44	76.34	0.02	0.25	5.94	0.80	5.84	0.10	0.01	0.24	2.36	0.05	0.11	0.04	0.01	3.20	0.02	143.70
SN-65	0.05	0.03	0.15	76.34	0.11	0.12	58.94	0.06	0.01	0.02	0.01	0.03	0.01	0.02	0.02	0.03	0.02	0.02	0.02	0.02	136.04
SN-110	1.00	2.05	0.78	1.57	76.34	1.97	0.30	0.28	0.06	0.04	0.13	0.01	13.07	0.04	0.05	0.25	0.02	0.01	0.02	0.03	97.98
SN-66	0.03	0.01	0.01	2.81	0.01	0.01	76.34	0.01	0.01	0.02	0.01	0.02	0.01	0.01	0.01	0.01	0.01	0.01	0.01	0.01	79.37
SN-119	0.01	0.01	0.01	0.03	0.07	0.13	0.01	0.01	0.01	0.01	0.01	0.01	0.01	0.01	0.01	0.01	0.01	0.02	0.02	0.02	76.80
SN-124	0.01	0.01	0.01	0.01	0.01	0.01	0.01	0.01	0.01	0.01	0.01	0.01	0.01	0.01	0.01	0.01	0.01	0.01	0.01	0.01	76.51
SN-53	0.93	0.39	0.07	0.16	0.04	0.12	0.02	0.17	0.49	0.40	0.70	0.01	36.35	0.22	0.33	0.17	1.37	0.05	0.23	21.23	63.44
SN-74	0.04	0.08	0.03	32.70	0.89	0.04	0.45	0.09	0.01	0.07	0.02	0.04	0.04	0.06	0.24	0.02	0.02	0.07	0.04	0.13	35.06
SS-18	0.96	0.17	1.28	0.03	0.07	0.02	0.05	0.15	0.04	1.29	0.60	0.01	8.97	1.77	3.31	0.76	0.67	0.04	0.01	0.01	20.21
SN-34	0.02	0.02	0.01	0.01	0.03	0.02	0.05	0.36	0.07	0.01	0.02	0.28	0.25	0.03	0.54	16.47	1.21	0.01	19.48		
SN-125	0.25	1.49	0.49	0.11	0.15	0.05	0.03	0.48	0.83	0.79	0.38	0.01	0.13	2.71	1.01	1.16	0.24	0.01	1.21	0.02	11.57
SN-121	0.04	0.02	0.06	0.01	0.01	0.01	0.03	0.07	0.07	0.04	0.01	0.04	0.05	0.03	0.05	0.05	0.01	0.16	9.06	9.82	
SS-25	0.03	0.05	0.18	0.07	0.38	0.05	0.01	4.89	0.17	0.05	1.40	0.01	0.03	0.06	0.03	0.02	0.02	0.03	0.02	7.54	
SS-26	0.03	0.21	0.39	0.01	0.06	0.16	0.31	5.48	0.02	0.04	0.04	0.02	0.01	0.02	0.02	0.02	0.02	0.02	0.02	6.98	
SN-114	0.03	0.02	0.38	0.01	0.01	0.03	0.07	3.19	1.47	0.08	0.01	0.08	0.24	0.02	0.03	0.02	0.01	0.02	0.04	0.04	5.76
SN-130	0.03	0.22	0.03	0.01	0.15	0.09	0.02	0.02	0.05	0.06	0.01	0.02	0.08	0.04	0.03	0.02	0.03	0.04	0.02	5.59	

Table 6-2: Promising Sampling Points Based on the Sum of Probabilistic Intensity of Anomalies.

بعد می باشد. با توجه به واریانس زیاد این عناصر در جامعه نمونه ها، مقادیر ویژه آنها عمدتاً جزو مقادیر اول تا سوم می باشد و لذا در روش تجزیه به عاملهای اصلی<sup>۱</sup> اثرات این عناصر در فاکتورهای اول تا سوم ظهرور پیدا می کند و با حذف اثر این سه فاکتور در کل جامعه نمونه برداری شده آنچه باقی میماند، میزان غنی شدگی نسبت به هر عنصر می باشد و اثر لیتولوژی در بین نمونه ها حذف می گردد.<sup>۲</sup>

این عمل برای نمونه های برداشته شده در برگه ۱۰۰،۰۰۰: اساری انجام گرفته است. برای این منظور با توجه به فرض روش تجزیه به عاملهای اصلی (PCA) داده های خام نرمال شده و سعی گردیده که جامعه ایبی ناحدامکان نرمال جهت آنالیز آماده شود. سپس جامعه نرمال توسط نرم افزار SPSS مورد آنالیز PCA قرار گرفت. جهت حذف اثر بعد از ماتریس همبستگی جهت تعیین ضرایب استفاده گردیده است و تعداد فاکتورها به اندازه تعداد عناصر تعیین گردیده است. بدین ترتیب عناصری که بیشترین واریانس را داشته باشند در فاکتورهای ابتدایی تأثیرات خود را نشان می دهند. با اعمال ضرایب بدست آمده در اعداد خام و محاسبه ماتریس عوامل، نتایج آنالیز PCA بدست می آید. مرحله بعدی حذف اثر فاکتورهای لیتولوژیکی می باشد برای این هدف لازم است که فاکتورهای اول تا پنجم با روش تخمین شبکه ای بصورت نقشه نمایش داده شوند تا مشخص شود کدام فاکتورها می توانند در مجموع تغییرات سنگهای منطقه را نمایش دهند. عبارت دیگر با رسم فاکتورهای مختلف، سعی در شبیه سازی نقشه زمین شناسی منطقه می شود و بدین ترتیب، فاکتورهایی که در ارتباط با ترکیبات سنگهای منطقه می باشند شناسایی می شود. مرحله آخر حذف اثر فاکتورهای مشخص شده بعنوان عاملهای لیتولوژیکی از کل جامعه می باشد. برای این منظور عکس تراهنده ماتریس ضرایب محاسبه شده و فاکتورهای لیتولوژیکی در آن بصورت سطرهای مشخص حذف میگردد.

همچنین این فاکتورها باید بصورت ستونهای ماتریس عاملها حذف گردد. با ضرب ماتریس عاملهایی که ستونهای مورد نظر آن حذف شده در ماتریس ضرایبی که سطرهای مورد نظر در آنها حذف گردیده، ماتریسی حاصل می شود که تعداد ستونهای آن به تعداد عناصر مورد آنالیز بوده و تعداد سطرهای آن، برابر تعداد نمونه ها میباشد. این ماتریس که ماتریس نهایی می باشد، نشانگر میزان غنی شدگی نمونه ها نسبت به عناصر بوده و در آن اثر عاملهای لیتولوژیکی حذف شده است. نقشه های a و b و c معرف تغییرات فاکتورهای ۱، ۲ و ۳ برای داده های بهشهر می باشد، همانگونه که مشخص است، مجموع این سه فاکتور می تواند تا حدودی معرف زمین شناسی منطقه باشد. لذا برای تعیین میزان غنی شدگی نمونه ها، اثر هر سه فاکتور حذف گردیده است. و برای تمامی عناصر، ضرایب نهایی رسم و مقادیر بالای ۹۹ درصد آنها به روی یکدیگر منطبق گردیده و بعنوان یکی از نقشه های نهایی جهت کنترل ناهنجاریهای ژئوشیمیایی مورد استفاده قرار گرفته است. نقشه h توزیع ضرایب غنی شدگی به روش PCA را نشان می دهد.

## ۵- معرفی متغیرهای تک عنصری و چند عنصری و رسم نقشه ها

متغیرهای تک عنصری و چند عنصری که بتواند پتانسیلهای کانساری را در این منطقه به طور مناسبتری معنکس نمایند. از طریق بکارگیری روش آنالیز فاکتوری و رسم موقعیت متغیرها در مختصات فاکتوری معرفی می شوند. در چنین مختصاتی، متغیرهایی که بار فاکتورهای آنها نزدیک به صفر می باشد بی اهمیت بوده و هر چه فاصله آنها از مبدأ مختصات ( $F_i = 0, F_j \neq 0$ ) بیشتر باشد، پتانسیل عنصر از نظر کانی سازی می تواند با اهمیت تلقی شود. البته این امر پس از ختنی سازی مولفه های سنتزیک (بطور عام) از طریق اثردادن سنگ بالادست، صادق است. در اینصورت چنانچه مجموعه ای از متغیرها در امتداد معین از مبدأ دور شده باشند، می توانند بعنوان متغیرهایی که ارتباط پارازنی با یکدیگر دارند، بحساب آیند. بنابراین با استفاده از این روش می توان با تغییر محورهای مختصات (فاکتورهای مختلف) موقعیت عناصر را واضحتر مورد مطالعه قرار داد. در مطالعه حاضر، یک مدل پنج فاکتوری می توانسته است بیشتر از ۹۵٪ از تغییر پذیری را توجیه کند. اشکال ۱-۶ تا ۱۳ وضعیت متغیرهای مختلف را در مختصات های مختلف معرفی می کند. مطالعه این اشکال معرف آن است که :

- ۱- عناصری که به طور نسبی امتیازات فاکتوری قابل ملاحظه ای از خود نشان می دهد عبارتند از : Au,Sr, Sn, Hg, Ag . بقیه عناصر نسبت به عناصر فوق دارای امتیازات کمتری هستند که دلیل آن را می توان در پیچیدگی زمین شناسی این برگه و عدم حذف اثر فاکتورهای لیتلولژیکی ، در نمونه ها دانست.
- ۲- فاکتور اول بیشترین جدایش را برای عنصر Au فراهم می کند. عنصر Sr در بسیاری از دیاگرامهای فاکتوری خود را به صورت یک قطب کاملاً مستقل نشان می دهد. و عنصر Sn نیز تا حدودی خود را جدا کرده است.
- ۳- فاکتور دوم عمداً معرف تهی شدگی عنصر Sr می باشد. فاکتور سوم معرف آنومالیهای عنصر Sn می باشد. فاکتور چهارم بعلت کمی تعداد نمونه ها هیچ نوع جدایشی بین متغیرها حاصل ننموده است. فاکتور پنجم بیشتر معرف آنومالیهای عنصر Ag,Hg می باشد که می تواند معرف مناطق کانی سازی باشد.
- ۴- بعلت کمی تعداد نمونه ها، فاکتوری که مشخص کننده محیط لیتلولژیکی باشد قابل تفکیک نبوده است و فقط فاکتور چهارم حالت آشتهای داشته است که هیچ جدایشی بین عناصر حاصل نکرده است.
- ۵- از میان پنج فاکتور ، فاکتور اول بعلت مشخص کردن آنومالیهای طلا و باتوجه به بالابودن واریانس این متغیر در فاکتور اول مشخص شده است.
- ۶- فاکتور پنجم نیز بعلت معرفی مناطق آنومال عنصر Ag,Hg که از نظر کانی سازی اهمیت بالایی دارند، می تواند از فاکتور های مهم منطقه باشد.

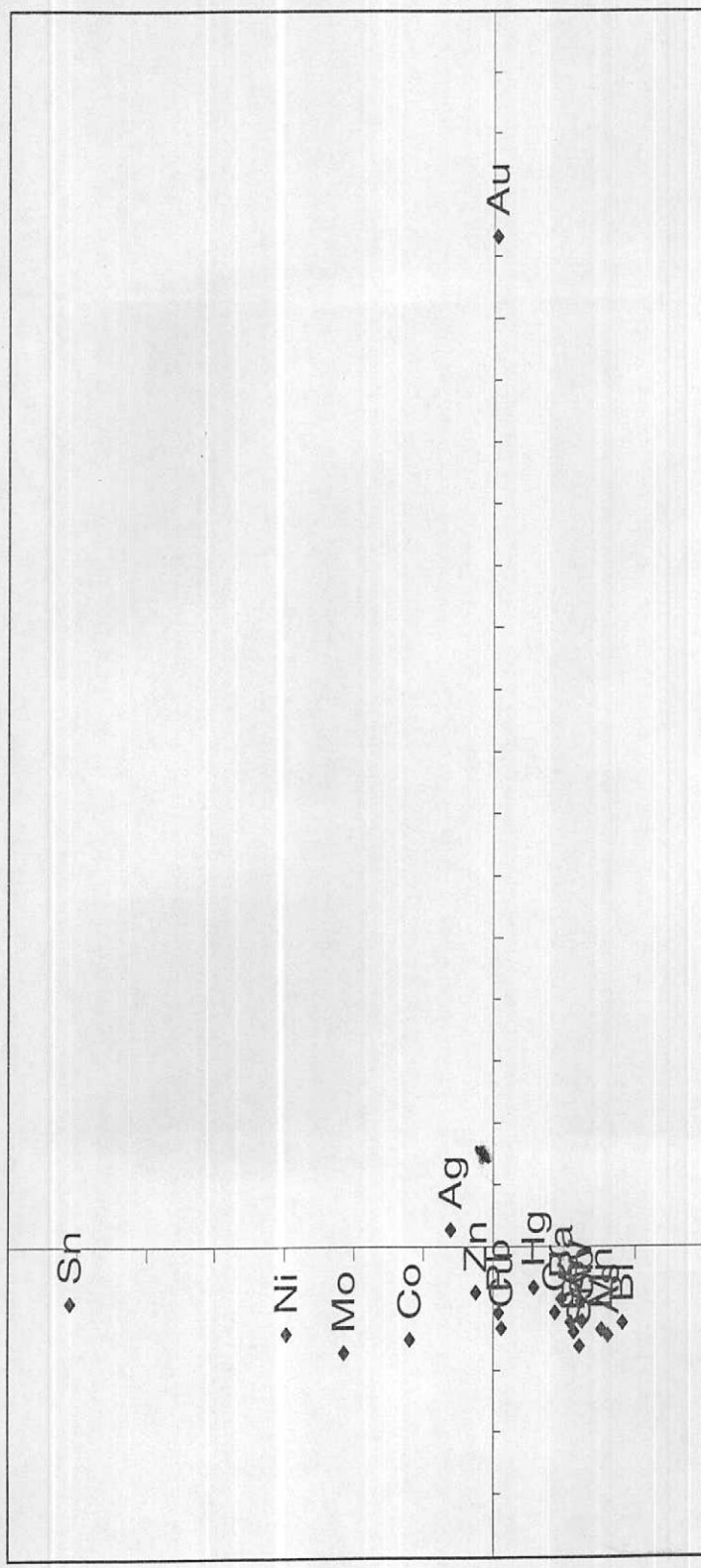
در جدول ۳-۶ نمونه های پرپتائسیل تعیین شده به روش آنالیز تطبیقی بر اساس امتیازات فاکتوری محاسبه شده ارائه شده است. در این جدول بر اساس فاصله اقلید سی محاسبه شده در فضای پنج فاکتوری، ۱۵ نمونه که کمترین فاصله را نسبت به هر متغیر داشته اند به عنوان پرپتائسیل ترین نمونه معرفی شده اند. علاوه بر نتایج فوق مقدار  $EI_{1/PN}$  و متناظر هر نمونه و همچنین مقدار مجموع ( $1/PN$ ) به همراه پارامترهای مشاهده شده در محل هر نمونه ارائه شده است.

## ۶- ترسیم نقشه ها

به منظور انجام فاز کنترل آنومالی ها اقدام به تهیه نقشه تک متغیره توزیع کلیه متغیرهای ژئوشیمیابی با استفاده از روش تخمین شبکه ای شده است. برای این منظور علاوه بر توزیع داده های خام، توزیع ضرایب غنی شدگی بر اساس حذف اثر سنگ بالادست و توزیع ضرایب غنی شدگی براساس عناصر معرف لیتلولوژی (PCA) رسم شده و برای هر کدام کلیه مناطق پرپتائسیل که معادل یک درصد بالای فراوانی هر متغیر بوده است در یک نقشه کنار یکدیگر قرار گرفته اند. تا پرپتائسیل ترین مناطق بر اساس داده های شاخص غنی شدگی و غنی شدگی براساس PCA تک تک متغیرها بدست آید. علاوه بر نقشه های فوق، از دو نقشه دیگر در فاز کنترل آنومالی ها استفاده گردیده است. نقشه اول مربوط به مجموع مقادیر ( $1/PN$ ) محاسبه شده برای هر نمونه می باشد و نقشه دوم مربوط به نتایج آنالیز ویژگی امتیازات فاکتوری بدست آمده برای هر نمونه است در اشکال ۱۴-۶ الی ۱۸-۶ نقشه های بکار رفته در فاز کنترل آنومالی مشاهده می گردد که هر یک بر اساس ۱٪ بالای عناصر در هر روش می باشند.



Fig 6-1 :Graphical Representation of Factor Analysis for Geochemical Variables in  
Sari 1:100,000 Sheet



Factor 1  
Fig 6-2 : Graphical Representation of Factor Analysis for Geochemical Variables  
in Sari 1:100,000 Sheet

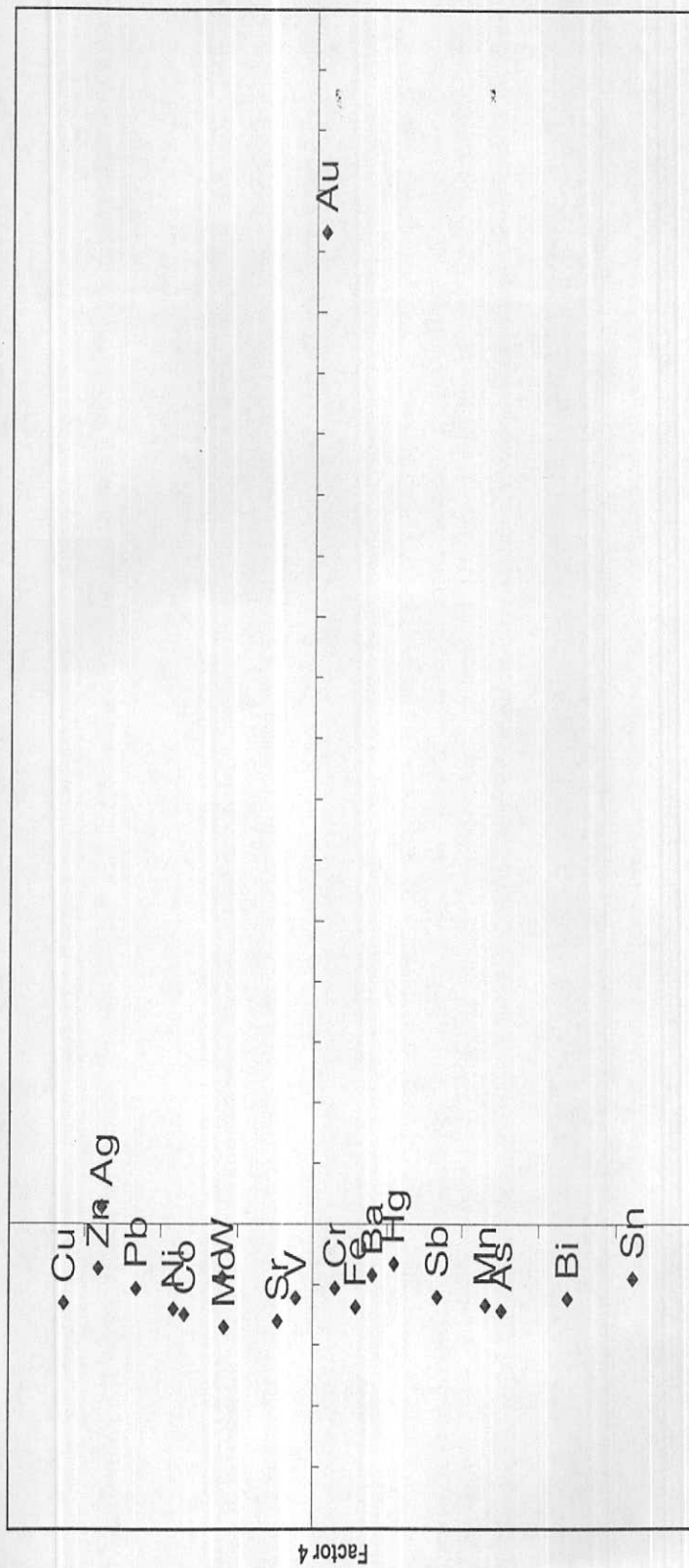


Fig 6-3 : Graphical Representation of Factor Analysis for Geochemical Variables  
in Sari 1:100,000 Sheet

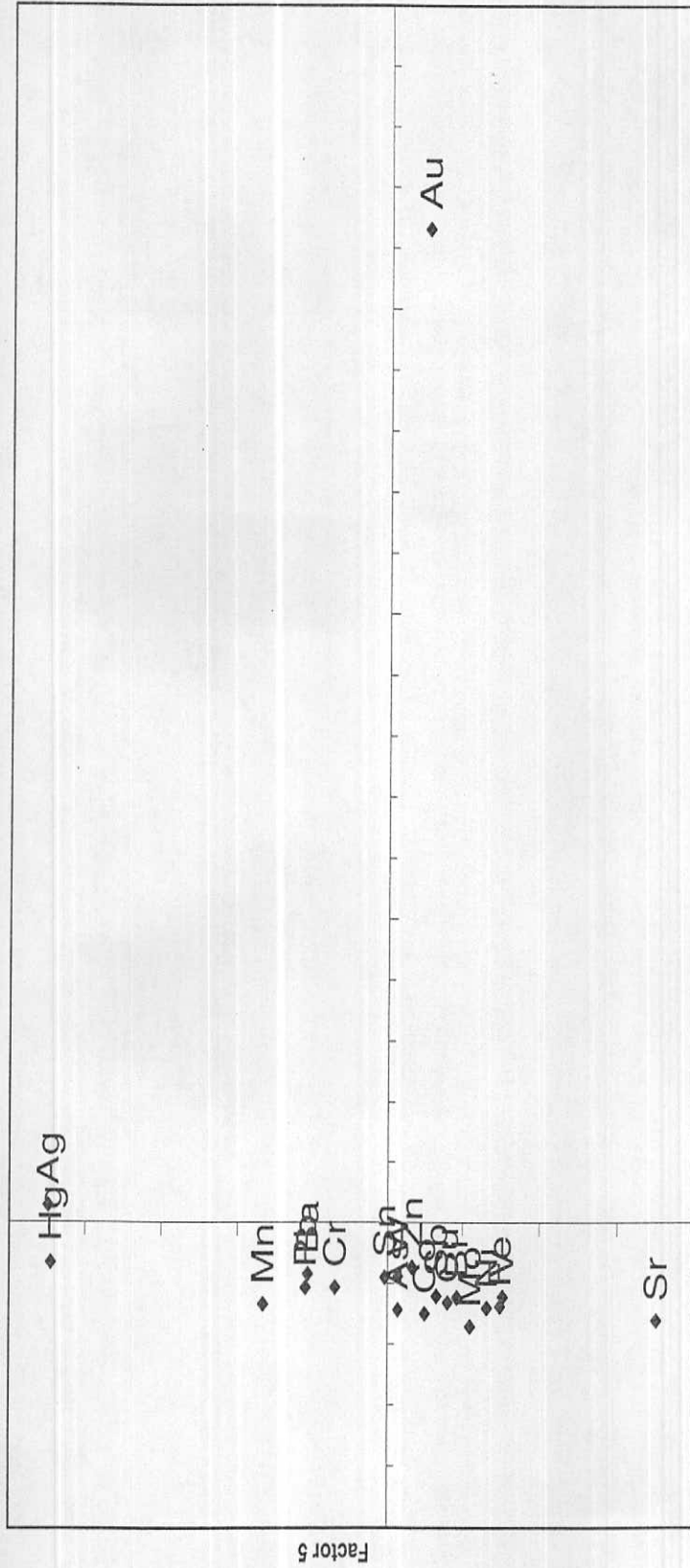
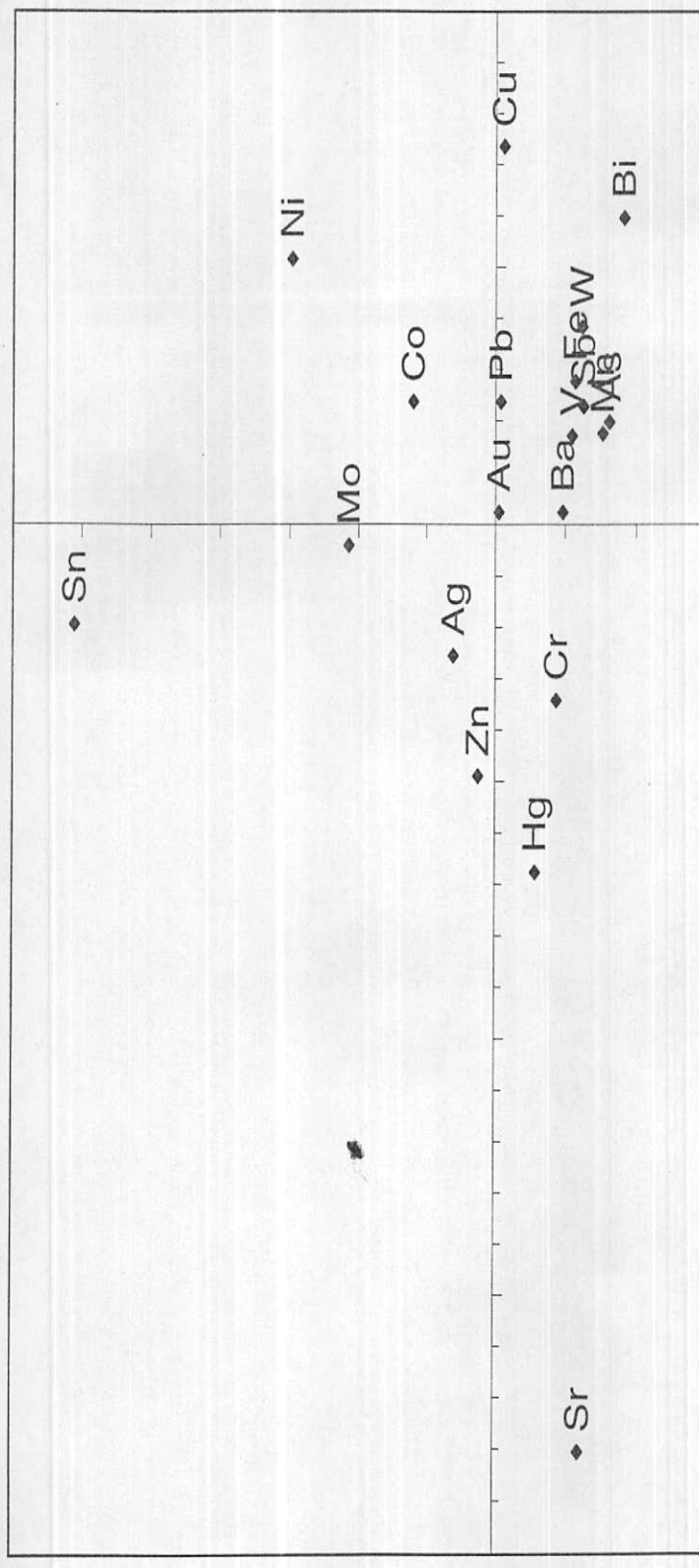


Fig 6-4 :Graphical Representation of Factor Analysis for Geochemical Variables  
in Sari 1:100,000 Sheet



Factor 2  
Fig 6-5 : Graphical Representation of Factor Analysis for Geochemical Variables  
in Sari 1:100,000 Sheet

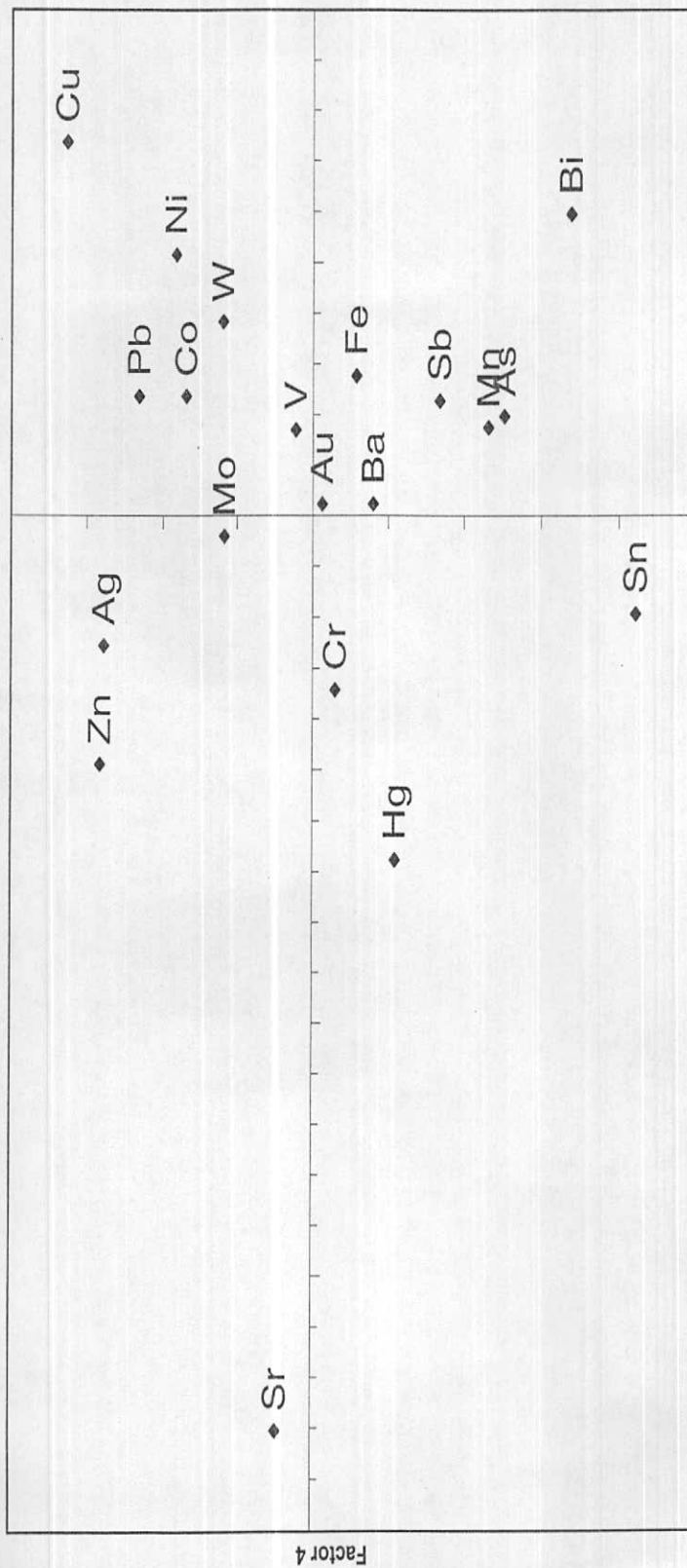


Fig 6-6 :Graphical Representation of Factor Analysis for Geochemical Variables in Sari 1:100,000 Sheet

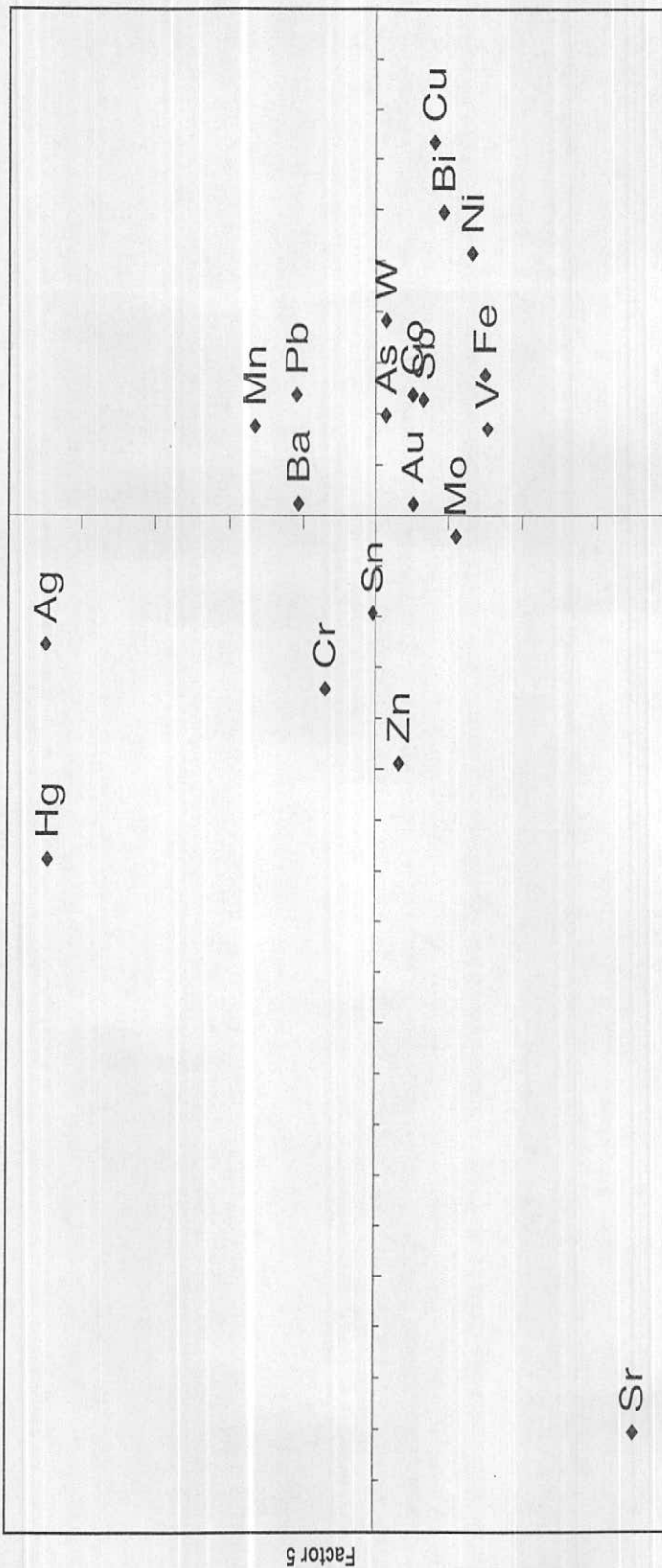


Fig 6-7 :Graphical Representation of Factor Analysis for Geographical Variables in  
Sari 1:100,000 Sheet

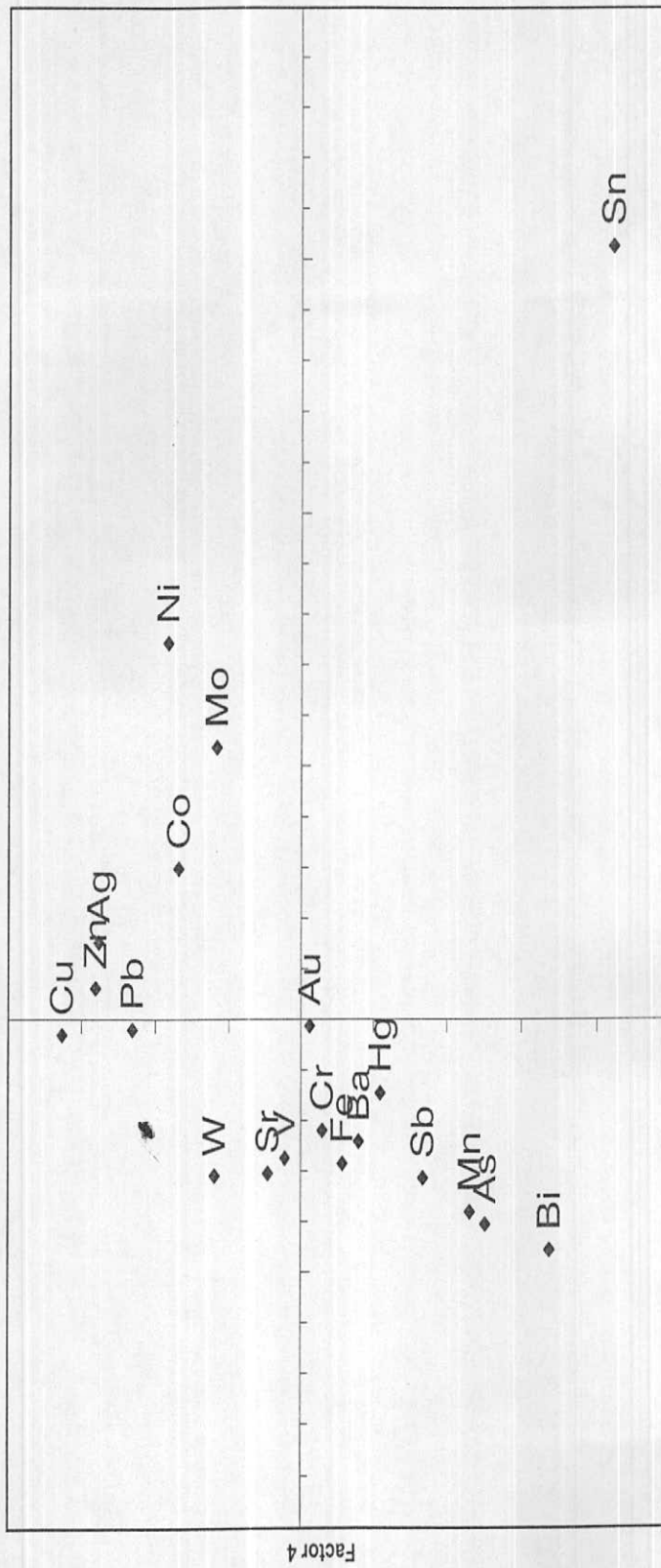


Fig 6-8 :Graphical Representation of Factor Analysis for Geochemical Variables in  
Sari 1:100,000 Sheet

Factor 3

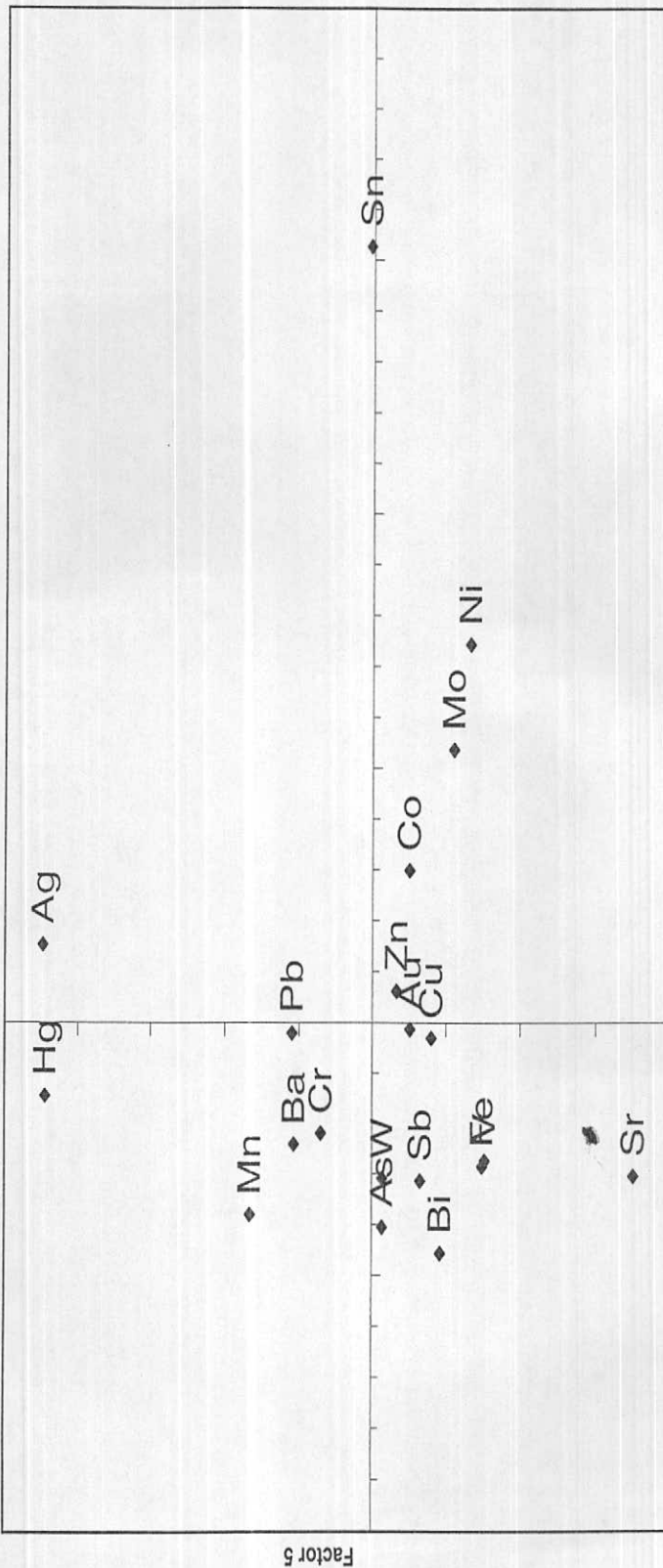


Fig 6-9 :Graphical Representation of Factor Analysis for Geochemical Variables in  
Sari 1:100,000 Sheet

Factor 3

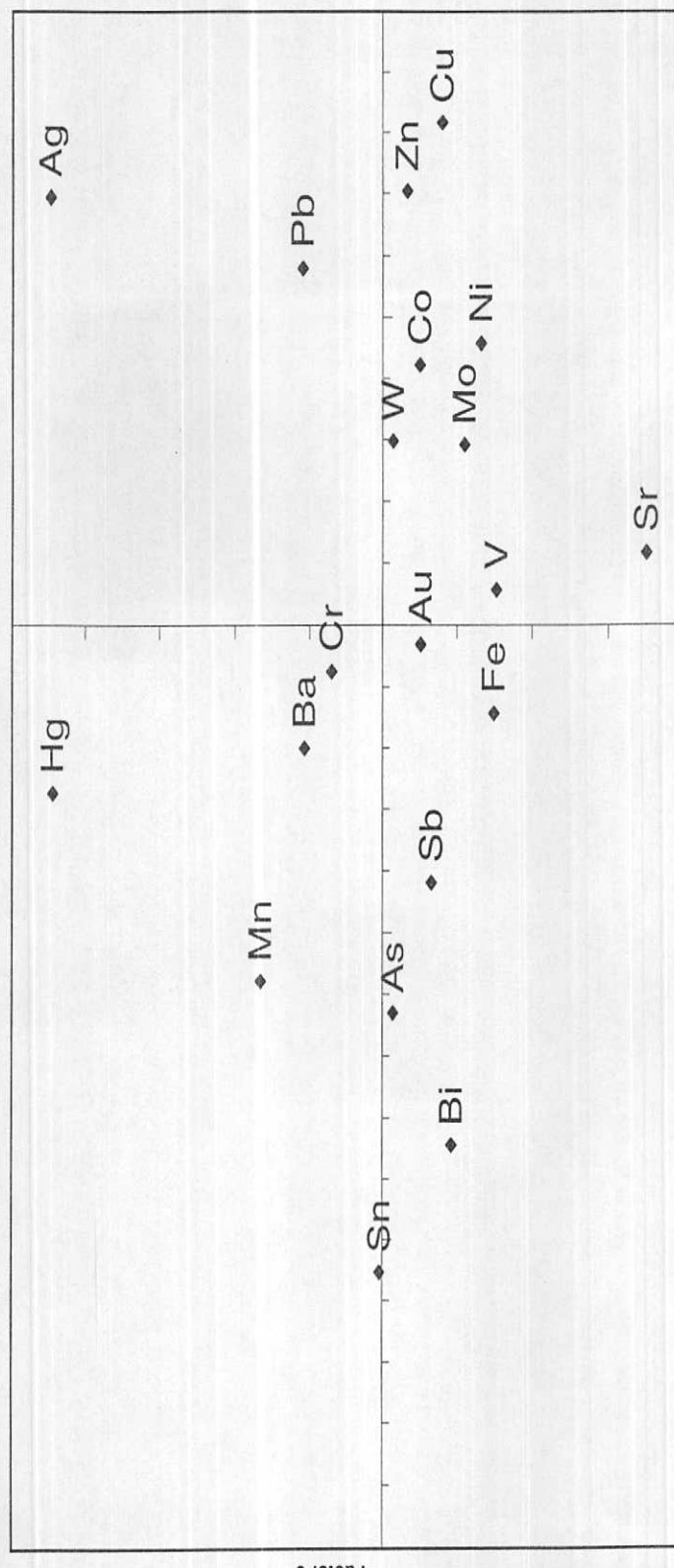


Fig 6-10 :Graphical Representation of Factor Analysis for Geochemical Variables  
in Sari 1:100,000 Sheet

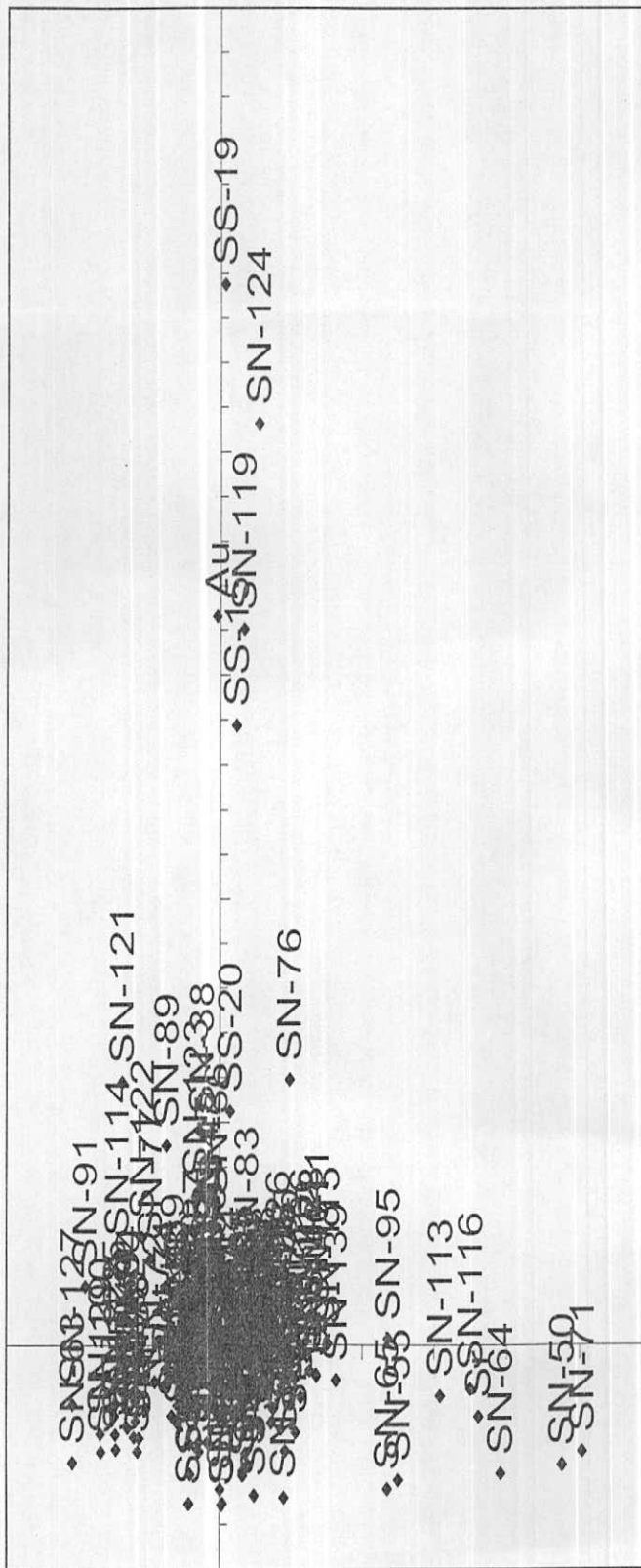


Fig 6-11 :Graphical Representation of Factor Analysis for Geochemical Variables in Sari 1:100,000 Sheet

Factor 1

Factor 2

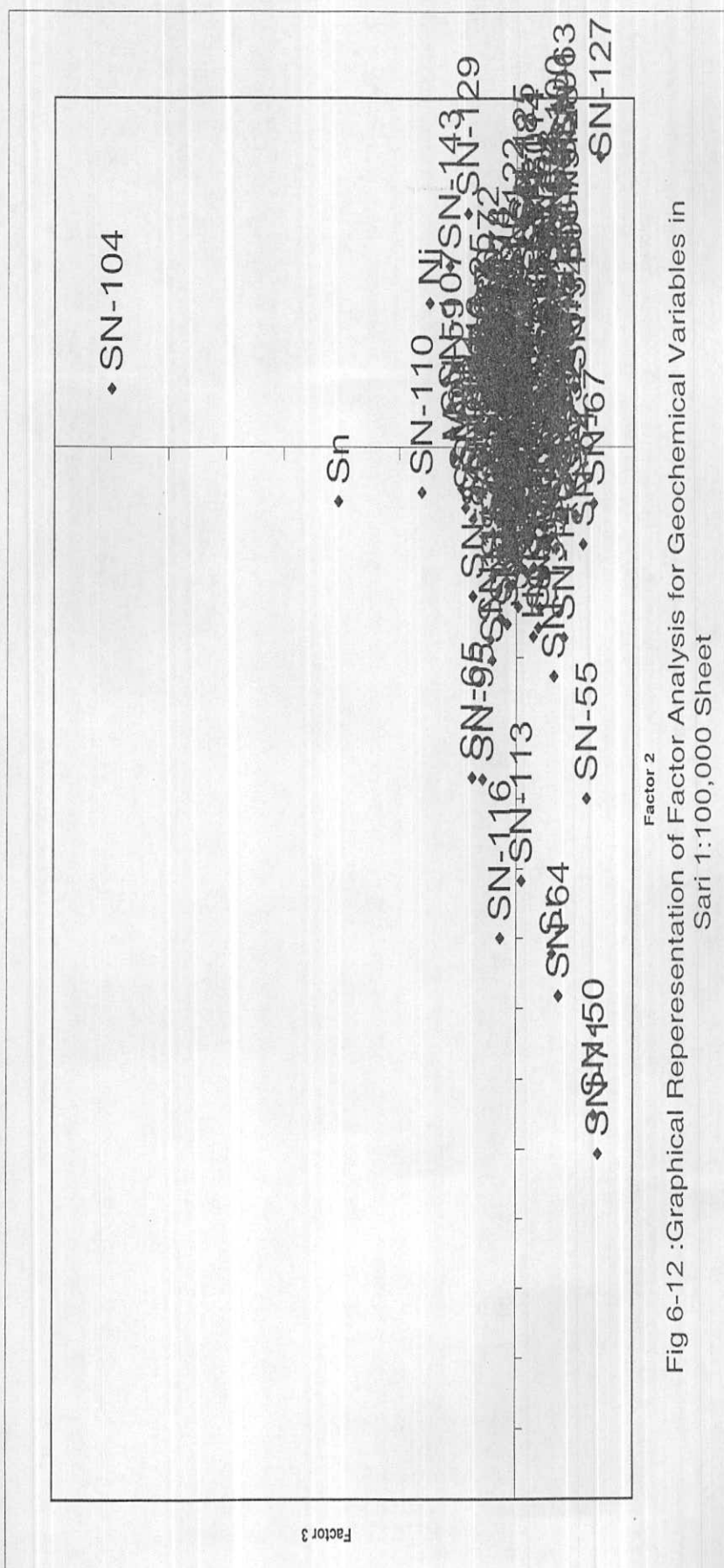


Fig 6-12 : Graphical Representation of Factor Analysis for Geochemical Variables in  
Sari 1:100,000 Sheet

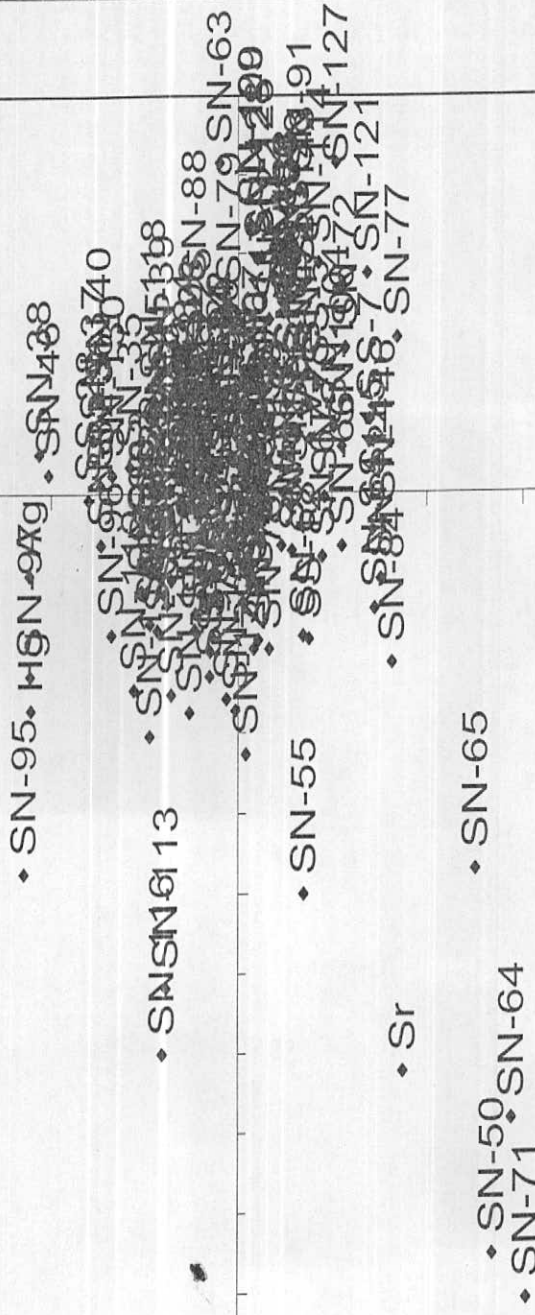


Fig 6-13 :Graphical Representation of Factor Analysis for Geochemical Variables in Sari 1:100,000 Sheet

Table 6-3 : Comparision on Between Anomalous Samples Obtained From Two Methods.

Factor Element	Anomaly	Ei	Pn	Sum(1/P.N)	Paragenesis
<b>Cu</b>					
SS-19		1.15		171.09	Au+Ag+Mo+Pb+Sn+Zn
SN-124		0.42		76.51	
SN-119		0.97		76.80	Au+Mo
SS-15		1.00		152.95	Au+Mo+Zn
SN-104		1.08		305.83	Ni+Sn
SN-71		0.20			Sr
SN-50		0.20			Sr
SN-64		0.39			Sr
SN-116		0.38			
SN-113		0.41			
SN-55		0.44			
SN-76		0.69		1.71	
SN-95		0.42			
SN-65		0.74		136.04	Sr
SN-121		1.19		9.82	Ba+Bi+Cr+Fe+Sb
<b>Pb</b>					
SS-19	<1>	1.19		171.09	Au+Ag+Mo+Pb+Sn+Zn
SN-124		0.57		76.51	
SN-119		1.01		76.80	Au+Mo
SS-15		1.00		152.95	Au+Mo+Zn
SN-104		1.04		305.83	Ni+Sn
SN-71		0.30			Sr
SN-50		0.38			Sr
SN-64		0.53			Sr
SN-116		0.51			
SN-76		0.76		1.71	
SN-121		1.02		9.82	Ba+Bi+Cr+Fe+Sb
SN-55		0.57			
SN-65		0.74		136.04	Sr
SN-113		0.53			
SS-20		1.02		3.04	
<b>Ni</b>					
SS-19		1.17		171.09	Au+Ag+Mo+Pb+Sn+Zn
SN-124		0.50		76.51	
SN-119		1.04		76.80	Au+Mo
SS-15		0.97		152.95	Au+Mo+Zn
SN-71		0.29			Sr
SN-50		0.29			Sr
SN-104	<1>	3.43	76.34	305.83	Ni+Sn
SN-64		0.45			Sr
SN-116		0.40			
SN-55		0.54			
SN-113		0.43			
SN-76		0.77		1.71	
SN-121		1.28		9.82	Ba+Bi+Cr+Fe+Sb
SS-20		1.00		3.04	
SN-95		0.51			

Table 6-3 : Comparision on Between Anomalous Samples Obtained From Two Methods.

Factor	Anomaly	Ei	Pn	Sum(1/P.N)	Paragenesis
Element					
<b>Zn</b>					
SS-19	<1>	1.36	4.41	171.09	Au+Ag+Mo+Pb+Sn+Zn
SN-124		0.60		76.51	
SN-119	<2>	1.28		76.80	Au+Mo
SN-104		1.10		305.83	
SS-15	<1>	1.48	76.34	152.95	Au+Mo+Zn
SN-71		0.60			Sr
SN-50		0.63			Sr
SN-121		0.89		9.82	Ba+Bi+Cr+Fe+Sb
SN-127		0.80		4.97	Bi+Co+Ni
SN-64		0.88			Sr
SN-91		0.96		521.12	
SN-76		0.90		1.71	
SN-38		1.00			Sr
SN-63	<1>	1.66	76.34	545.02	Sr
SN-129		1.28			Bi+Co+Ni
<b>Co</b>					
SS-19		0.95		171.09	Au+Ag+Mo+Pb+Sn+Zn
SN-124		0.64		76.51	
SN-119		0.91		76.80	Au+Mo
SS-15		0.93		152.95	Au+Mo+Zn
SN-104	<1>	1.90	76.34	305.83	
SN-71		0.39			Sr
SN-50		0.41			Sr
SN-64		0.57			Sr
SN-116		0.50			
SN-121		1.07		9.82	Ba+Bi+Cr+Fe+Sb
SN-76		0.83		1.71	
SN-113		0.52			
SN-55		0.67			
SS-20		0.84		3.04	
SN-38		1.03			
<b>Cr</b>					
SS-19		1.05		171.09	Au+Ag+Mo+Pb+Sn+Zn
SN-124		0.77		76.51	
SN-119		0.94		76.80	Au+Mo
SN-104		1.01		305.83	
SS-15		0.91		152.95	Au+Mo+Zn
SN-71		0.75			Sr
SN-50		0.70			Sr
SN-121	<1>	1.14		9.82	Ba+Bi+Cr+Fe+Sb
SN-64		0.79			Sr
SN-76		0.91		1.71	
SN-38		1.05			
SN-89		0.94		270.65	
SN-65		0.77		136.04	
SN-129		1.13			Bi+Co+Ni
SN-116		0.66			

Table 6-3 : Comparision on Between Anomalous Samples Obtained From Two Methods.

Factor Element	Anomaly	EI	Pn	Sum(1/P.N)	Paragenesis
<b>V</b>					
SS-19		1.05		171.09	Au+Ag+Mo+Pb+Sn+Zn
SN-124		0.68		76.51	
SN-119		0.93		76.80	Au+Mo
SN-104		1.04		305.83	
SS-15		0.88		152.95	Au+Mo+Zn
SN-71		0.69			Sr
SN-50		0.59			Sr
SN-64		0.69			Sr
SN-116		0.42			
SN-121	<2>	1.18		9.82	Ba+Bi+Cr+Fe+Sb
SN-76		1.02		1.71	
SN-113		0.43			
SN-95		0.37			
SN-65		0.96		136.04	
SN-38		1.15			
<b>Mn</b>					
SS-19		0.82		171.09	Au+Ag+Mo+Pb+Sn+Zn
SN-124		0.86		76.51	
SN-119		0.79		76.80	Au+Mo
SN-104		1.18		305.83	
SS-15		0.78		152.95	Au+Mo+Zn
SN-71		0.60			Sr
SN-50		0.54			Sr
SN-64		0.64			Sr
SN-116		0.53			
SN-76		0.75		1.71	
SN-65		0.54		136.04	
SN-121	<2>	1.16		9.82	Ba+Bi+Cr+Fe+Sb
SN-113		0.65			
SS-20		1.15		3.04	
SN-55		0.78			
<b>Sr</b>					
SS-19		0.88		171.09	Au+Ag+Mo+Pb+Sn+Zn
SN-124		0.97		76.51	
SN-119		1.07		76.80	Au+Mo
SN-104		0.78		305.83	
SS-15		1.12		152.95	Au+Mo+Zn
SN-121		0.69		9.82	Ba+Bi+Cr+Fe+Sb
SN-63		0.46		545.02	Sr
SN-127		0.71		4.97	Bi+Co+Ni
SN-91		0.72		521.12	
SN-129		0.72			Bi+Co+Ni
SN-114		0.61		5.76	
SN-38		0.63			
SN-100		0.65		4.47	
SN-89		0.96		270.65	
SN-128		0.71			As+Ba+Fe+Mn+Sb+V+W

Table 6-3 : Comparision on Between Anomalous Samples Obtained From Two Methods.

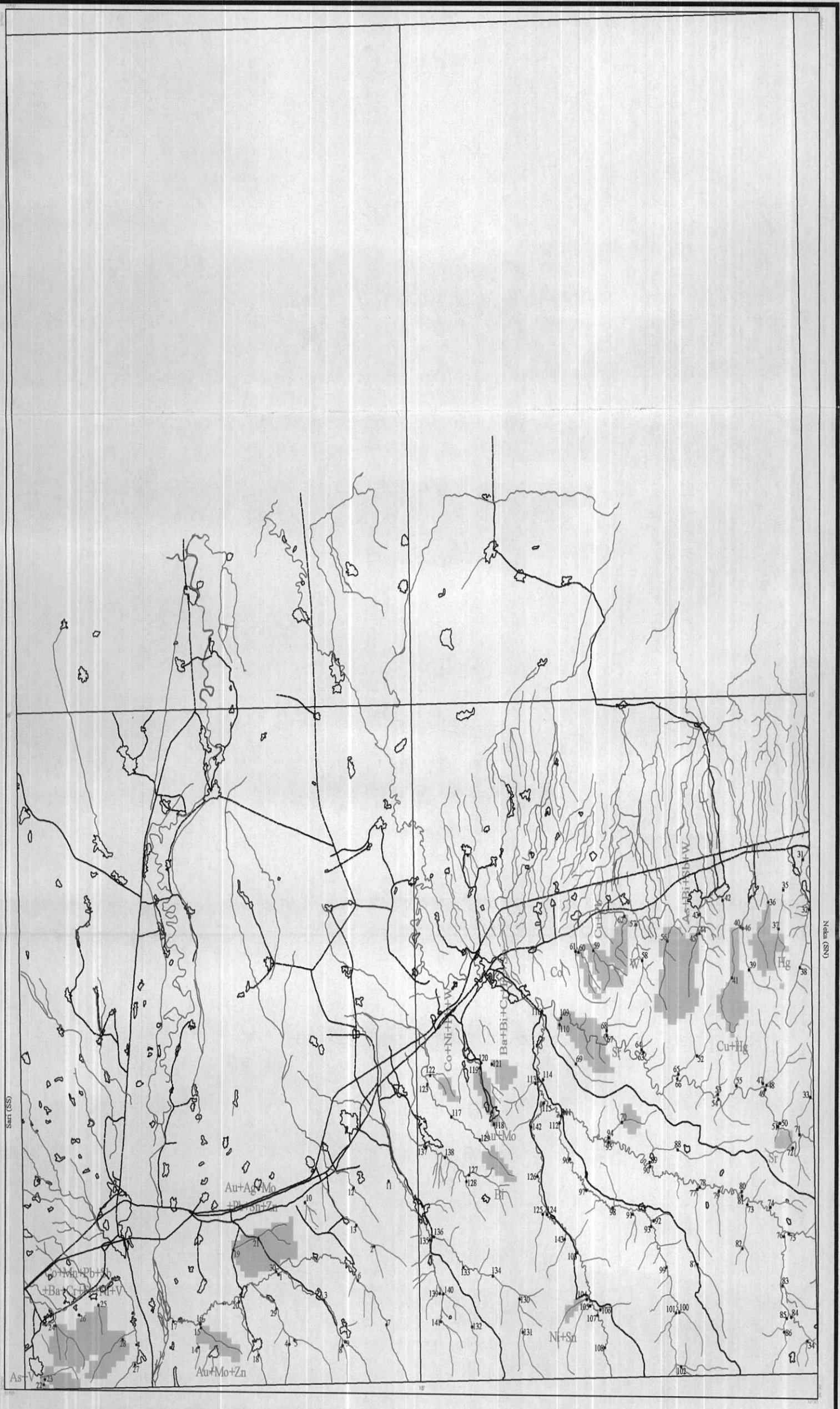
Factor Element	Anomaly	EI	Pn	Sum(1/P.N)	Paragenesis
<b>Ba</b>					
SS-19	<2>	1.08		171.09	Au+Ag+Mo+Pb+Sn+Zn
SN-124		1.00		76.51	
SN-119		0.93		76.80	Au+Mo
SN-104		1.03		305.83	
SS-15		0.91		152.95	Au+Mo+Zn
SN-71		0.53			Sr
SN-50		0.52			Sr
SN-64		0.58			Sr
SN-116		0.60			
SN-121	<1>	1.11		9.82	Ba+Bi+Cr+Fe+Sb
SN-65		0.60		136.04	
SN-76		0.95		1.71	
SN-113		0.70			
SN-55		0.72			
SN-38		1.00			
<b>Fe</b>					
SS-19		1.02		171.09	Au+Ag+Mo+Pb+Sn+Zn
SN-124		0.65		76.51	
SN-119		0.92		76.80	Au+Mo
SN-104		1.10		305.83	
SS-15		0.97		152.95	Au+Mo+Zn
SN-71		0.67			Sr
SN-50		0.65			Sr
SN-64		0.77			Sr
SN-116		0.42			
SN-76		0.87		1.71	
SN-113		0.51			
SN-121	<1>	1.18		9.82	Ba+Bi+Cr+Fe+Sb
SN-65		0.82		136.04	
SN-95		0.53			
SN-38		1.07			
<b>As</b>					
SS-19		0.75		171.09	Au+Ag+Mo+Pb+Sn+Zn
SN-124		0.83		76.51	
SN-119		0.86		76.80	Au+Mo
SN-104		1.13		305.83	
SS-15		0.97		152.95	Au+Mo+Zn
SN-71		0.58			Sr
SN-50		0.56			Sr
SN-64		0.58			Sr
SN-116		0.47			
SN-76		0.71		1.71	
SN-121		1.12		9.82	Ba+Bi+Cr+Fe+Sb
SN-65		0.79		136.04	
SN-113		0.56			
SN-38		1.07			
SS-20		1.10		3.04	

Table 6-3 : Comparision on Between Anomalous Samples Obtained From Two Methods.

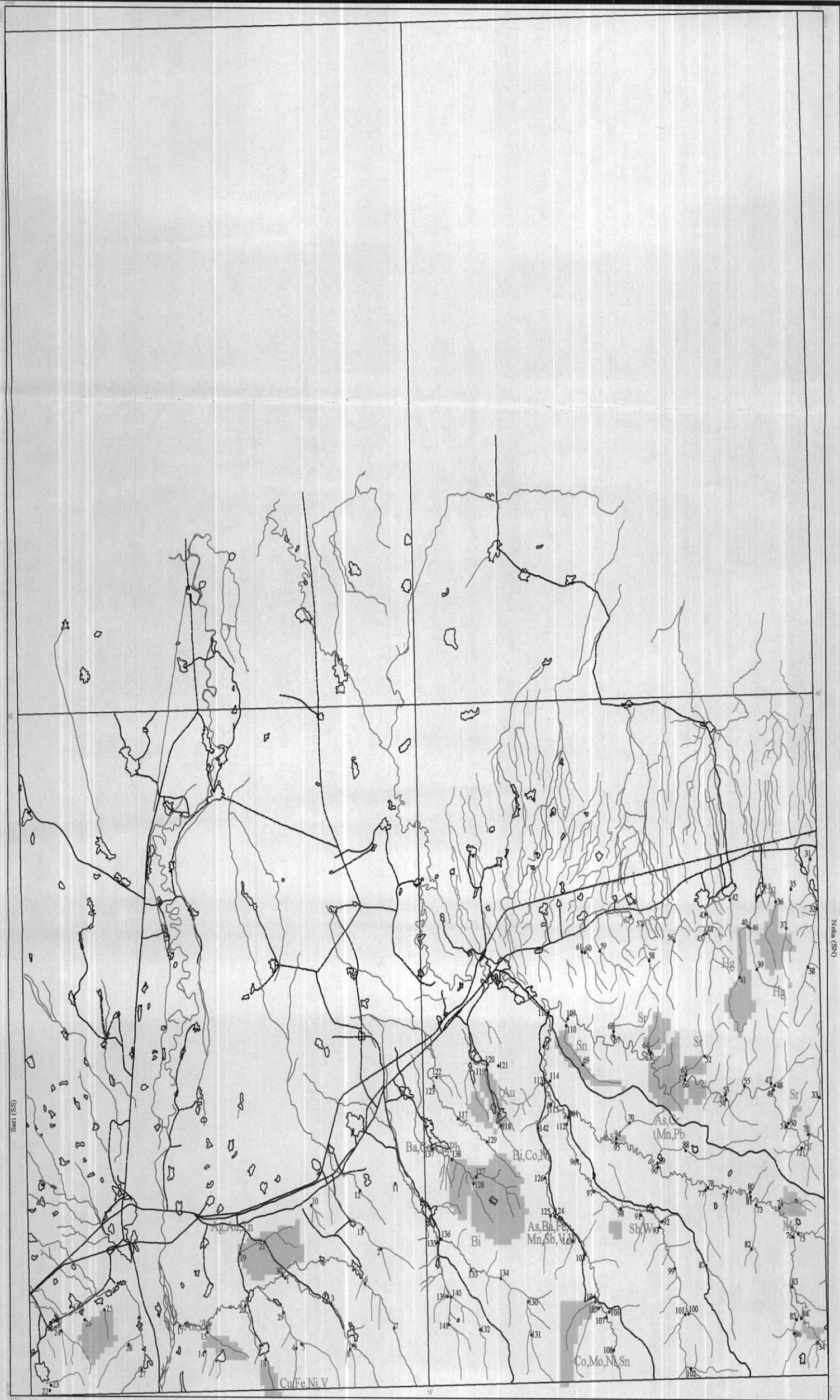
Factor Element	Anomaly	EI	Pn	Sum(1/P.N)	Paragenesis
<b>Sb</b>					
SS-19		0.99		171.09	Au+Ag+Mo+Pb+Sn+Zn
SN-124		0.91		76.51	
SN-119		0.95		76.80	Au+Mo
SN-104		1.09		305.83	
SS-15		1.10		152.95	Au+Mo+Zn
SN-71		0.60			Sr
SN-50		0.46			Sr
SN-64		0.55			Sr
SN-116		0.49			
SN-76		0.78		1.71	
SN-121	<2>	1.19		9.82	Ba+Bi+Cr+Fe+Sb
SN-65		0.77		136.04	
SN-113		0.59			
SN-55		0.66			
SN-38		1.03			
<b>Bi</b>					
SS-19		1.00		171.09	Au+Ag+Mo+Pb+Sn+Zn
SN-124		0.73		76.51	
SN-119		1.04		76.80	Au+Mo
SN-104		0.93		305.83	
SS-15		1.10		152.95	Au+Mo+Zn
SN-71		0.38			Sr
SN-50		0.42			Sr
SN-64		0.38			Sr
SN-116		0.46			
SN-113		0.39			
SN-76		0.67		1.71	
SN-65		0.68		136.04	
SN-55		0.60			
SN-95		0.50			
SN-121	<1>	1.24		9.82	Ba+Bi+Cr+Fe+Sb
<b>Hg</b>					
SS-19	<2>	1.39	13.07	171.09	Au+Ag+Mo+Pb+Sn+Zn
SN-124		0.70		76.51	
SN-119		1.14		76.80	Au+Mo
SN-104		1.13		305.83	
SS-15		0.97		152.95	Au+Mo+Zn
SN-71		0.85			Sr
SN-121		0.57		9.82	Ba+Bi+Cr+Fe+Sb
SN-50		0.88			Sr
SN-127		0.87		4.97	Bi+Co+Ni
SN-63		1.00		545.02	Sr
SN-64		0.77			Sr
SN-91		1.13		521.12	
SN-129	<2>	1.28			Bi+Co+Ni
SN-114		0.63		5.76	
SN-122		0.61		1.74	Co+Ni+Pb+W

**Table 6-3 : Comparision on Between Anomalous Samples Obtained From Two Methods.**

Factor Element	Anomaly	Ei	Pn	Sum(1/P.N)	Paragenesis
<b>W</b>					
SS-19		1.28		171.09	Au+Ag+Mo+Pb+Sn+Zn
SN-124		0.66		76.51	
SN-119		1.00		76.80	Au+Mo
SN-104		0.95		305.83	
SS-15		0.92		152.95	Au+Mo+Zn
SN-71		0.40			Sr
SN-50		0.70			Sr
SN-64		0.50			Sr
SN-116		0.36			
SN-113		0.39			
SN-65		0.80		136.04	
SN-76		0.82		1.71	
SN-95		0.45			
SN-55		0.80			
SN-38		0.80			
<b>Au</b>					
SN-104		0.88		305.83	
SN-71		0.41			Sr
SN-50		0.36			Sr
SN-64		0.39			Sr
SN-65		0.44		136.04	
SN-55		0.39			
SS-28		0.34			Co+Ni+Pb+W+Ba+Cr+Fe+V+Sb
SN-70		0.39			Sb
SS-22		0.39			As+V
SN-68		0.39		1.88	
SS-27		0.39			
SN-62		0.46			W
SN-110		0.53		97.98	
SN-63		1.00		545.02	Sr
SN-32		0.39			



*Fig. 6-14 : Top One Percent Area of Raw Data in Sari 1:100,000 Sheet*



N

*Fig. 6-15 : Top One Percent Area of E.I. of Data in Sari 1:100,000 Sheet*



Fig. 6-16 : Top One Percent Area of PCA , EI Data in Sari 1:100,000 Sheet

Fig. 6-17 : Distribution Map of  $I/(P_N)$  of Data in Sari 1:100,000 Sheet



10000 m  
5000 0 5000



Fig. 6-18 : Distribution Map of Correspondence Analysis Results  
in Sari 1:100,000 Sheet

N



## فصل هفتم

### فاز کنترل آنومالهای ژئوشیمیابی

#### ۱- مقدمه

در بررسیهای اکشافی در مقیاس ناحیه‌ای که به منظور کشف هاله‌های ثانویه کانسارها انجام می‌پذیرد. معمولاً ابتدا منطقه وسیعی تحت پوشش اکشاف ژئوشیمیابی قرار می‌گیرد. این عملیات منجر به کشف آنومالی‌های ظاهری در محیط‌های ثانوی می‌گردد. از آنجا که در روش‌های ژئوشیمیابی هر عنصر مستقیماً مورد اندازه‌گیری قرار می‌گیرد، توجهی به فاز پیدایش آن نمی‌شود. از این رو هاله‌های ثانوی کشف شده نمی‌توانند همیشه معرف کانی‌سازی باشند. بنابراین برای تمیز آنومالی واقعی که در ارتباط با پدیده‌های کانی‌سازی می‌باشد، از انواع دیگر که معمولاً در ارتباط با پدیده‌های سنگ‌زایی هستند باید از روش‌های متعددی استفاده کرد که شامل بررسی مناطق دگرسان شده، زون‌های میزان‌بیزه احتمالی، سیستم‌های پلمبینگ و بالاخره مطالعه نمونه‌های کانی سنگین در محدوده آنومالی‌های مقدماتی است. در بین روش‌های مختلف فوق مطالعات کانی سنگین به عنوان روشی که در آن فاز پیدایش یک عنصر مورد مطالعه قرار می‌گیرد، می‌تواند مفید واقع شود. بدینهی است پیدایش یک عنصر در فازهای مختلف ارزش متفاوتی دارد و برای پی بردن به ارزش‌های متفاوت پیدایش یک عنصر، نیاز به تمیز فاز پیدایش آن است. با توجه به نتایجی که از آنالیز کانی‌های سنگین بدست می‌آید، می‌توان هاله‌های ثانوی را به دو نوع تقسیم نمود:

#### ۱- هاله‌های ثانوی مرتبط با کانی‌سازی

#### ۲- هاله‌های ثانوی مرتبط با پدیده‌های سنگ‌زایی

در حالت اول کانی‌های مستقل یک عنصر معمولاً در جزء سنگین (تصویر فاز مستقل) یافت می‌شود. حال آنکه در حالت دوم پیدایش یک عنصر معمولاً به صورت ترکیب محلول جامد در ساختمان شبکه همراه با عناصر دیگر است. البته این حالت ممکن است استثناء نیز داشته باشد. بدینهی است که تحرک یک ذره کانی سنگین نسبت به تحرک یک یون بسیار کمتر است. هاله‌های ژئوشیمیابی ثانوی می‌تواند بمراتب بزرگتر از هاله کانی سنگین مربوط به همان عنصر باشد. بدین لحاظ برداشت نمونه‌های کانی سنگین در محدوده هاله‌های ژئوشیمیابی، می‌تواند مفید واقع شود. در این پژوهه برداشت نمونه‌های کانی سنگین بعنوان روشی برای کنترل آنومالی‌ها و جدا کردن انواع مرتبط با کانی‌سازی از سایر انواع، صورت پذیرفته است.

#### ۲- ردیابهای کانی سنگین

ارزش مشاهدات مربوط به کانی‌های سنگین ردیاب، بدان جهت که اغلب این کانی‌ها جزء کانی‌های فرعی سازنده سنگ هستند و ممکن است در مناطق غیر کانی‌سازی نیز یافت شوند، به اندازه عناصر

ردیاب نمی‌باشد ولی می‌تواند به عنوان معرفی برای حضور محیط و سنگ مناسب که احتمال وقوع کانی‌سازی در آن هست بکار رود؛ در زیر به عنوان مثال چند مورد ذکر می‌شود:

۱- طلا: حضور طلا در بخش تغليظ یافته کانی سنگین می‌تواند دلالت بر وجود مناطق اميد بخش باشد و در تعیین مناطق اميد بخش مؤثر واقع شود ولی نبود آن به علت خطای زیاد وابسته به نمونه برداری و آنالیز این روش ممکن است نتیجه عکس نداشته باشد. در نهشته‌های اپی‌ترمال دانه‌ریز به ندرت ممکن است طلا در نمونه تغليظ شده کانی سنگین معمولی یافت شود. در صورت پیدايش و همراهی آن با سینیابر و استینیت، اهمیت منطقه اکتشافی دو چندان می‌شود.

۲- باریت: باریت بصورت گانگ در بسیاری از کانسارهای فلزات پایه وجود دارد. وجود آن در بخش تغليظ یافته کانی سنگین، دلالت بر وجود احتمالی چنین نهشته‌هایی است. از آنجا که هاله‌های آن نسبتاً وسیع است، می‌تواند بسیار مفید واقع شود. این کانی در کانسارهای تیپ ماسیوسولفاید با میزان شیلی، به وفور یافت می‌شود. ممکن است وجود آن معرف وجود کانی‌سازی باریت لایه‌ای و یا رگه‌ای باشد.

۳- تورمالین: این کانی ممکن است در سنگ‌های مختلف شامل سنگ‌های ماگمایی، متامورفیک، رسوبی تخریبی و به صورت محصولات آتراسیون هیدروترمال یافت شود. پیدايش تورمالین در بعضی از مجموعه‌های پاراژنزی مانند مولیبدنیت، ارسنیپیریت و فلورین می‌تواند به تعیین دقیق‌تر مناطق اميد بخش کمک نماید. شواهد چندی نشان داده است که تورمالین‌های غنی از Mg می‌تواند به عنوان ردیاب کانسارهای تیپ ماسیوسولفایدی بکار رود.

### ۳- بزرگی هاله‌های کانی سنگین

عوامل مؤثر در توسعه هاله‌های کانی سنگین (بطرف پایین دست) تابع عوامل زیر است:

۱- ترکیب و بزرگی رخنمون در ناحیه منبع

۲- تغییرات شیمیایی که در ناحیه منبع رخ می‌دهد: بعضی از کانی‌ها در مقابل فرسایش شیمیایی مقاوم و بعضی نامقاوم‌مند. این امر در خرد شدن کانی‌ها و مسافت حمل و نقل آنها بسیار مؤثر است.

۳- خواص مکانیکی کانی‌ها و تغییرات مکانیکی در محیط انتقال و رسوب گذاری: بعضی از کانی‌ها در مقابل فرسایش مکانیکی مقاوم و بعضی نامقاوم بوده و خرد می‌شوند. تعدادی از این عوامل بستگی به شرایط آب و هوایی و ژئومورفولوژی محیط دارد. بدین جهت مسافت‌های حمل و نقل گزارش شده برای کانی‌های مختلف متفاوت می‌باشد. برای مثال در مورد طلا و ولفرامیت هاله‌های بطول چند ده کیلومتر ثبت گردیده است. در مواردی که رخنمون منبع کوچک باشد، این فواصل ممکن است تا چند کیلومتر کاهش یابد. در چنین مواردی ممکن است مقدار بعضی از کانی‌های سنگین در رسوبات در یک کیلومتر اول مسیر تا ۹۰ درصد کاهش یابد. بنابراین بهتر است محل نمونه‌های کانی سنگین نسبت به منبع احتمالی

آن چندان دور نباشد. در این پروژه انتخاب محل نمونه‌های کانی سنگین بنحوی صورت گرفته است که حتی الامکان کانی‌سازی‌های احتمالی موجود در منطقه در این نمونه‌ها منعکس گردد.

#### ۴- نمونه برداری کانی سنگین، زون‌های منیرالیزه و آلتره احتمالی

برای برگه  $1:100$ ،  $1:1000$  ساری، در محدوده آنومالی‌های ژئوشیمیایی اقدام به برداشت و مطالعه  $32$  نمونه کانی سنگین در محدوده آنومالی‌های مقدماتی گردیده است. نقشه شماره  $1$  محل نمونه‌های کانی سنگین را برای برگه  $1:100$ ،  $1:1000$  ساری نشان می‌دهد. داده‌های خام کانی سنگین (تبدیل شده به ppm) بر روی لوح فشرده<sup>۱</sup> همراه گزارش آورده شده است.

#### ۵- نکاتی در مورد محل، چگالی و وزن نمونه‌های کانی سنگین

برای اکتشافات ناحیه‌ای (کوچک مقیاس)، که در آن برداشت کانی سنگین به عنوان یک روش اکتشافی مستقل استفاده می‌شود رودخانه‌های بزرگ با حوضه آبریز وسیع مناسب‌تر هستند، زیرا محدودیت تعداد نمونه در آنها بر طرف می‌گردد. ولی در این پروژه با توجه به اینکه برداشت نمونه‌های کانی سنگین جهت کنترل آنومالی‌های ژئوشیمیایی صورت گرفته است، این نمونه‌ها حوضه‌های آبریز کوچکی را پوشش می‌دهند.

هر نمونه کانی سنگین از چند محل که احتمال تمرکز کانی سنگین در آن بیشتر بوده (تله کانی سنگین) برداشت شده است. در چنین مکان‌هایی ذرات شن و یا ماسه بیشتر حضور دارند. در مناطقی که نسبتاً مرتفع و برف‌گیر و در نتیجه فرسایش شیمیایی شدیدتر بوده، پیدایش چنین محل‌هایی کمتر بوده و در نتیجه نمونه‌های کانی سنگین با وزن بیشتر از بخش ماسه‌ای - سیلتی - رسی برداشت گردیده است. در محیط‌های جنگلی نیز بعلت ضخامت زیاد هموس و فرسایش زیاد سعی به برداشت نمونه‌های بین  $20$  تا  $30$  کیلوگرم از رسوبات رودخانه گردیده است و در آخردر مناطقی هم که رسوبات قابل سرنده کردن نبوده است، نمونه‌های  $20$  تا  $30$  کیلوگرمی برداشت گردیده است.

چگالی نمونه برداری کانی سنگین، علاوه بر سقف بودجه، عمدتاً تابع مساحتی است که باید با استفاده از این روش تحت ارزیابی قرار گیرد. از آنجا که در این پروژه مناطق تحت بررسی کانی سنگین محدود به زون‌های آنومالی ژئوشیمیایی مقدماتی بوده است، بزرگی هاله پراکندگی ژئوشیمیایی از قبل مشخص شده و در نتیجه نمونه‌های کانی سنگین متعلق به هر برگه  $1:50,000$  در چنین زون‌هایی تقسیم شده است. در این تقسیم بندی فرض بر آن بوده است که برای هر حوضه آبریز با مساحت بک یا چند کیلومتر مربع، یک یا دو نمونه کافی بوده است. علاوه بر موارد فوق، شدت آنومالی‌های ژئوشیمیایی و نیز تعداد عناصر در پاراژنر ژئوشیمیایی نیز در این تقسیم بندی مؤثر واقع شده است. تحت شرایط یکسان از مساحت

حوضه‌های آبریز، اولویت بیشتر به حوضه‌های آبریزی داده شده است که شدت آنومالی ژئوشیمیایی آن بیشتر بوده و یا تعداد عناصر در پاراژنر ژئوشیمیایی بیشتر بوده است. وزن نمونه کانی سنگین بسته به هدف مورد نظر تغییر می‌کند. در این پروژه در شرایط مساعد آن مقدار از رسوب رودخانه که لازم است برداشت شود تا پس از الک کردن (زیر آب) حدود ۲ لیتر از جزء ۲۰-مش حاصل گردد، برداشت شده و در محل الک گردیده است. این الک کردن اولیه در روی زمین موجب کاهش وزن نمونه (حدود ۴ کیلو) و سهولت حمل و نقل و شستشوی آن می‌گردد. اما با توجه به شرایط جنگلی و نوع سنگهای منطقه معمولاً الک کردن نمونه وقت بسیار زیادی را می‌گیرد، لذا در این موارد نمونه‌ای الک نشده و به وزن حدود ۳۰ کیلوگرم برداشت و به کمپ حمل شده است.

#### ۴-۲- معرفی مناطق آنومال و نمونه‌های برداشت شده کانی سنگین و مینرالیزه

در بخش حاضر به تشریح مناطق آنومال ژئوشیمیایی در برگه ۱:۱۰۰ ساری می‌پردازیم و در هر آنومالی در صورتی که نمونه مینرالیزه یا کانی سنگین و... برداشت شده باشد، شماره و مشخصات لازم نمونه‌ها ارائه گردیده است؛ و در صورتی که آنومالی مربوطه در فاز کترل آنومالی‌ها، کترول شده باشد، خلاصه‌ای از مشاهدات صحراایی که در مدل سازی آنومالی‌ها بکار رفته است، ارائه شده است. لازم به ذکر است که مختصات جهانی نمونه‌های برداشت شده در جدول ضمیمه (بر روی CD) آورده شده است.

#### آنومالی شماره ۱

محدوده این آنومالی در برگه ۵۰،۰۰۰:۱ نکاء در جنوب روستاهای کوهستان و تروجن واقع شده است. واحدهای سنگی این منطقه عبارتند از: سنگ آهک دولومیتی و سنگ آهک (ژوراسیک) و رسوبات لسی کواترنر. نمونه‌های ژئوشیمیایی با شماره‌های ۴۶.۴۰.۳۷.۳۶.۳۲ آنومالی عناصر Pb, Co, Au, Mn, Sr, Bi, Cu, Hg را در این منطقه معرفی می‌کند. نمونه‌های کانی سنگین با شماره‌های ۳۷.۳۶.۳۲ و ۴۰ در فاز کترل این آنومالی برداشت گردید که نسبت به کانیهای منیتیت، باریت، گوتیت، پیرویت، هماتیت، لوکوکسن، سرب آزاد و لیمونیت آنومال می‌باشند.

#### آنومالی شماره ۲

محدوده مربوط به این منطقه آنومال در برگه ۵۰،۰۰۰:۱ نکاء و در جنوب روستای رستم کلا در میان واحدهای سنگی شامل سنگ آهک دولومیتی و سنگ آهک (ژوراسیک) و رسوبات لسی کواترنر واقع شده است. نمونه‌های ژئوشیمیایی با شماره‌های ۴۴ و ۵۶ آنومالی عناصر W, Hg, Sb, Bi, As و Hg آنومالی درجه ۲ عنصر طلا را در این محدوده معرفی می‌کنند. نمونه‌های کانی سنگین به شماره‌های ۴۵ و ۵۶ از این منطقه برداشت گردیده‌اند که در برگیرنده کانیهای باریت، گوتیت، هماتیت، لیمونیت، لوکوکسن، پیرویت، مارکاسیت و سرب آزاد در حد آنومال می‌باشند.

### آنومالی شماره ۳

محدوده این آنومالی در برگه ۵۰،۰۰۰:۱ نکاء در منطقه جنوبی روستای کمیشان و کلت در میان واحدهای سنگی شامل سنگ آهک دولومیتی و سنگ آهک (ژوراسیک) و رسوبات لسی کواترتر قرار گرفته است. نمونه‌های ژئوشیمیایی با شماره‌های ۶۰، ۶۲، ۵۹ و ۶۱ نسبت به عناصر Bi, Fe, Cr, Pb, Co, W غنی شدگی نشان داده‌اند. نمونه‌های کانی سنگین با شماره‌های ۵۹ و ۶۲ نیز حاوی کانیهای Cu و Ni می‌باشند که از این مقادیر کانیهای هماتیت، لوکوکسن، لیمونیت، منیتیت، گالن، پیریت، آندالوزیت، سرب آزاد و بروکیت در حد آنومالی می‌باشند. همچنین مقادیر قابل توجهی ملاکیت و بیشترین مقدار آزوریت در میان نمونه‌های کانی سنگین برداشت شده در این منطقه گزارش گردیده است.

### آنومالی شماره ۴

این آنومالی در برگه ۵۰،۰۰۰:۱ نکاء در محدوده روستای جام خانه در میان واحدهای سنگی شامل کنگلومرا، مارن، مارن سیلتی (باسن پلیوسن)، ماسه سنگ آهکی و سنگ آهک ماسه‌ای (باسن میوسن) واقع شده است. نمونه‌های ژئوشیمیایی با شماره‌های ۱۲۲، ۱۳۸، ۱۲۳، ۱۱۷، ۱۲۷، ۱۲۹ که از این منطقه برداشت شده‌اند آنومالی عناصر Bi, Ag, W, Pb, Sr, Co, Ba و آنومالی درجه ۲ عنصر طلا را معرفی کرده‌اند. چهار نمونه کانی سنگین با شماره‌های ۱۲۲، ۱۱۷، ۱۲۹ و ۱۲۷ نیز از این محدوده برداشت گردید که نسبت به کانیهای باریت، پیریت اکسیده، گوتیت، هماتیت، لوکوکسن، منیتیت، اولیزیست، پیریت، ملاکیت، آزوریت، لیمونیت، مارکاسیت و مس آزاد در حد آنومال می‌باشند. نمونه کانی سنگین با شماره ۱۱۷ حاوی مقادیر بسیار زیادی از کانیهای کلریت و آندالوزیت می‌باشد.

### آنومالی شماره ۵

محدوده این آنومالی در برگه ۵۰،۰۰۰:۱ نکاء در دره روستای قلعه سر در میان واحدهای سنگی شامل کنگلومرا، مارن و مارن سیلتی (باسن پلیوسن) واقع شده است. نمونه‌های ژئوشیمیایی با شماره‌های ۱۱۹، ۱۱۸ و ۱۲۱ آنومالی عناصر Au, Sb, Fe, Cr, Bi, Ba, Mo, Hg را در این منطقه معرفی می‌کنند. یک نمونه کانی سنگین به شماره ۱۱۹ در فاز کترول این آنومالی برداشت شد که حاوی مقادیری از کانیهای طلا، پیریت اکسیده، باریت، منیتیت، لیمونیت، ژاروییت، هماتیت و اوریبیمنت می‌باشد.

### آنومالی شماره ۶

این آنومالی در برگه ۵۰،۰۰۰:۱ نکاء در محدوده شرق روستای بالازرندین و دره آب معدنی گرمز واقع شده است. واحدهای سنگی این منطقه عبارتند از: سنگ آهک دولومیتی و سنگ آهک (ژوراسیک). نمونه‌های ژئوشیمیایی با شماره‌های ۹۴ و ۷۰ آنومالی عناصر Sb, As, Bi, W, Cr, Fe, V, Ni, Co, Mn و آنومالی درجه ۲ عنصر Hg, Mo, Sn را در این منطقه معرفی کردند.

(ژوراسیک). نمونه های ژئوشیمیایی با شماره های 94 و 70 آنومالی عناصر Hg, Mo, Sn, As, Bi, W, Cr, Fe, V, Ni, Co, Mn و آنومالی درجه ۲ عناصر Sb, As, Bi, W, Cr, Fe, V, Ni, Co, Mn می کنند. دو نمونه کانی سنگین با شماره های 70 و 94 از این محدوده برداشت گردید که حاوی کانیهای طلا، پیریت، هماتیت، باریت، گوتیت، گالن، مس آزاد، لوکرکسن، لیمونیت، منیت و پیریت اکسیده می باشند. (نمونه کانی سنگین H - 94 حاوی بیشترین مقدار کانی طلا در بین نمونه ها می باشد).

#### آنومالی شماره ۷

این آنومالی در برگه ۱:۵۰,۰۰۰ نکاء در منطقه جنوبی روسیای داراب کلا و در میان واحدهای سنگی شامل کنگلومرا، مارن، مارن سیلتی (پلیوسن)، ماسه سنگ آهکی و سنگ آهک ماسه ای (مریبوط به میوسن) قرار گرفته است. نمونه های ژئوشیمیایی با شماره های 136، 135، 134، 133، 139، 140 و 141 از این محدوده برداشت شده اند که نسبت به عناصر Mo, Fe, Cu, Cr, V, As, W آنومال می باشند. نمونه های کانی سنگین با شماره های 136، 134، 139، 140 از این محدوده برداشت گردیده اند که حاوی مقادیر معنابهی از کانیهای هماتیت، منیت، گوتیت، پیریت اکسیده، پیریت، لیمونیت، گالن و مارکاسیت می باشند. لازم به ذکر است بالاترین مقدار کانیهای ملاکیت و باریت و همچنین مقادیر معنابهی از کانیهای سلسیتین، آپاتیت، آندالوزیت، کرومیت و گارنت در میان این نمونه ها گزارش شده است.

#### آنومالی شماره ۸

محدوده مریبوط به این آنومالی در برگه ۱:۵۰,۰۰۰ نکاء در منطقه جنوبی روسیای کوهساکنده در میان رخنمونهای سنگی شامل مارن، ماسه سنگ آهکی، سنگ آهک ماسه ای و کنگلومرا (میوسن) واقع شده است. نمونه ژئوشیمی با شماره 104 آنومالی عناصر Sn, Mo, Ni و Ag را در این منطقه معرفی می کند. نمونه کانی سنگین با شماره 104 نیز حاوی مقادیری از کانیهای باریت، منیت، لوکرکسن، هماتیت، لیمونیت و ملاکیت می باشد.

#### آنومالی شماره ۹

این آنومالی در برگه ۱:۵۰,۰۰۰ ساری در منطقه شرق آب بندان سر، بعد از بیمارستان معمولین ساری در میان واحدهای سنگی شامل کنگلومرا، مارن و مارن سیلتی (پلیوسن) واقع گردیده است. نمونه ژئوشیمیایی با شماره های 19 آنومالی عناصر Zn, Cr, Fe, Sb, Sn, Pb, Mo, Ag, Au, Hg را در این منطقه معرفی می کند. یک نمونه کانی سنگین به شماره 19 از این محدوده برداشت گردید که حاوی مقادیری از کانیهای باریت، هماتیت، لوکرکسن، لیمونیت، منیت، فلوریت و مارکاسیت و همچنین مقادیر معنابهی از کانیهای آمفیبول و ویویت می باشد.

## آنومالی شماره ۱۰

این آنومالی در برگه ۱:۵۰,۰۰۰ ساری در درجه رostای مرمت در میان رخنمونهای لیتلوزیکی شامل کنگلومرا، مارن و مارن سیلیتی (پلیوسن) واقع شده است. نمونه های ژئوشیمیابی با شماره های ۲۰, ۱۵, ۱۵ آنومالی عناصر Sb, Ni, Cu, Bi, Zn, Mo, Au را در این منطقه معرفی می کند. نمونه کانی سنگین با شماره ۱۵ حاوی کانیهای باریت، مینیت، هماتیت، لوکوکسن، لیمونیت، پیریت، سرب آزاد و مارکاسیت می باشد. همچنین مقادیر قابل ملاحظه ای از کانیهای آمفیبولیت و بیوتیت را در بر دارد.

## آنومالی شماره ۱۱

محدوده این آنومالی در گوشه جنوب غربی برگه ۱:۵۰,۰۰۰ ساری در جنوب ساری و محدوده رostاهای تلویاغ و بالادزا و آهو دشت در میان واحدهای سنگی شامل کنگلومرا، مارن و مارن سیلیتی (پلیوسن) قرار گرفته است. نمونه های ژئوشیمیابی با شماره های ۲۵, ۲۶, ۲۴, ۲۳, ۲۵, ۲۶, ۲۷ و ۲۸ آنومالی عناصر V, Ni, Fe, Cr, Ba, Sb, Sn, Pb, Mn, Co, Zn, As, Au بالاترین مقدار کانیهای مس آزاد و لوکوکسن و مقادیر قابل توجهی از کانیهای آمفیبولیت، بیوتیت، آناتاز و آپیدوت در میان این نمونه ها گزارش شده است.

## آنومالی شماره ۱۲

محدوده این آنومالی در برگه ۱:۵۰,۰۰۰ نکاء در جنوب رostای چلمردی و در میان رخنمونهای لیتلوزیکی شامل مارن، ماسه سنگ آهکی، سنگ آهک ماسه ای و کنگلومرا (میوسن) قرار گرفته است. نمونه های ژئوشیمیابی ۹۱, ۱۲۴ آنومالی عناصر W, Bi, As, Fe, Cr, Mn, Au, Sb و آنومالی درجه ۲ عناصر Ni, V, Co, Fe, Mn, Cr, Fe, Bi, As, و آنومالی درجه ۱۲۴ از این منطقه برداشت شده است که نسبت به کانیهای لیمونیت، لوکوکسن، هماتیت، پیریت اکسیده، اوپیزیست، مینیت، باریت و پیریت غنی شدگی دارند.

## آنومالی شماره ۱۳

این آنومالی در برگه ۱:۵۰,۰۰۰ نکاء در محدوده رostای سه کیله و در میان واحدهای سنگی شامل مارن، ماسه سنگ آهکی، سنگ آهک ماسه ای و کنگلومرا (میوسن) قرار گرفته است. نمونه های ژئوشیمیابی ۸۸, ۸۹ آنومالی عناصر Ag, Pb, Zn, As, Sb, Bi, W, Cr, Fe, Ni, V, Co, Cu و آنومالی درجه ۲ عناصر Au, Mn, Hg را در منطقه معرفی می کند. نمونه های کانی سنگین با شماره های ۸۸, ۸۹ از این منطقه

برداشت شد که نسبت به کانیهای پیریت اکسیده، هماتیت، لوکوکسن، لیمونیت، منیت، گالن و پیریت غنی شدگی نشان داده اند. و همچنین حاوی مقادیر قابل ملاحظه ای آمفیولیت، گوتیت و آپاتیت می باشد.

#### آنومالی شماره ۱۴

محدوده این آنومالی در برگه ۱:۵۰،۰۰۰ نکاء در دره روستای درویش خیلک قرار گرفته است. واحدهای سنگی این منطقه عبارتند از : مارن، ماسه سنگ آهکی، سنگ آهک ماسه‌ای و کنگلومرا(میوسن) نمونه ژئوشیمیابی ۷۴ آنومالی درجه ۲ عناصر Mo, Sn را در این منطقه معرفی کرده است. نمونه کانی سنگین با شماره ۷۴ نیز از این محدوده برداشت شده است که حاوی کانیهای هماتیت، لوکوکسن، لیمونیت، منیت، پیریت اکسیده، گالن، پیریت و سرب آزاد و همچنین مقادیر بالایی از کانیهای گوتیت و آپاتیت می باشد.

#### آنومالی شماره ۱۵

محدوده این آنومالی در برگه ۱:۵۰،۰۰۰ نکاء در شمال روستای ملاخیل و در میان واحدهای سنگی شامل مارن، ماسه سنگ آهکی، سنگ آهک ماسه‌ای و کنگلومرا (میوسن) قرار گرفته است. نمونه های ژئوشیمیابی ۸۴,۳۴ آنومالی عناصر Hg, Co را در این محدوده نشان داده اند. نمونه کانی سنگین با شماره ۸۴ از این محدوده برداشت شده است که در برگیرنده مقادیر بالایی از کانی های پیریت اکسیده، گوتیت، آمفیولیت، لیمونیت، سلسیتین و مالاکیت و مقادیری از کانیهای منیت و هماتیت می باشد.

## ۵- پردازش داده‌های کانی سنگین

### ۱- رسم هیستوگرام‌ها

در جوامع کانی سنگین مورد مطالعه بعضی متغیرها دارای تعداد مشاهدات بسیار کم (متغیرهایی که دارای یک یا دو مشاهده هستند) بوده و در برخی دیگر نیز که دارای تعداد مشاهدات کافی می‌باشند، بدلیل کیفی بودن بررسی‌ها (اکثراً  $Pts$ )، این مشاهدات یکسان در نظر گرفته شده (با تقریب) و در پی این امر هیستوگرام این متغیر به صورت تکستونی در می‌آید که از لحاظ آماری فاقد ارزش جهت بررسی می‌باشد. لذا تنها برای متغیرهای فاقد مشکلات فوق اقدام به رسم هیستوگرام شده که می‌توان آنها را در اشکال ۷-۲۴ الی ۷-۲۶ مشاهده نمود. (داده‌های خام بر روی  $CD$  آورده شده است).

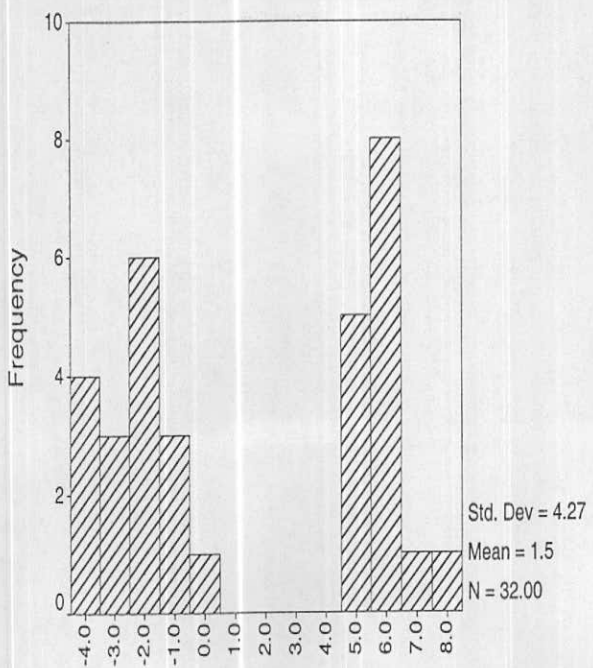
جهت رسم این هیستوگرام‌ها از لگاریتم طبیعی مقادیر مشاهده شده استفاده شد.

برخی متغیرهای کانی سنگین دارای خصلت دومدی هستند. منیتیت، هماتیت، لیمونیت، پیروکسن و آمفیبول ویژگی دو مدلی را به خوبی در خود نشان می‌دهند. در مورد کانی‌های سنگ ساز این چند جامعه بودن مرتبط با تعییرات لیتلولوژی است در حالی که در مورد منیتیت، هماتیت و لیمونیت این تعییرات محتملاً مرتبط با وجود مناطق آنومال از منیتیت، هماتیت و لیمونیت در برگه می‌باشد.

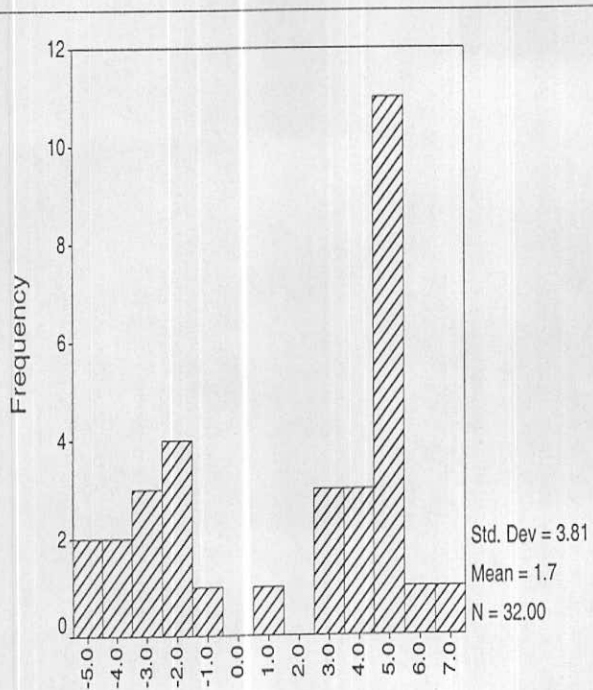
در مطالعات نمونه‌های کانی سنگین برگه ۱:۱۰۰۰۰ ساری، بعلت اینکه تعداد نمونه‌ها در حد کافی برای پردازش‌های آماری نبوده است و همه این نمونه‌ها نیز حاوی کانی‌های بالارزش نبوده است. در نتیجه در این مورد آنالیز کلاستر برای نمونه‌ها صورت نگرفته است.

تمام نمونه‌های کانی سنگین و مقادیر کانی‌های مشاهده شده در آنها در سه نقشه جداگانه بصورت نقشه‌های نمادین آورده شده است. (آلبوم نقشه‌ها، نقشه‌های ۱۳، ۱۴ و ۱۵)

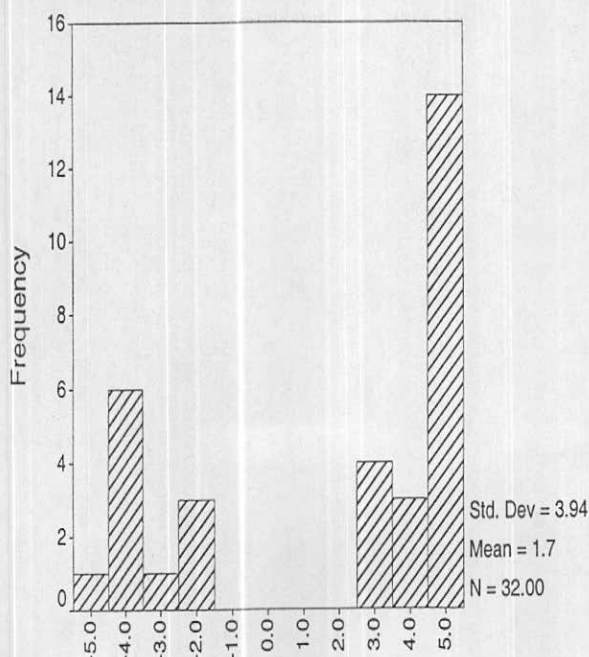
کتابخانه سازمان زمین‌شناسی  
اکتبر ۱۹۸۷ مولده کشور



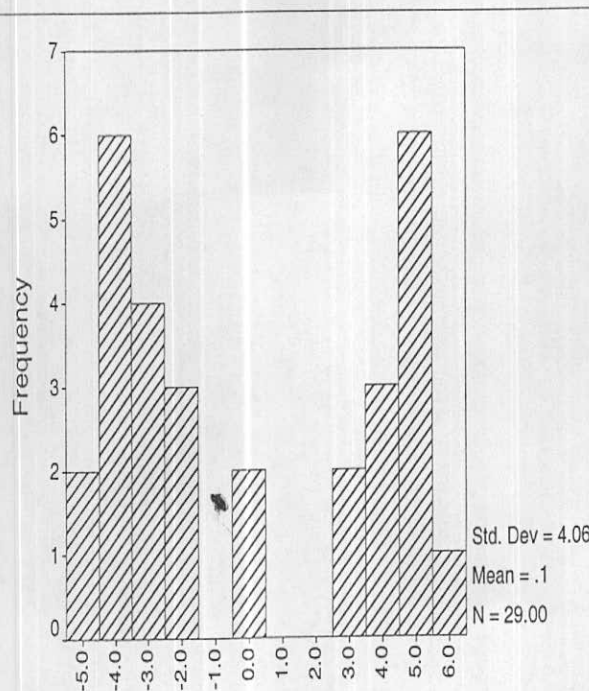
Fig(7-1):Histogram of Heavy Mineral Variable (LN MAGNETITE)



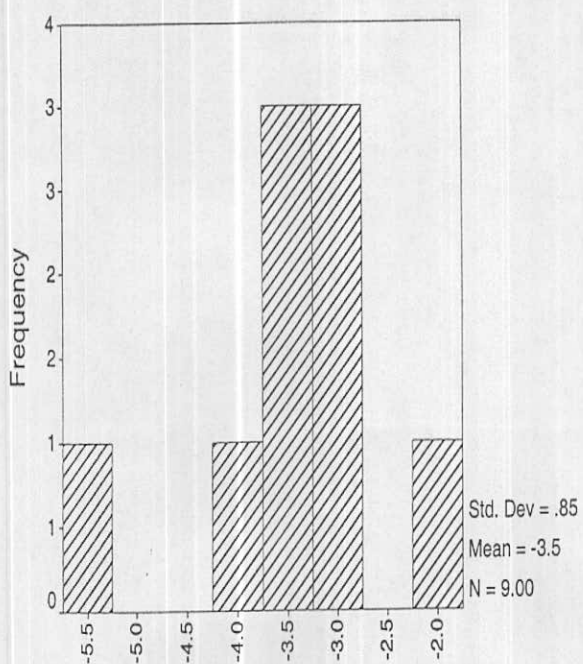
Fig(7-2):Histogram of Heavy Mineral Variable (LN HEMATITE)



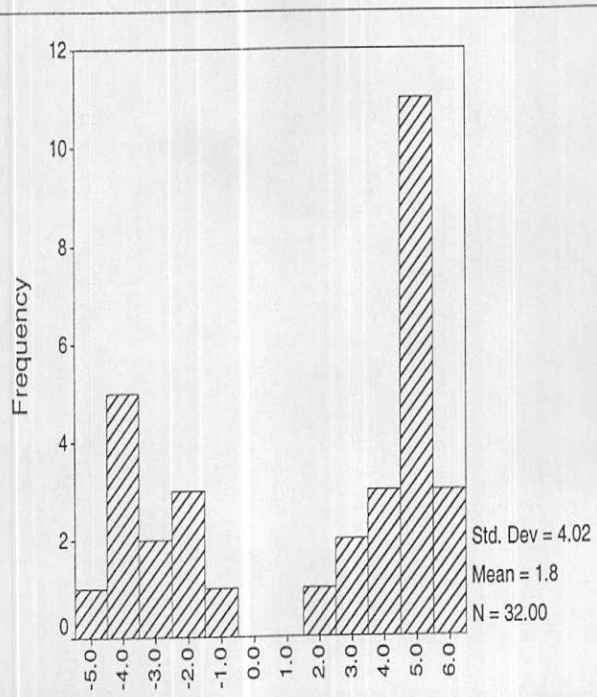
Fig(7-3):Histogram of Heavy Mineral Variable (LN PYROXENES)



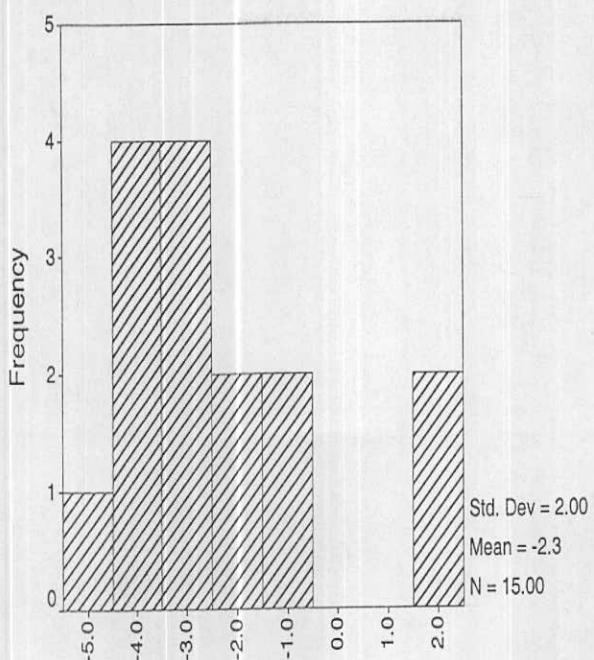
Fig(7-4):Histogram of Heavy Mineral Variable (LN AMPHIBOLES)



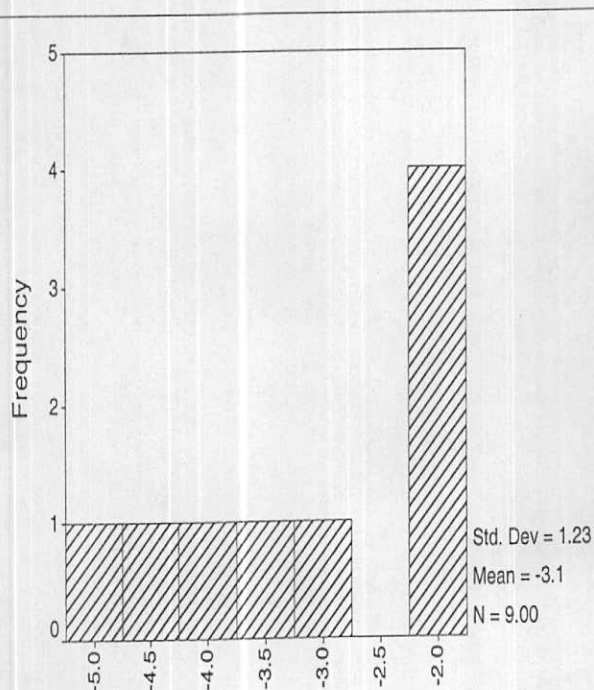
Fig(7-5):Histogram of Heavy Mineral Variable (LN BIOTITE)



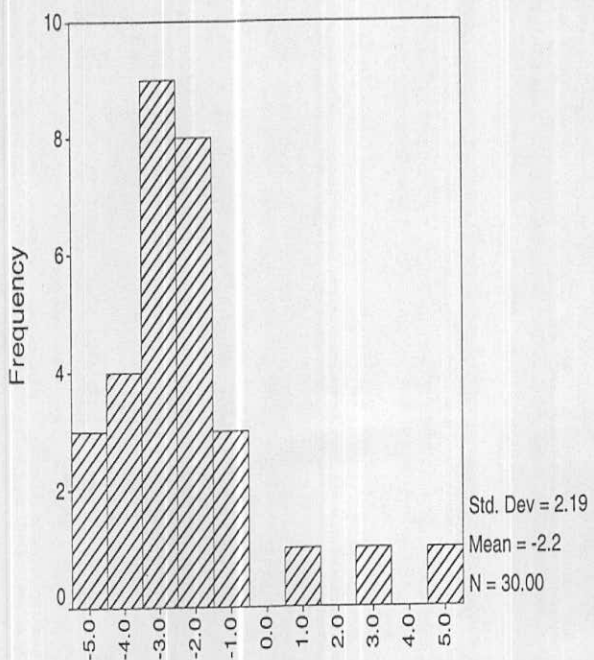
Fig(7-6):Histogram of Heavy Mineral Variable (LN LIMONITE)



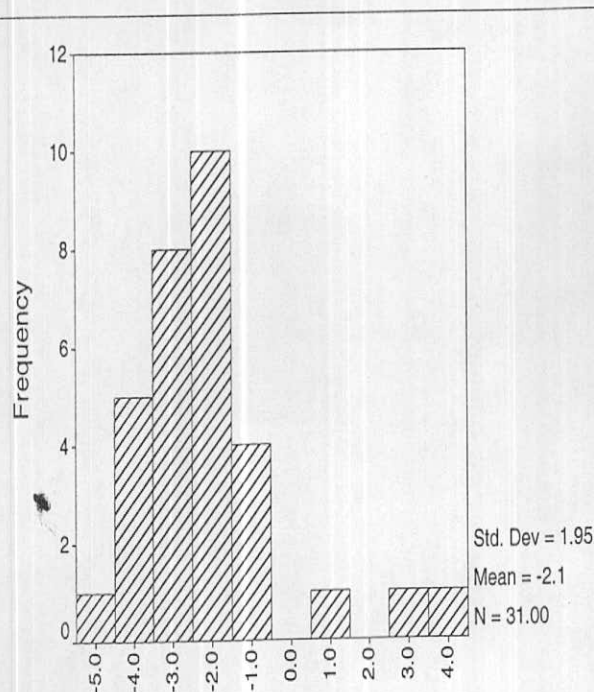
Fig(7-7):Histogram of Heavy Mineral Variable (LN PYRITE\_OX)



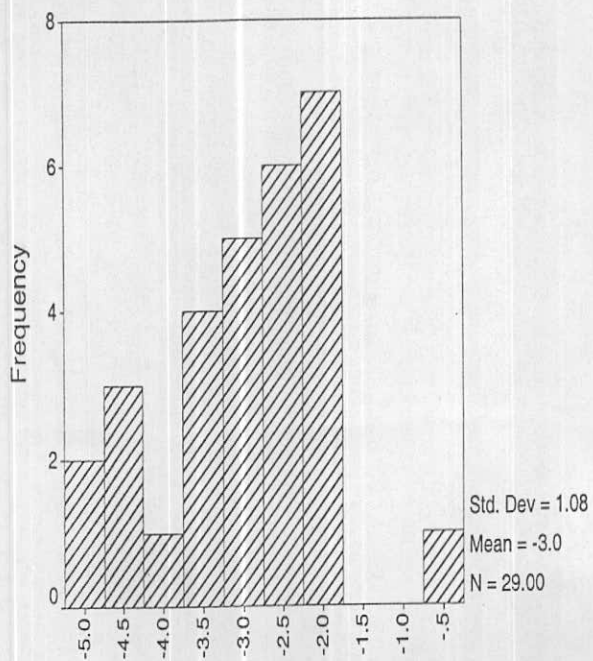
Fig(7-8):Histogram of Heavy Mineral Variable (LN GOETHITE)



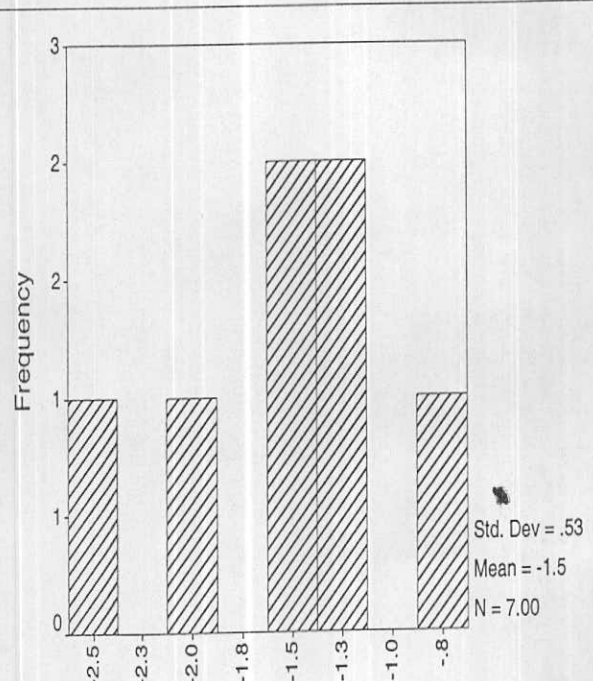
Fig(7-9):Histogram of Heavy Mineral Variable (LN ZIRCON)



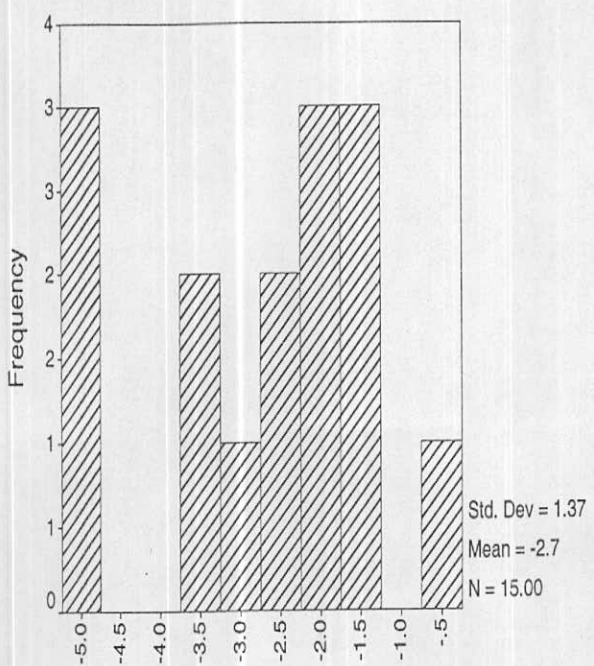
Fig(7-10):Histogram of Heavy Mineral Variable (LN APATITE)



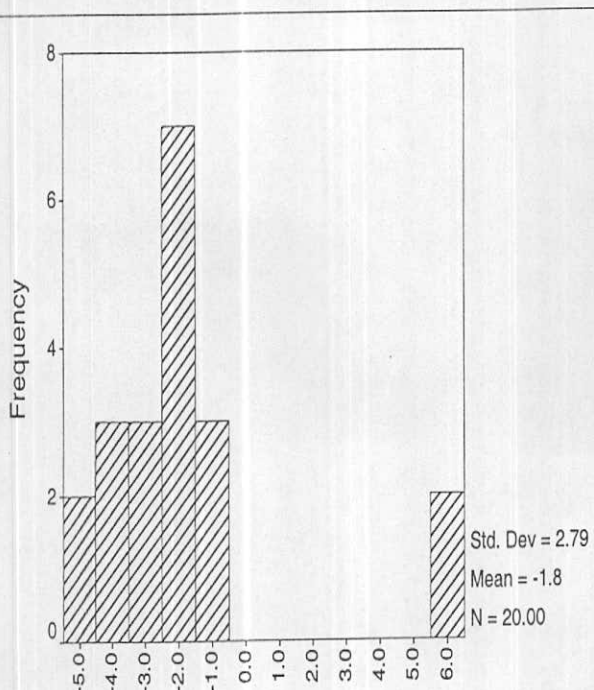
Fig(7-11):Histogram of Heavy Mineral Variable (LN RUTILE)



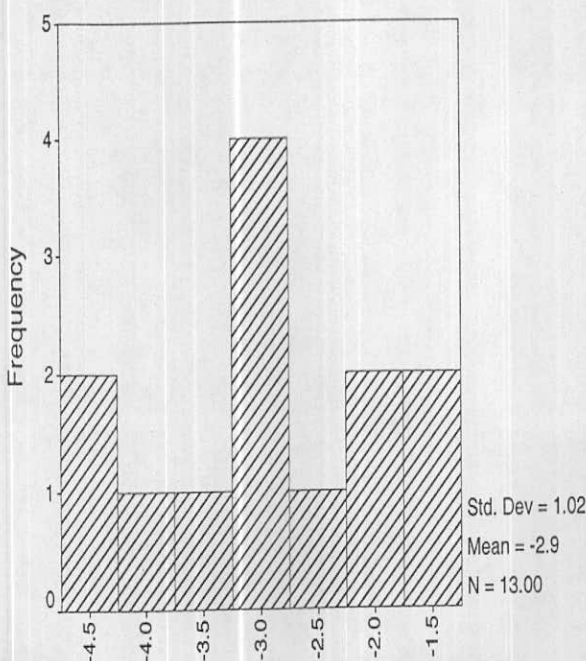
Fig(7-12):Histogram of Heavy Mineral Variable (LN GALENA)



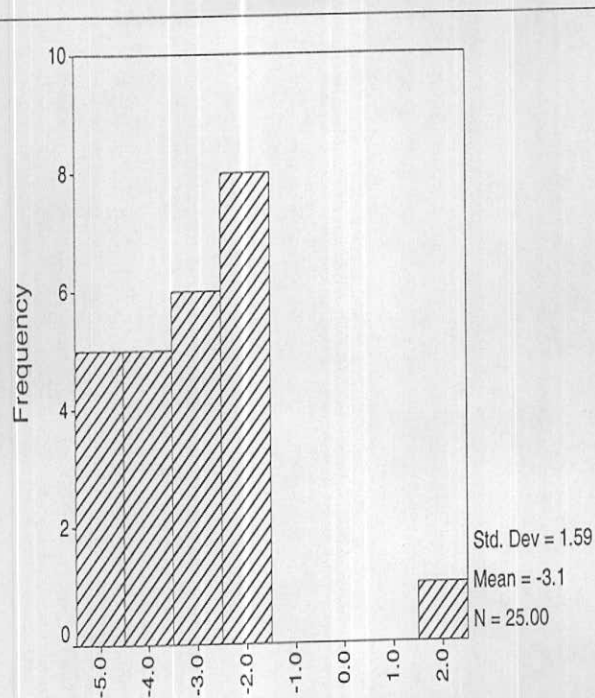
Fig(7-13):Histogram of Heavy Mineral Variable (LN PYRITE)



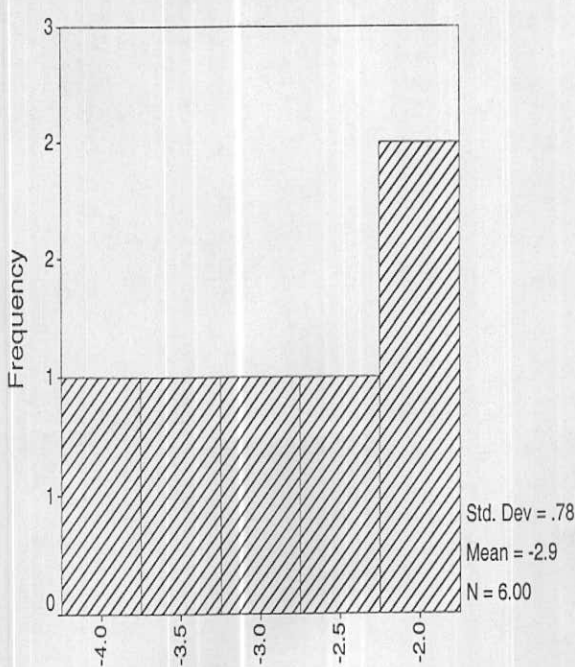
Fig(7-14):Histogram of Heavy Mineral Variable (LN BARITE)



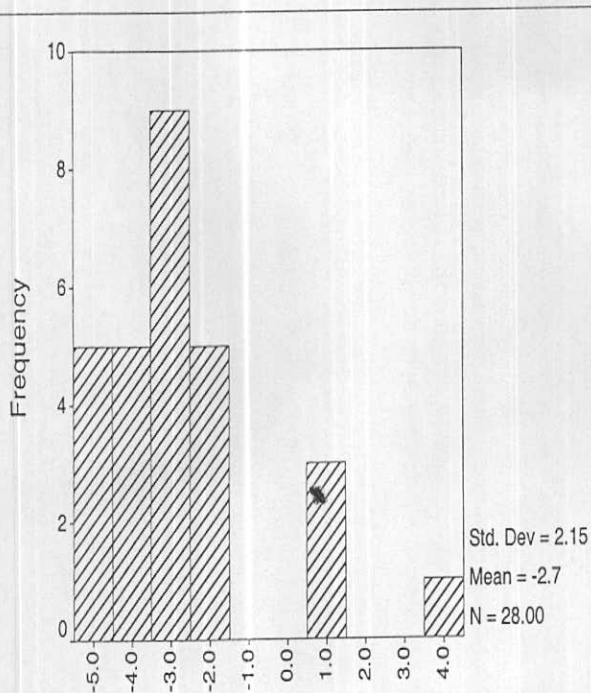
Fig(7-15):Histogram of Heavy Mineral Variable (LN ANATASE)



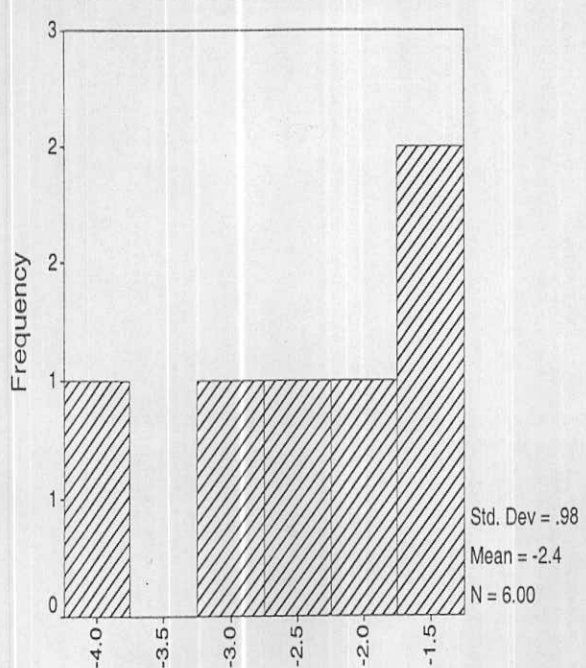
Fig(7-16):Histogram of Heavy Mineral Variable (LN SPHENE)



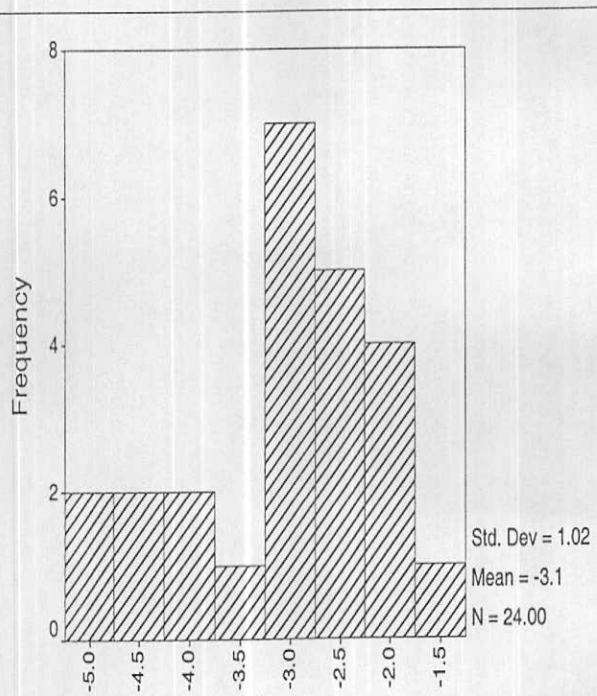
Fig(7-17):Histogram of Heavy Mineral Variable (LN MALACHITE)



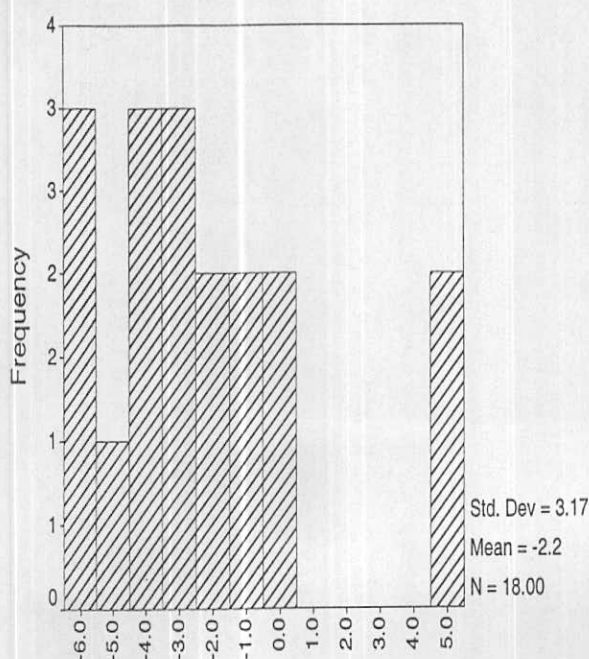
Fig(7-18):Histogram of Heavy Mineral Variable (LN EPIDOTS)



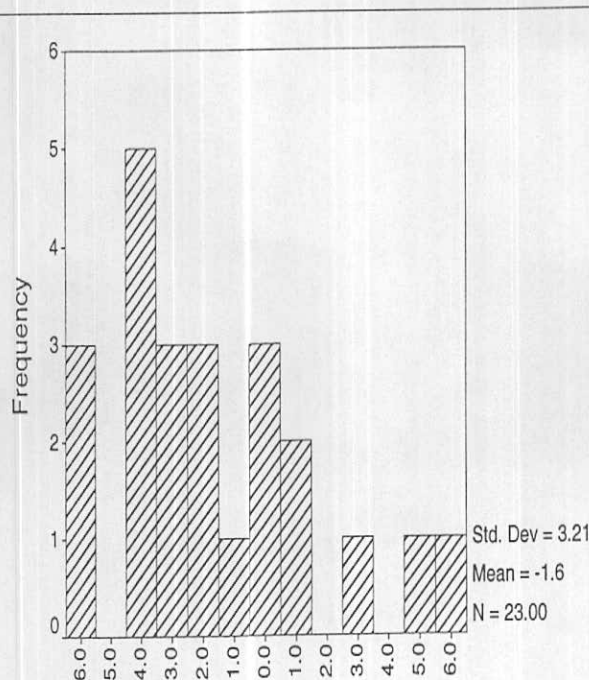
Fig(7-19):Histogram of Heavy Mineral Variable (LN OLIGIST)



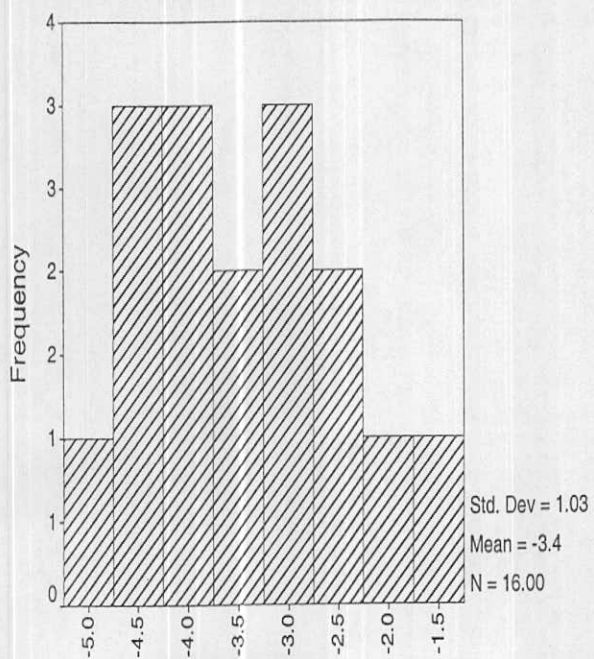
Fig(7-20):Histogram of Heavy Mineral Variable (LN LEUCOXENE)



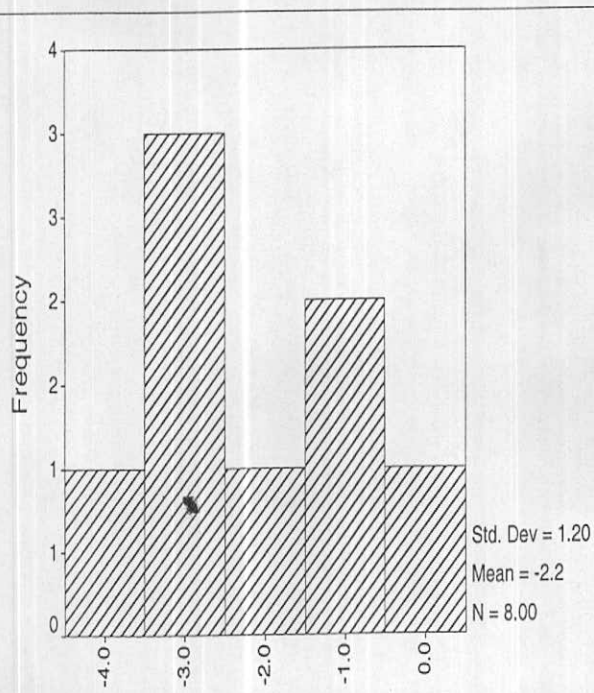
Fig(7-21):Histogram of Heavy Mineral Variable (LN LIGHT\_MINE)



Fig(7-22):Histogram of Heavy Mineral Variable (LN ALT\_MIN)



Fig(7-23):Histogram of Heavy Mineral Variable (LN SPINEL)



Fig(7-24):Histogram of Heavy Mineral Variable (LN NATIVELEID)

## ۶- مطالعه تغییر پذیری دانسته گسلها

### ۱-۶- مقدمه

ارتباط کانی سازی با توسعه زون های شکسته شده در شرح خدمات آمده است از آن جا که در تشکیل بسیاری از کانسارها، سیالات کانه ساز نقش اساسی دارند و برای حرکت آنها نیاز به کانالهایی در ابعاد مختلف (از چندین سانتیمتر تا میکروسکوپی) می باشد (plumbing System)، و از طرفی توسعه چنین سیستم هایی از مجاری در زون های شکسته شده (چه در مناطق کششی و چه در مناطق فشاری) محتمل تر است لذا مطالعه زون های شکسته شده و مقایسه نقشه توزیع آنومالی ها با نقشه توزیع شکستگی ها می تواند در ارزیابی آنومالی ها مفید واقع شود. نکته اساسی در این مورد آن است که زمان تشکیل شکستگی در این خصوص بسیار با اهمیت است، زیرا بدینه است که تنها شکستگی هایی که قبل از فعل شدن پدیده کانی سازی توسعه یافته باشند و می توانند در ایجاد کانال ها و تسهیلات لازم جهت حرکت سیالات گرمابی و تشکیل کانسارهای تیپ اپی رنیک هیپرژن مؤثر باشند.

بنابراین شکستگی هایی که بعد از کانی سازی توسعه می بایند ممکن است فقط بتوانند در توسعه هاله های ثانوی آنها و تشکیل زون غنی شدگی اکسید و یا احیایی از نوع اپی رنیک سوپرژن مؤثر واقع شوند. البته توسعه شکستگی های نوع اخیر موجب تسهیل در فرایند اکسیداسیون عناصر کانساری و در نتیجه افزایش قابلیت تحرك آنها و نهایتاً توسعه هاله های ثانویه آنها خواهد شد.

از آنجا که در بررسیهای اکتشافی ناجیه ای در مقیاس ۱:۱۰۰،۰۰۰ اندازه گیری شکستگی ها امکان پذیر نیست لذا توصیه شده است تا از طریق مطالعه دانسته گسل ها به محدوده زون های بیشتر شکسته شده دست یافت. بدینه است، در زون های کششی ممکن است شکستگی هایی توسعه بایند که همراه با گسلشناسی نباشند.

در این بررسی از نقشه زمین شناسی ۱:۲۵۰،۰۰۰، چهارگوش ساری استفاده شده است.

## ۶-۲- روش مطالعه

در این پژوهه روش مطالعه دانسته گسل ها، که می توان آن را تا حدودی منعکس کننده دانسته شکستگی ها فرض کرد، به شرح زیر بوده است:

۱- انتخاب مبدأ مختصات در گوشة جنوب باخترا برگه زمین شناسی

۲- رسم شبکه مربعی به مساحت ۱۰۱ کیلومتر مربع برای نقشه زمین شناسی، بدین ترتیب برای هر برگه زمین شناسی حدود ۲۵۰۰۰۰ سلوی به مساحت ۱۰۱ کیلومتر مربع مشخص می گردد.

۳- اندازه گیری طول گسل های موجود در هر واحد شبکه و سپس حاصل جمع آنها بازاء واحد سطح. در این مورد گسل هایی که دارای امتدادهای مختلف هستند، طول آنها بدون در نظر گرفتن امتدادشان در نظر

گرفته می شود، زیرا اثر آنها و ایجاد شکستگی ها مشابه فرض می شود. این حاصل جمع طول گسل ها به مرکز همان واحد شبکه نسبت داده می شود.

۴- اندازه گیری آزموت گسل های مختلف موجود در هر واحد شبکه و سپس رسم دیاگرام رز آنها و تحلیل نتایج حاصل

۵- مطالعه آماری مجموع طول گسل ها و سپس رسم نقشه توزیع آن در هر برگه

### ۳-۶- داده های خام

پس از انجام مراحل مسروچ در بینهای ۱، ۲، ۳، ۴، ۵ فوق، نتایج مربوط به مجموع گسل ها همراه مختصات هر سلول و آزموت آنها در جدول داده های خام خلاصه می شود(جدول ضمیمه بر روی CD). در این جدول در هر واحد شبکه که گسل در آن وجود داشته یک عدد به عنوان مجموع طول گسل ها ثبت گردیده است ولی ممکن است یک یا چندین آزموت اندازه گیری شده باشد که بستگی به تعداد گسل ها و تنوع امتداد آنها در هر واحد شبکه دارد.

### ۴- پارامترهای آماری مجموع طول گسل ها

در محدوده برگه ۱:۱۰۰۰۰ ساری از حدود ۴۰۰۰۰ واحد شبکه، در ۲۳۶۰ واحد مجموع طول گسله اندازه گیری شده است که در حدود ۵/۹٪ مساحت تحت پوشش را شامل می شود. شکل ۲۵-۷ هیستوگرام توزیع دانیته گسل ها را بر حسب متر بر کیلومتر مربع نشان می دهد. همانطور که ملاحظه می شود این کمیت توزیع فراوانی نزدیک به لاغ نرمال با چولگی مثبت دارد. متوسط طول گسلهای موجود در واحد های شبکه دارای گسل به طول ۱۹۰ متر می باشد. حداقل طول گسل موجود در یک واحد شبکه دارای گسل ۱ متر و حداکثر آن ۵۷۷ متر بوده است. معالو صفت با چنین تغییرات شدید دامنه اندازه گیری ها، ضریب تغییرات این متغیر حدود ۵۵٪ است، زیرا دامنه فوقانی آن محدود به تعداد اندکی است. رقم معادل ۷۵٪ فراوانی، حدود ۲۵۷ متر می باشد. این رقم برای رسم نقشه ها و تعیین محدوده های با شکستگی نسبی بالا ملاک قرار گرفته است. از آنجا که این هیستوگرام تنها یکتابع توزیع را نشان می دهد، نمی توان واحد های مختلف لیتوژیک را بر اساس میزان شکستگی های آنها طبقه بندی نمود.

### ۵- پارامترهای آماری امتداد گسل ها

شکل ۲۶-۷ هیستوگرام توزیع امتداد شکستگی ها را در واحد های شبکه ای دارای گسل نشان می دهد. این هیستوگرام به وضوح نشان می دهد که امتداد غالب در محدوده این برگه بین ۳۵ تا ۷۵ درجه قرار دارد. این امتداد با امتداد محور کمپلکس ساختمانی منطقه سازگاری دارد و از این رو به نظر می رسد که به وسیله عوامل ساختمان ناحیه ای کنترل می شود بنابراین تا آنجا که به امتداد گسل ها در محدوده این برگه

مربوط می شود توسعه گسلها و به تبع آن امتداد زونهای با شکستگی بیشتر از روندهای تکتونیکی ناحیه‌ای تبعیت می کند. شکل ۲۷-۷ دیاگرام رز داده‌های امتداد مربوط به گسل‌ها را نشان می دهد. این شکل معرف آن است که در امتداد ۳۵ تا ۷۵ درجه ( $20 \pm$  درجه) تعداد گسل‌ها چشمگیر است. قابل توجه است که این دیاگرام رز بر اساس ۶۴۷۱ امتداد مختلف اندازه‌گیری ترسیم یافته است، بنابراین به نحوی اثر طول گسل در امتدادهای اندازه‌گیری شده موثر بوده است.

#### ۶-۶-رسم نقشه دانسیته گسل‌ها

برای رسم نقشه توزیع دانسیته گسل‌ها می توان از روش ژئواستاتیستیک استفاده نمود. و این در صورتی است که ساختار فضایی لازم در واریوگرام ترسیم شده برای دانسیته گسل‌ها وجود داشته باشد. شکل (۲۸-۷) واریوگرام دانسیته گسل‌ها بر اساس تقریبا ۲۷۸۳۶۲۰ جفت ترسیم شده است. داده‌های موجود در این شکل معرف آن است که ساختار فضایی مناسبی برای چگالی گسل نمی توان متصور بود، چرا که بیش از ۸۰٪ سقف واریوگرام را تغییرات تصادفی تشکیل می دهد. لذا نمی توان از روش‌های ژئواستاتیستیک استفاده نمود. و برای تهیه نقشه توزیع شکستگی‌ها از روش عکس مجدد فاصله استفاده شده است. با توجه به توزیع چگالی گسل‌های اندازه‌گیری شده شعاع معادل ۵ کیلومتر برای تخمین مربوطه و رسم نقشه‌ها انتخاب گردید. نقشه شماره ۱۶ این توزیع را در محدوده برگه ۱۰۰،۰۰۰:۱ ساری نشان می دهد. برای رنگ‌آمیزی نقشه مقادیر نظری ۲۵٪، ۵۰٪، ۷۵٪ و ۹۰٪ فراوانی مقادیر تخمین‌زده شده، ملاک قرار گرفته است. بر اساس نقشه حاصله مناطق و زونهای با شکستگی زیاد به عنوان مناطق پر پتانسیل تر مشخص گردیده است و در مدل‌سازی آنومالی‌های ژئوپیمیایی به کار رفته است.

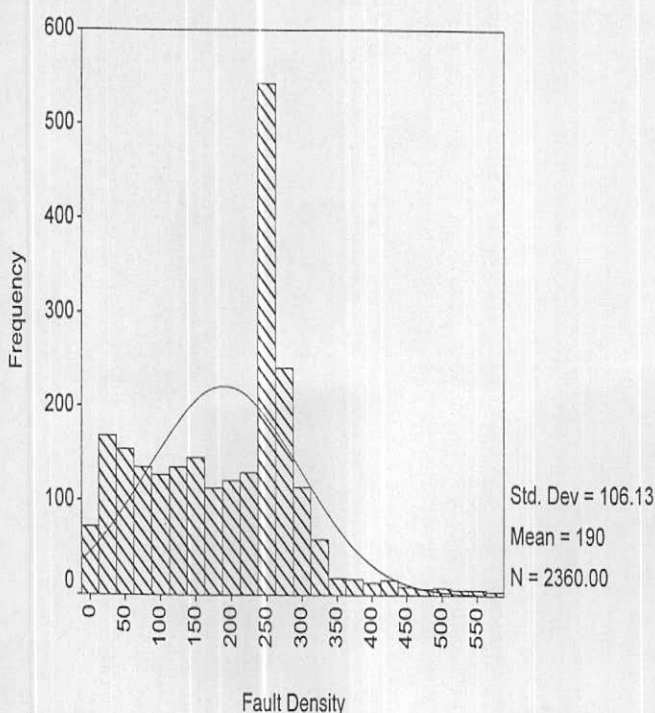


Fig 7-25 : Histogram of Distribution of Faults Density.

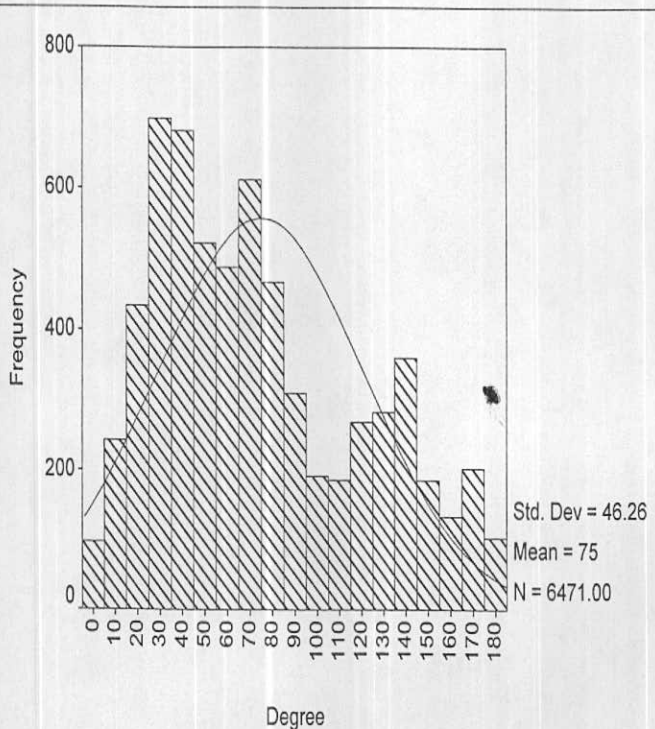
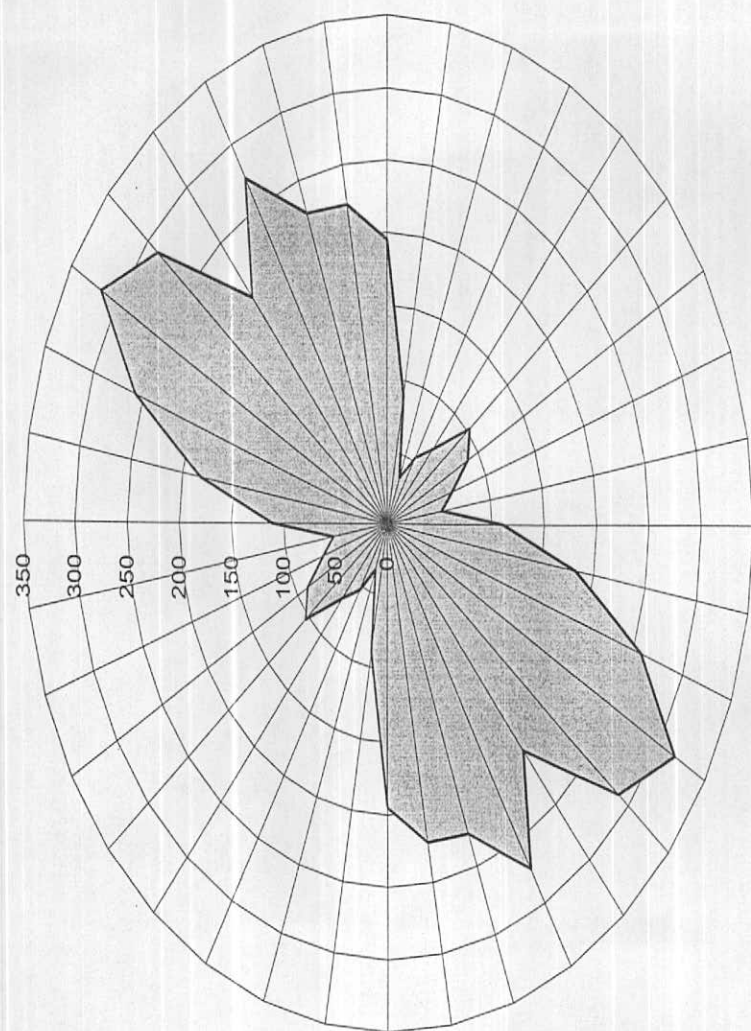


Fig 7-26 : Histogram of Distribution of Faults Direction.

**Fig 7-27 : Rose Diagram of Faults Azimuth Frequency in Sari 1:100,000 Sheet.**



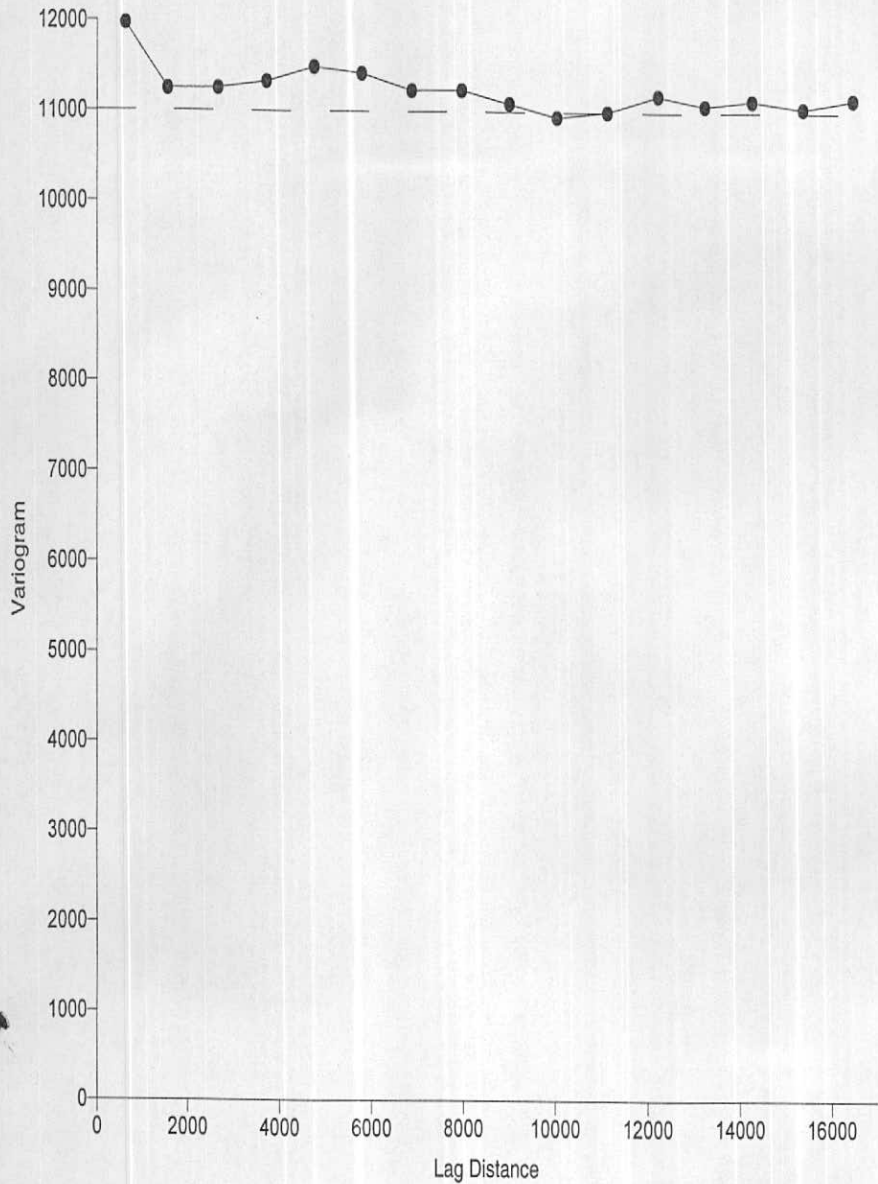


Fig 7-28 : Variogram of Fault Density in Sari 1:100,000 Sheet.

## فصل هشتم

### مدل‌سازی آنومالی‌های ژئوشیمیابی

#### ۱- روش کار

یکی از معضلات بررسی‌های اکشافی ژئوشیمیابی، انتخاب مناطق امیدبخش و اولویت‌بندی آنها برای کارهای نیمه تفصیلی است. ریشه مشکلات مربوط به این کار آن است که ملاک ژئوشیمیابی معینی برای این کار تعریف نشده است و اگر هم تعریف شود ممکن است نتواند به طور موثر بکار بردش شود. زیرا مجموعه داده‌های ژئوشیمیابی، کانی سنگین و نمونه‌های میزالیزه و آتراسیون، تا زمانی که در چهار چوب یک مدل کلی مورد سنجش قرار نگیرند و میزان سازگاری کلیه مشاهدات مشخص نشود، از اعتبار لازم برای تصمیم‌گیری برخودار نخواهد بود و تکیه بر آنها می‌تواند رسیک عملیات اکشافی را بالا برد و پیامدهای ناخوشایندی را به همراه داشته باشد.

برقراری چنین مدلی در اکتشافات ناحیه‌ای در مقیاس ۱:۱۰۰،۰۰۰ نیاز به کسب اطلاعاتی در زمینه‌های ناحیه‌ای و محلی دارد. اطلاعات ناحیه‌ای که برای یک منطقه آنومال شامل سکانس‌های موجود در منطقه، سنگ درونگیر، دامنه سنی آنها و شرایط تکتونیکی محیط مربوط به آنها است. شرایط محلی بیشتر محدود به ویژگی‌های موجود در محدوده آنومالی است که شامل ویژگی‌های محیط آنومالی از قبیل پدیده‌های ماگماتی، دگرگونی، رسوبی فعال در محدوده آنومالی و همچنین شرایط زمین شناسی ساختمانی محدوده آنومالی، پاراژنرهای ژئوشیمیابی توسعه یافته در محدوده آنومالی، ویژگی‌های کانی‌شناسی فرآیندهای بعد از ماگماتی شامل انواع آتراسیون‌ها و ساخت و بافت سنگها و زون‌های کانی سازی احتمالی و بالاخره آنومالی‌های ژئوفیزیکی در محدوده آنومالی می‌باشد.

اگر بخواهیم اطلاعات فوق را، که شامل بیش از ۱۲۰۰ ویژگی تعیین شده است، برای ۹۳ تیپ کانسار مدل‌سازی شده به کار ببریم، نیاز به نرم‌افزاری است که قادر باشد بر اساس منطق خاصی از روی ویژگی‌های معلوم در محل گسترش یک آنومالی معین محتمل‌ترین تیپ کانسار احتمالی وابسته به مجموعه خاص مشاهده شده را پیشنهاد نماید. مناسب‌ترین منطق برای این کار، منطقی است که در آن هر کانسار مانند شیئی با خواص و ویژگی‌های معین احتمال پذیر مورد مطالعه قرار گیرد. بنابراین در محل هر آنومالی، تعدادی از خواص که مورد اندازه‌گیری قرار گرفته است، به عنوان خواص احتمالی آن شئی معلوم می‌باشد. وجود هر یک از خواص در اثبات تشابه با کانساری معین، از امتیاز تعیین شده‌ای برخوردار است و نبود آن خاصیت در رد آن کانسار نیز امتیاز تعیین شده معینی دارد. با توجه به مراتب فوق می‌توان با مطمئن بودن از وجود بعضی از خواص و نبود بعضی از خواص، محتمل‌ترین تیپ کانسار وابسته را پیش‌بینی کرد که بیشترین و کمترین ناسازگاری را با مجموعه خواص مشاهده شده در محل توسعه آنومالی داشته باشد. چون در مورد بعضی از خواص نه به وجود و نه به نبود آن اطمینان کافی در دست نیست، لذا لازم است در نرم‌افزار مورد نظر حق انتخاب دیگری به مفهوم خاصیت تعیین شده وجود داشته باشد که در سنجش سازگاری و ناسازگاری مجموعه خواص بی‌اثر باشد.

بالاترین امتیاز کاربرد چنین مدلی این است که پس از رتبه‌بندی آنومالی‌ها براساس سازگاری آنها با تیپ معینی از کانسارها، عملیات اکتشافی احتمالی‌ای که باید در محدوده آن صورت پذیرد را با اولویت‌بندی پیشنهاد نماید. این کار از طریق مقایسه خواص داده شده در محل آنومالی با خواصی که محتمل‌ترین تیپ کانسار دارا می‌باشد، انجام می‌پذیرد.

## ۲- مدل‌سازی

### ۱-۱- مقدمه

مدل‌سازی آنومالی‌های ژئوشیمیایی یکی از مهم‌ترین موضوعاتی است که در دهه گذشته در زمینه اکتشافات ژئوشیمیایی مطرح شده است و به سرعت مسیر تحول خود را می‌گذراند. مدل‌سازی آنومالی‌های ژئوشیمیایی را می‌توان مانند هر نوع مدل‌سازی دیگری در زمینه‌های مهندسی، نوعی روش ساده‌سازی دانست که موجب سهولت در شناخت واقعی‌تر پدیده‌ها و رخدادها (برای مثال کانی‌سازی از تیپ خاصی) می‌شود. بدیهی است هر نوع مدل‌سازی با نوعی ساده‌سازی همراه است که ممکن است موجب بروز خطأ گردد. ریشه این خطأ می‌تواند در ارتباط با نادیده گرفتن عناصر و عوامل جزئی تر باشد. در مقابل این نقطه ضعف هر مدلی نقطه قوتی دارد و آن این است که ارتباط عناصر و عوامل اصلی یک پدیده و یا رخداد با مدل‌سازی روشن‌تر و شفاف‌تر می‌شود، زیرا امکان سنجش درجه سازگاری و ناسازگاری عناصر و عوامل موجود در یک رخداد (برای مثال مجموعه خواص مشاهده شده در یک تیپ کانی‌سازی معین) با مدل‌سازی فراهم می‌گردد.

اگر داده‌های معرف یک تیپ خاصی از کانی‌سازی که در واقع مجموعه خواص آن تیپ کانی‌سازی است، در یک محیط معینی یافت شود می‌تواند دلالت بر رخداد آن تیپ کانی‌سازی داشته باشد. چنانچه خاصیتی بیگانه نسبت به مجموعه خواص فوق نیز مشاهده شود با مدل‌سازی می‌توان به بی‌اهمیت بودن آن پی برد. بر عکس اگر در مجموعه خواص سازگار از یک تیپ معین کانی‌سازی جای یک با چند خاصیت خالی باشد، می‌توان برای یافتن احتمالی آنها و تایید و تکذیب مدل به جستجوی هدف‌دار پرداخت. این جستجوی هدف‌دار خمیرمایه اصلی در طراحی برنامه اکتشافی برای فاز بعدی است. بنابراین بدون مدل‌سازی نمی‌توان به تخمین قابل قبولی از احتمال پیدایش یک تیپ کانسار خاص (وابسته به مجموعه مشاهدات تجربی) در یک محیط زمین‌شناسی معین پرداخت. از نظر تاریخچه مدل‌سازی باید گفت که در قبل مدل‌سازی کانسار بیشتر بر اساس ژنز آنها صورت می‌گرفت و بدین دلیل کارآیی اکتشافی لازم را دارا نبود. ولی امروزه مدل‌سازی کانسار بیشتر بر اساس منطق شیء گرایی است که در آن اساس کار بر وجود یا عدم ویژگی‌های مشترک معین قرار دارد. براساس این منطق هر تیپ کانسار خاص مانند شینی می‌ماند که بوسیله مجموعه‌ای از خواص معین شناخته می‌شود، با این نگرش که پیدایش هر یک از خواص در این مجموعه حالت قطعی نداشته بلکه احتمال‌پذیر است و امکان بود و نبود آن با عددی بین صفر تا یک بیان می‌شود. چنین نگرش احتمال‌پذیری استفاده از منطق فازی (Fuzzy Logic) را در مدل‌سازی کانسارها اجتناب‌ناپذیر می‌سازد. به

طور خلاصه انگیزه اصلی مدل‌سازی آنومالی‌های ژئوشیمیابی ارتباط دادن آماری آنها با نوع خاصی از کانی‌سازی است تا درجه سازگاری و ناسازگاری خواص اندازه‌گیری شده و مشاهدات مختلف مانند آنومالی‌های تک عنصری و پیدایش کانی‌های سنگین خاص و انواع خاصی از دگرسانی‌ها در سنگ درونگیر معین با سن معین مورد سنجش قرار گیرد. از این طریق می‌توان آن دسته از خواص ژئوشیمیابی، کانی‌سنگین، هوازدگی، دگرسانی، سنگدرونگیر و غیره که به طور تصادفی در مجموعه خواص مشاهده شده در یک ناحیه ثبت گردیده‌اند را شناخت و سپس آنها را به عنوان خواص ناسازگار از مجموعه خواص مشاهده شده حذف کرد. در ویرایش جدید نرم افزار مدل‌سازی کانساری<sup>۱</sup> بر اساس منطقی خاص که در آن برای قبولی هر ویژگی برای یک کانسار از مشخصه‌های همان‌وارde آن به عنوان شاهد استفاده می‌شود دو عدد محاسبه می‌گردد. اولی که تحت عنوان Rank در جدول نامگذاری شده درصد احتمال پیدایش یک کانسار را مشخص می‌کند و عدد محاسبه شده بعدی تحت نام Score درصد سازگاری مدل مذکور با منطقه مورد بررسی را مشخص می‌کند. لذا حاصل ضرب این دو پارامتر (R.S) میزان سازگاری و موقعیت یک کانسار را توجه به اطلاعاتی که از منطقه در اختیار نرم‌افزار گذاشته شده معرفی می‌نماید که البته هر چه میزان R.S بالاتر باشد، اهمیت منطقه بیشتر خواهد بود.

چنین منطقی موجب تصفیه موثر آنومالی‌های ژئوشیمیابی وابسته به کانی‌سازی از انواع دیگر می‌شود که خود موجب افزایش احتمال کشف و کاهش هزینه‌های اکتشافی می‌گردد. بنابراین با نسبت دادن یک مجموعه از آنومالی‌های ژئوشیمیابی ثبت شده در یک منطقه به مدل خاصی می‌توان برای هر یک از ویژگی‌های کمی و کیفی آن با تکیه به مقدار پارامترهای مشابه در مدل استاندار، تخمین‌های لازم را با دقت کافی بعمل آورده.

## ۲-۲- مدل‌های عددی

ویژگی‌های هر تیپ کانسار را می‌توان به دو گروه تعیین کننده و عادی تقسیم کرد. ویژگی‌های تعیین کننده شامل آن دسته از خواصی است که وجودشان در اثبات یک مدل خاص کانی‌سازی و یا نبودشان در رد یک مدل خاص کانی‌سازی می‌تواند موثر باشد. خواص عادی یک کانسار خواصی است که بود و نبودش در اثبات و یا رد یک مدل معین نقشی ندارد. از آنجا که اهمیت بود یک خاصیت و یا نبود آن در مقایسه با خواص دیگر، در اثبات یا رد یک تعیین از کانی‌سازی یکسان نیست، لذا لازم است برای وجود یک خاصیت (و یا نبود آن) در اثبات (یا رد) یک مدل کانی‌سازی وزن معین انتخاب گردد. این وزن‌ها از طریق محاسبات آماری روی ۳۶۰۰ کانسار شناخته شده در جهان بدست آمده و توسط کاکس و سینکلر (۱۹۸۷ و ۱۹۹۲) ارائه گردیده است. در این پروژه مدل‌سازی آنومالی‌های ژئوشیمیابی عمدها بر اساس وزن‌های فوق است که در یک مجموعه نرم‌افزاری جمع‌آوری شده است.

### ۳-۲- مدل‌سازی آنومالی‌های ژئوشیمیایی در برگه ۱:۱۰۰،۰۰۰ ساری

داده‌های به کار رفته در مدل‌سازی هر آنومالی شامل موارد زیر است: سکانس سنگ‌های منطقه در برگیرنده آنومالی، سنگ درونگیر آنومالی، سن‌سنگ درونگیر آنومالی، انواع دگرسانی‌های احتمالی در محدوده آنومالی، پارازنترهای ژئوشیمیایی در محدوده آنومالی، ترکیب کانه‌ها و کانی‌ها در جزء کانی‌سنگین، ساخت و بافت سنگ درونگیر و ساخت و بافت در زون مینرالیزه احتمالی، محصولات هوازدگی و خاستگاه تکتونیکی. حداقل امتیاز مثبت وجود یک خاصیت معین ۵ و حداکثر آن ۴۰۰ می‌باشد. امتیازات منفی (علت نبود خاصیت) وابسته به خواص بین ۰ تا ۴۰۰ تغییر می‌کند. این مجموعه خواص در دو رده اصلی ناحیه‌ای که با علامت R در جداول آمده است و محلی که با علامت L در جداول آمده است قرار می‌گیرند. اساس تهیه اطلاعات جهت مدل‌سازی، نقشه‌های زمین‌شناسی ۱:۱۰۰،۰۰۰ منطقه می‌باشد ولی جهت مدل‌سازی هر چه دقیق‌تر لازم است تا یکبار دیگر پس از اخذ داده‌های اکتشافات چکشی و ژئوفیزیکی (عناظیسی و گاماسنجی) قبل از تهیه شرح خدمات اکتشافات نیمه تفصیلی با به کارگیری سیستم GIS به مدل‌سازی پرداخت. مشاهدات صحرایی در خلال فاز کنترل آنومالی‌های ژئوشیمیایی نشان داد که تعدادی از آنومالی‌های ژئوشیمیایی بدست آمده در ارتباط با خطاهای ناشی از خنثی شدن اثر سنگ بالادست رسوبات آبراهه‌ای بوده است. به عنوان مثال می‌توان از آنومالی‌های نیکل نام برد که به علت وجود توده‌های ولکانیکی مافیک در منطقه می‌باشد که به علت وسعت کم، عمدتاً در نقشه‌های زمین‌شناسی مشخص نشده بودند.

در محدوده برگه ساری در مجموع ۱۵ آنومالی ژئوشیمیایی تشخیص داده شده است که مشخصات جغرافیایی آنها در جدول ۱-۸ آورده شده است. این آنومالی‌ها عضاً تک عنصری ولی بیشتر چند عنصری می‌باشد. برای هر مورد از آنومالی‌ها که تحت عنوان ۱-SARI- ۱۵ SARI شماره‌گذاری شده است سه نوع خاصیت به نرم‌افزار داده شده است:

- ۱- خواصی که وجود آنها به وسیله یکی از روش‌های به کار گرفته شده در پژوهه مانند روش‌های ژئوشیمیایی، کانی‌سنگین، دگرسانی، زون‌های کانی‌سازی و سیستم‌های پلمبینگ، ژئوفیزیک هوایی، سنگ‌شناسی و زمین‌شناسی ساختمانی به اثبات رسیده است.
- ۲- خواصی که از طریق بررسی‌های لازم به نبود آنها در محیط یک آنومالی معین در حد امکان اطمینان حاصل شده است.
- ۳- خواصی که پس از بررسی‌های انجام شده فوق در بود یا نبود آنها (به نتیجه‌ای که قابل تصمیم‌گیری باشد) اطمینان حاصل نشده است.

- ۴- با در نظر گرفتن این نکته که توسعه هاله‌های ثانویه نقش مؤثری در امر پی‌جوبی و اکتشاف مواد معدنی، در مواردی که آثار مینرالیزاسیون در محدوده‌های آنومال مورد بررسی با عنصر آنومال محدوده متفاوت بوده، عنصر غالب کانی‌سازی دیده شده به عنوان آنومالی ژئوشیمیایی در مدل‌سازی در نظر گرفته شده است.

به عنوان مثال در محدوده‌ای که آنومالی روی بدست آمده اگر کانی‌سازی ملاکیت دیده شده باشد، آنومالی رئوشیمیایی در مدل‌سازی نیز در نظر گرفته شده است.

نتیجه مدل‌سازی آنومالیهای پانزده‌گانه برگه ۱۰۰،۰۰۰:۱ ساری به صورت جداولی که در زیر تشریح می‌شود آورده شده است (داده‌های خام هر یک از آنومالیهای ۱۵ گانه و موقعیت محل پیدایش هر یک به همراه مشاهدات صحرائی مربوط به هر یک، در جداول ضمیمه بر روی CD همراه گزارش و در ادامه گزارش آورده شده است و نیز نقشه ۱-۸ موقعیت جغرافیایی مناطق آنومالی را نشان می‌دهد). نتیجه مدل‌سازی مناطق آنومال در جدول ۲-۸ آورده شده است که شرح این جدول به قرار زیر می‌باشد:

۱- در بالای هر جدول شماره آنومالی مطابق آنچه که در شرح آنومالیها در صفحات گذشته آورده

شده است نشان داده می‌شود مانند SARI-15 تا SARI-1.

۲- در چنین جداولی که با نام SARI و یک شماره از ۱ تا ۱۵ مشخص می‌شود، تیپ کانسارهای احتمالی به ترتیب اولویت (احتمال رخداد) آورده شده است. اساس اولویت‌بندی آنها ارقام آخرین ستون سمت راست جدول است که از حاصل ضرب ستونهای Score و Rank حاصل شده است.

۳- در جدول فوق سه ستون عددی وجود دارد که ستون اول امتیازات Rank که نمایشگر درصد احتمال پیدایش کانسار مذکور می‌باشد را برای هر یک از تیپ کانسارهای احتمالی نشان می‌دهد. ستون دوم امتیازات Score که درصد احتمال سازگاری را برای همان تیپ کانسارها معرفی می‌کند و ستون آخر حاصل ضرب دو مقدار Rank و Score را برای هر تیپ کانسار مشخص می‌سازد.

برای هر یک از کانسارهای محتمل در جدول فوق لیست خواصی که وجودشان سازگار با مدل پیشنهاد شده است در جداولی که ساختار شماره‌گذاری آنها به شرح زیر است آورده می‌شود: (جدول SARI-15 تا SARI-1

حرف Y	شماره ردیف کانسار احتمالی	خط تیره	شماره آنومالی	SARI
-------	---------------------------	---------	---------------	------

در چنین جداولی هر یک از خواص همراه با امتیاز مثبت بودشان و امتیاز منفی نبودشان به انضمام دامنه آن آورده می‌شود. در آخرین ستون این جداول علامت Yes به معنی وجود آن خاصیت و علامت L یا R به معنی محلی بودن و یا ناحیه‌ای بودن آن خاصیت ذکر می‌شود. در پایین ترین سطر این جداول جمع امتیازات مثبت و منفی و دامنه امتیاز نشان داده می‌شود.

برای هر یک از کانسارهای پیشنهاد شده محتمل در جدول ۱-۱۵ SARI-TA SARI-1 لیست خواصی که نبودشان در رد مدل موثر بوده است همراه با وزن منفی آنها در جداولی که ساختار شماره‌گذاری آنها به شرح زیراست آورده شده است:

حرف N	شماره ردیف کانسار احتمالی	خط تیره	شماره آنومالی	SARI
-------	---------------------------	---------	---------------	------

در پایین ترین سطر این جداول جمع امتیازات منفی نیز آورده شده است.

## ۴-۲- اولویت‌بندی مناطق امیدبخش

در این پروژه اساس اولویت‌بندی مناطق امیدبخش را درجه سازگاری مجموعه پارامترهای مشاهده شده و یا اندازه‌گیری شده در محل توسعه هر آنومالی تشکیل می‌دهد. این درجه سازگاری به صورت درصد انطباق مجموعه خواص مشاهده شده با تیپ‌های استاندارد کانساری مورد ارزیابی قرار گرفته است و نتایج آن در ستون آخر جداول ارائه شده در مدل‌سازی آورده شده است. بر اساس این ارقام می‌توان آنومالی‌های رئوشیمیابی را در محدوده برگه ساری به ترتیب زیر در اولویت قرار داد. در جدول ۳-۸ بیشترین امتیازات هر منطقه به همراه سازگارترین نوع کانی سازی وابسته و مساحت محدوده آورده شده است. بر اساس امتیازات بدست آمده آنومالی‌ها به دو اولویت زیر تقسیم می‌شوند:

- ۱- آنومالی‌های با ضریب R.S بیشتر از ۱۰۰ شامل دو مورد که مساحتی حدود ۱٪ از دو برگه ۱:۵۰،۰۰۰ ساری ونکا که مورد بررسی قرار گرفته بودند را شامل می‌شود و شماره‌های آنها بترتیب عبارتست از: SARI: 11,13

- ۲- آنومالی‌های با ضریب R.S کمتر از ۱۰۰ که مساحتی در حدود ۷/۵٪ از دو برگه ۱:۵۰،۰۰۰ مورد مطالعه را تشکیل می‌دهند و سیزده منطقه باقیمانده را تشکیل می‌دهند.

## ۵-۲- معرفی نهایی مناطق آنومال

در این گزارش جهت معرفی نواحی ناهنجار بر مبنای داده‌های رئوشیمیابی حاصل از نمونه‌های سیلت رسوبات آبراهه‌ای از داده‌های خام، داده‌های معرف غنی شدگی بر اساس حذف اثر لیتلولوژی با توجه به جنس سنگ‌های حوضه آبریز و نیز داده‌های معرف غنی شدگی نمونه‌ها بر اساس حذف اثر عناصر لیتلولوژیکی بر اساس ترکیب شیمیابی نمونه‌ها و بهمراه محاسبه احتمال رخداد برای عناصر مختلف، استفاده گردیده و از تمامی مناطق نا هنجار نمونه‌های کانی سنگین برداشت شده است و نیز در زمان برداشت نمونه‌های کانی سنگین این محدوده‌ها مورد بررسی‌های چکشی صحرایی قرار گرفته که البته با توجه به حیطه عملکرد پروژه، بررسی‌ها و پی‌جوبی‌های چکشی در حد بررسی مسیر آبراهه‌ها و رخمنونهای مشخص و موجود در منطقه بوده است و از آنجا که تراکم برداشت نمونه‌های کانی سنگین در محدوده‌های ناهنجار بوده است، لذا چنانچه رخمنون میزالیزه‌ای در حوضه وجود داشته که دیده نشده باشد توسط ردیاب‌های کانی سنگین مشخص گردیده است. همانگونه که در ابتدای فصل پنجم گزارش ذکر گردید تمامی اطلاعات موجود شامل زمین شناسی، تکتونیک، زئوشیمی و ۰۰۰ که در اختیار بوده در نرم افزار مدل سازی کانساری وارد گردیده که بر اساس نتایج این برنامه می‌توان به جستجوی هدف‌دار در محدوده‌ها پرداخته و سیاست ادامه عملیات اکشافی را مشخص کرد.

قدر مسلم چنانچه اطلاعاتی که در اختیار نرم افزار مدل سازی کانساری قرار می‌گیرد، کامل باشد، در آن صورت مدل ارائه شده توسط نرم افزار مدل سازی، کاملاً منطبق بر محدوده خواهد بود اما با توجه به حجم

کم اطلاعات ورودی در مرحله اکتشافات ناجیهای همانگونه که در جداول مربوطه مشخص است میزان احتمال وقوع کانسارها (ضریب Score) بسیار کم می‌باشد.

در آخر با توجه به کلیه اطلاعات موجود و نتایج نرم افزار مدل‌سازی کانساری جدولی تهیه شده است (جدول ۸-۵) که در آن علاوه بر اطلاعات ژئوشیمی، کانی سنگین و زمین شناسی هر محدوده ناهنجار، کانی زایی که در محدوده ناهنجار احتمال حضور دارد و باید مورد پی‌جوبی چکشی قرار بگیرد، آورده شده است که می‌تواند راهنمای خوبی در جهت ادامه عملیات اکتشافی در این محدوده باشد. در این جدول به ترتیب در ستون سوم کانی‌سازی که بیشترین احتمال وقوع را در هر محدوده دارد، ستون چهارم شماره محدوده (با توجه به نقشه ۱-۸)، ستون پنجم عناصر آنومال که در نمونه‌های سیلت رسوبات آبراهه‌ای رخداد داشته‌اند، ستون ششم عناصری که در نمونه‌های سنگ در محدوده آنومال بوده‌اند (که این سنگها ممکن است برجا و یا نا برجا باشند)، ستون هفتم کانی‌های بالرزشی که در مطالعه کانی‌سنگین گزارش شده است و در ستون آخر مشخصات زمین شناسی هر محدوده که عمدتاً از نقشه ۲۵۰،۰۰۰:۱ ساری استخراج شده، آورده شده است.

جدول ۱-۸ : موقعیت جنگل‌های و مشخصات محدوده‌های آنومال در برگه ۱۰۰۰۰۱: ساری

شماره آنومالی	نام برگه آنومالی	شماره نموده آنومال	عنصر آنومال ژنوشیبی	شماره نموده کانی سنگین	موقعیت جنگل‌های
۱	نکاه	۴۶,۴۱,۴۰,۳۷,۳۶,۳۲	Pb,Co,Au,Mn,Bi,Cu,Hg,Sr	۴۰,۳۸,۳۷,۳۶, ۳۲	جنوب روسیه‌ای کوهستان و تروجن
۲	نکاه	۵۶,۴۵,۴۴,۴۳	W,Sb,Bi,As	۴۵,۵۶	جنوب روسیه‌ای دستم کلا
۳	نکاه	۶۲,۶۰,۵۹	Ni,Fe,Cr,Pb,Cu,Co,W	۶۲,۵۹	جنوب روسیه‌ای کمپیشان و کلت
۴	نکاه	۱۱۷,۱۲۹,۱۲۷, ۱۲	Ba,Ag,W,Pb,Ni,Co,Bi	۱۱۷,۱۲۲,۱۲۷, ۱۲۹	محدوده روسیه‌ای جام خانه
۵	نکاه	۱۱۹,۱۲۱	Hg,Sb,Fe,Cr,Bi,Ba,Mo,Au	۱۱۹	دره روسیه‌ای قلعه سر
۶	نکاه	۷۰,۹۴	Sb	۷۰,۹۴	شرق روسیه‌ای بالازرنده‌بن
۷	نکاه	۱,۳۳,۱۳۴,۱۳۶,۱۳۵, ۱۳	Pb,Mo,Mn,Fe,Cu,Cr,V,As, W	۱۳۴,۱۳۶,۱۳۹, ۱۴۰	جنوب روسیه‌ای داراب کلا
۸	نکاه	۹,۱۴۰,۱۴۱ ۱۰۴	Ag,Sn,Ni	۱۰۴	جنوب روسیه‌ای کوهساکنه
۹	ساری	۱۹,۲۱	Au,Ag,Mo,Pb,Sn,Zn	۱۹	شرق آب بدان سر
۱۰	ساری	۱۵	Sb,Pb,Ni,Cu,Bi,Zn,Mo,Au	۱۵	دره روسیه‌ای مرمت
۱۱	ساری	۲۵,۲۶,۲۸	V,Ni,Fe,Cr,Ba,Sb,Sn,Pb, Mn,Co,Zn	۲۶	محدوده روسیه‌ای تلویاغ و بالادزا
۱۲	نکاه	۹۱,۱۲۴	آنومال براساس آنالیز فاکتوری	۹۱	جنوب روسیه‌ای چلموردی
۱۳	نکاه	۸۸,۸۹	آنومال براساس آنالیز فاکتوری	۸۸	محدوده روسیه‌ای سمه کله
۱۴	نکاه	۷۴	آنومال براساس آنالیز فاکتوری	۷۴	دره روسیه‌ای درویش خیلک
۱۵	نکاه	۳۴,۸۴	آنومال براساس آنالیز فاکتوری	۸۴	شمال روسیه‌ای ملانخیل

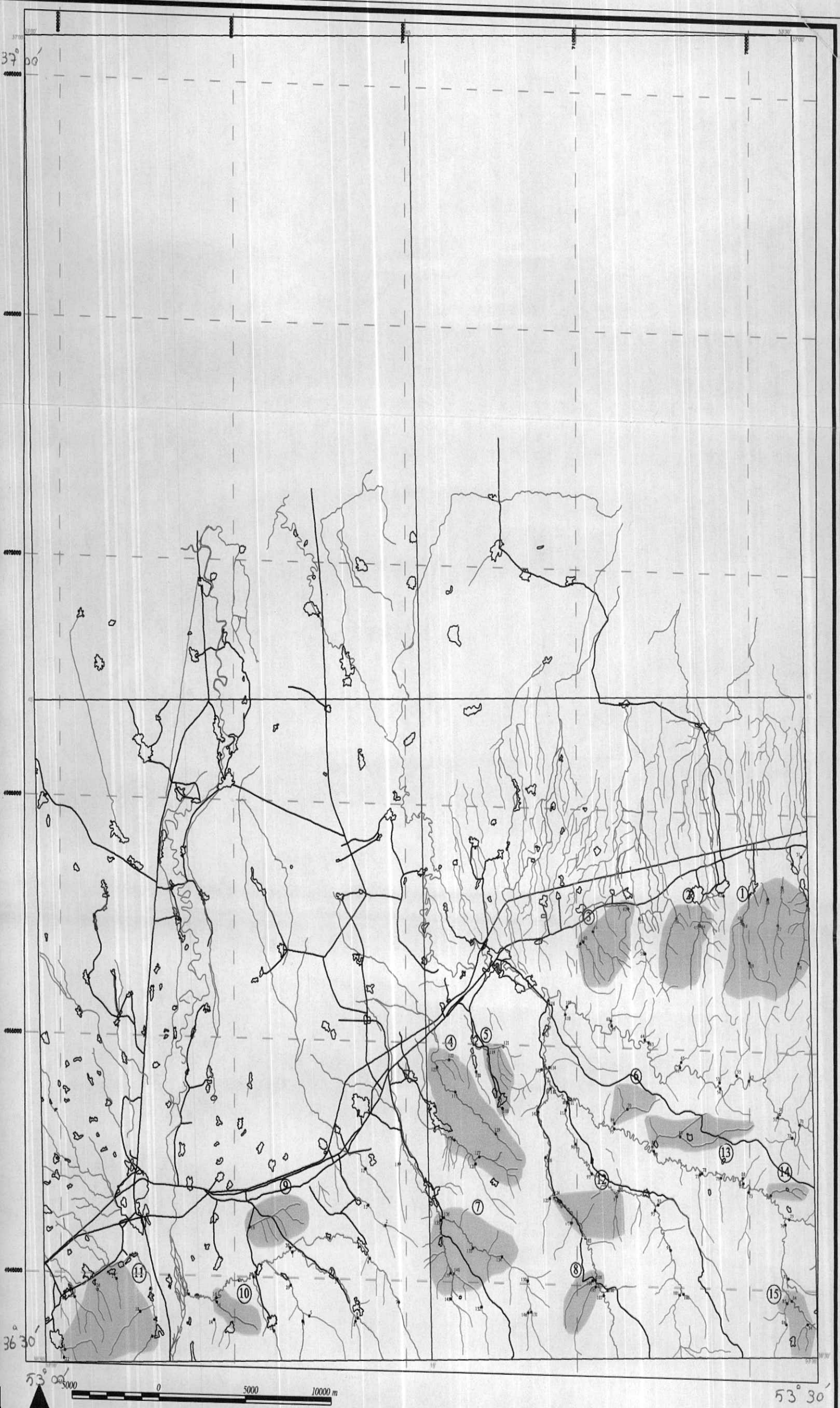


Fig. 8-1 : Total Promising Area in Sari 1:100,000 Sheet

**Table 8-2 : Suggested Ore Deposit for Each Anomaly Area.**

Probable Type of Ore Deposit	Rank (%)	Score (%)	R.S
Skarn-Pb-Zn	10	3.2	32
Oolitic Ironstone	8	3	24
Blackbird Co-Cu	3	2.9	8.7
Skarn-Fe	15	-0.2	-3
Quartz-Conglomerate Au-U	5	-3.6	-18

Probable Type of Ore Deposit	Rank (%)	Score (%)	R.S
Oolitic Ironstone	10	3.2	32
Silica Carbonate Hg	8	3	24
Hot Spring Au-Ag	5		5
Polymetallic-Replacement	3		1.9
Carbonite-Hosted Au-Ag	5		-4.3

Probable Type of Ore Deposit	Rank (%)	Score (%)	R.S
Oolitic Ironstone	10	3.5	35
Skarn-Pb-Zn	8	3.2	25.6
Blackbird Co-Cu	5	2.9	14.5
Sandstone Hosted Pb-Zn	3	2.8	8.4
Missouri Pb-Zn	100	-1.8	-180

Probable Type of Ore Deposit	Rank (%)	Score (%)	R.S
Sedimentary exhalative Zn-Pb	3		2.6
Appalachian Zn	93		-0.5
Sandstone Hosted Pb-Zn	78		-6.3
Oolitic Ironstone	25		-7.8
Sediment Hosted Cu	8		-8.7

Probable Type of Ore Deposit	Rank (%)	Score (%)	R.S
Blackbird Co-Cu	10		3.5
Skarn-Pb-Zn	5		3.1
Hot spring Hg	13		-0.3
Sandstone Hosted Pb-Zn	8		-2.6
Sedimentary Mn	100		-3.1

Probable Type of Ore Deposit	Rank (%)	Score (%)	R.S
Hot spring Hg	24.8		35
Skarn-Fe	8.1		15.5
Flat Faults Au	-1.1		-3.9
Carbonite-Hosted Au-Ag	-10.1		-20.8
Sandstone Hosted Pb-Zn	-10.2		-310

**Table 8-2 : Suggested Ore Deposit for Each Anomaly Area.**

Probable Type of Ore Deposit	Rank (%)	Score (%)	R.S
Blackbird Co-Cu	10	2.9	29
Skarn-Fe	8	2.8	22.4
Skarn-Pb-Zn	5	2.7	13.5
Sedimentary exhalative Zn-Pb	5	2.7	13.5
Sedimentary Mn	5	-1.7	-8.5

Probable Type of Ore Deposit	Rank (%)	Score (%)	R.S
Skarn-Fe	13	1.9	24.7
Olympic Dam Cu-U-Au	5	1.7	8.5
Skarn-Cu	13	-4.5	-58.5
Sediment Hosted Cu	18	-9.1	-163.8
Missouri Pb-Zn	15	-10.4	-156

Probable Type of Ore Deposit	Rank (%)	Score (%)	R.S
Skarn-Pb-Zn	8	3.4	27.2
Olympic Dam Cu-U-Au	8	-0.3	-2.4
Skarn-Fe	13	-1.2	-15.6
Sandstone Hosted Pb-Zn	100	-2	-200
Carbonate-Hosted Au-Ag	5	-3.5	-17.5

Probable Type of Ore Deposit	Rank (%)	Score (%)	R.S
Skarn-Fe	8	2.8	22.4
Polymetallic-Replacement	3	2.6	7.8
Flat Faults Au	30	-2.4	-72
Missouri Pb-Zn	3	-4.7	-14.1
Sediment Hosted Cu	73	-6.2	-452.6
Sandstone Hosted Pb-Zn	73	-6.2	-452.6

Probable Type of Ore Deposit	Rank (%)	Score (%)	R.S
Sandstone Hosted Pb-Zn	100	4.2	420
Skarn-Fe	5	4	20
Polymetallic Veins	10	2.1	21
Skarn-Pb-Zn	13	2	26
Missouri Pb-Zn	48	-1.1	-52.8

Probable Type of Ore Deposit	Rank (%)	Score (%)	R.S
Skarn-Pb-Zn	3	2.5	7.5
Blackbird Co-Cu	15	-0.1	-1.5
Sedimentary Mn	20	-1	-20
Bedded Barite	23	-3	-69
Homestake Au	3	-4.4	-13.2

**Table 8-2 : Suggested Ore Deposit for Each Anomaly Area.**

Sari-13

Probable Type of Ore Deposit	Rank (%)	Score (%)	R.S
Blackbird Co-Cu	3	4.3	12.9
Skarn-Pb-Zn	48	3.6	172.8
Sandstone Hosted Pb-Zn	78	3.3	257.4
Missouri Pb-Zn	88	3.1	272.8
Skarn-Fe	18	2.4	43.2

Sari-14

Probable Type of Ore Deposit	Rank (%)	Score (%)	R.S
Missouri Pb-Zn	8	2.1	16.8
Skarn-Pb-Zn	5	1.7	8.5
Sedimentary exhalative Zn-Pb	3	1.6	4.8
Skarn-Fe	28	-6.9	-193.2
Sn Replacement	18	-14.5	-261

Sari-15

Probable Type of Ore Deposit	Rank (%)	Score (%)	R.S
Silica Carbonate Hg	10	1.9	19
Blackbird Co-Cu	8	1.9	15.2
Hot spring Hg	5	1.6	8
Sandstone Hosted Pb-Zn	8	-11.2	-89.6
Appalachian Zn	88	-14.3	-1258.4

**Table 8-3-1 : The Most Promising Area Ranked on R.S. in Sari 1:100,000 Sheet.**

Anomaly No.	Probable Type of Ore Deposit	Rank (%)	Score (%)	R.S	Area(km <sup>2</sup> )
Sari-1	Skarn-Pb-Zn	10	3.2	32	19.7
Sari-2	Oolitic Ironstone	10	3	30	8.3
Sari-3	Oolitic Ironstone	10	3.5	35	8.3
Sari-4	Sedimentary exhalative Zn-Pb	3	2.6	7.8	16.4
Sari-5	Hot spring Hg	8	3.1	24.8	3.3
Sari-6	Blackbird Co-Cu	10	3.5	35	3.0
Sari-7	Blackbird Co-Cu	10	2.9	29	13.4
Sari-8	Skarn-Fe	13	1.9	24.7	4.0
Sari-9	Skarn-Pb-Zn	8	3.4	27.2	6.2
Sari-10	Polymetallic-Replacement	8	2.8	22.4	3.2
Sari-11	Sandstone Hosted Pb-Zn	100	4.2	420	9.6
Sari-12	Skarn-Pb-Zn	3	2.5	7.5	1.5
Sari-13	Missouri Pb-Zn	88	3.1	272.8	2.0
Sari-14	Missouri Pb-Zn	8	2.1	16.8	1.4
Sari-15	Silica Carbonate Hg	10	1.9	19	1.5

**Table 8-3-2 : The Most Promising Area Ranked on Score in Sari 1:100,000 Sheet.**

Anomaly No.	Probable Type of Ore Deposit	Rank (%)	Score (%)	R.S	Area(km <sup>2</sup> )
Sari-1	Skarn-Pb-Zn	10	3.2	32	19.7
Sari-2	Oolitic Ironstone	10	3	30	8.3
Sari-3	Oolitic Ironstone	10	3.5	35	8.3
Sari-4	Sedimentary exhalative Zn-Pb	3	2.6	7.8	16.4
Sari-5	Hot spring Hg	8	3.1	24.8	3.3
Sari-6	Blackbird Co-Cu	10	3.5	35	3.0
Sari-7	Blackbird Co-Cu	10	2.9	29	13.4
Sari-8	Skarn-Fe	13	1.9	24.7	4.0
Sari-9	Skarn-Pb-Zn	8	3.4	27.2	6.2
Sari-10	Polymetallic-Replacement	8	2.8	22.4	3.2
Sari-11	Sandstone Hosted Pb-Zn	100	4.2	420	9.6
Sari-12	Skarn-Pb-Zn	3	2.5	7.5	1.5
Sari-13	Blackbird Co-Cu	3	4.3	12.9	2.0
Sari-14	Missouri Pb-Zn	8	2.1	16.8	1.4
Sari-15	Silica Carbonate Hg	10	1.9	19	1.5

**Table 8-4-1 : The Final Promising Area Ranked on R.S. in Sari 1:100,000 Sheet.**

Anomaly No.	Probable Type of Ore Deposit	R.S (%) <sup>2</sup>	Area(km <sup>2</sup> )	Cumulative Area (km <sup>2</sup> )
Sari-11	Sandstone Hosted Pb-Zn	420	9.6	9.6
Sari-13	Missouri Pb-Zn	272.8	2.0	11.6
Sari-3	Oolitic Ironstone	35	8.3	19.8
Sari-6	Blackbird Co-Cu	35	3.0	22.9
Sari-1	Skarn-Pb-Zn	32	19.7	42.6
Sari-2	Oolitic Ironstone	30	8.3	50.8
Sari-7	Blackbird Co-Cu	29	13.4	64.3
Sari-9	Skarn-Pb-Zn	27.2	6.2	70.4
Sari-5	Hot spring Hg	24.8	3.3	73.8
Sari-8	Skarn-Fe	24.7	4.0	77.7
Sari-10	Polymetallic-Replacement	22.4	3.2	81.0
Sari-15	Silica Carbonate Hg	19	1.5	82.5
Sari-14	Missouri Pb-Zn	16.8	1.4	83.9
Sari-4	Sedimentary exhalative Zn-Pb	7.8	16.4	100.3
Sari-12	Skarn-Pb-Zn	7.5	1.5	101.7

**Table 8-4-1 : The Final Promising Area Ranked on R.S. in Sari 1:100,000 Sheet.**

Anomaly No.	Probable Type of Ore Deposit	R.S (%) <sup>2</sup>	Area(km <sup>2</sup> )	Cumulative Area (km <sup>2</sup> )
Sari-11	Sandstone Hosted Pb-Zn	420	9.6	9.6
Sari-13	Missouri Pb-Zn	272.8	2.0	11.6
Sari-3	Oolitic Ironstone	35	8.3	19.8
Sari-6	Blackbird Co-Cu	35	3.0	22.9
Sari-1	Skarn-Pb-Zn	32	19.7	42.6
Sari-2	Oolitic Ironstone	30	8.3	50.8
Sari-7	Blackbird Co-Cu	29	13.4	64.3
Sari-9	Skarn-Pb-Zn	27.2	6.2	70.4
Sari-5	Hot spring Hg	24.8	3.3	73.8
Sari-8	Skarn-Fe	24.7	4.0	77.7
Sari-10	Polymetallic-Replacement	22.4	3.2	81.0
Sari-15	Silica Carbonate Hg	19	1.5	82.5
Sari-14	Missouri Pb-Zn	16.8	1.4	83.9
Sari-4	Sedimentary exhalative Zn-Pb	7.8	16.4	100.3
Sari-12	Skarn-Pb-Zn	7.5	1.5	101.7

جدول ۵-۸: مشخصاتمناطق آنمال بحثیه اولیه تابع نرم ODMV4؛ کائی زایی مورد انتظار و اولیه های اکنافی در برگه ۱۰۰۰۰۱ ساری

Counter	ODMV4 Results	Expected Mineralization	Anomaly Area	Geochemical Anomaly (Based on Silt Samples)		Minerals	Gelogy (Based on Sari 1:250,000 Geology Map)
				Raw Data	E.I.		
1	Hot spring Hg	Gold (Hydro Thermal)	SARI-5	Al-Mn-Ba-Hg-Cu-Fe-Sb	Au	Hg	Pyrite,Baryte,Magnetite,Limonite,Arsenite,Hematite,Cold,Oreparent
2	Sandstone Hosted Pb-Zn	Gold,Copper	SARI-11	Al,V,Ni,Fe,Cr,Ba,Sb,Pb,Mn,Co	(Au,Pb,Zn,Cu,Fe,V,Ni,Cu,Mn,Su,Mn)*	Al,Cu,Fe,Zn,Su,Ni,Mn	Marl,Calcareous,Silky Marl
3	Blackbird Co-Cu	Gold (Polymetallic)	SARI-6	Sb	Al,Sb,Ba,W,Cu,Fe,V,Ni,Cu,Mn,Fe,Mn,Su*	Pyrite,Galen,Barite,Cochsite,Gold,Native Copper,Manganite,Limonite,Lucoxene,Magnetite	Marl,Conglomerate,Silky Marl
4	Polymetallic-Replacement	Gold (Polymetallic)	SARI-10	Al-Mn-Zn	Al	Al,Mn,Zn,Ba,Cu,Ni,Su	Dolomitic Lime St.,Lime St.
5	Skarn-Pb-Zn	Polymetallic - Fluorite	SARI-9	Al,Au,Mn,Fe,Su,Zn	Ag,Pb,Zn,Au,Hg	Sh,Zn,Su,Fe,Cu	Pyrite,Manganite,Native Lead,Baryte,Hematite,Limonite,Lucoxene,Magnetite,Amphibole
6	Ooidic Ironstone	Cu,Pb (Polymetallic)	SARI-3	Co,Cu,Fe,W	Co,Cu,Fe,Ni	Ba,Cu,Fe,Ni	Native Lead,Pyrite,Malachite,Galen,Brookite,Andalusite,Anurite,Hematite,Limonite,Lucoxene,Magnetite
7	Blackbird Co-Cu	Barite,Lead,Copper	SARI-7	Mo,Fe,Cu,Cr,V,Al,W	Mo,Fe,Cu,Cr,V,Al,W	Pyrite,Malachite,Andalusite,Cheelite,Limonite,Galen,Marcasite,Baryte,Cochsite,Hematite,Magnetite,Chromite,Garnet	Marl,Conglomerate,Silky Marl
8	Sedimentary exhalative Zn-Pb	Cu (Polymetallic)	SARI-4	BL,Co,W,Pb	Ag,Ba,Bc,Co,W	Native Cu,Pb,Fe,Cu,Co,W	Marl,Conglomerate,Silky Marl
9	Sulfate Carbonate Hg	Low Temperature Mineralization,Copper	SARI-15	6Au*,Ba,Sr	Hg	Co	Pyrite,Crohnite,Malachite,Cobelite,Amphibole,Limonite,Magnetite,Hematite
10	Skarn-Fe	Cu,Polymetallic	SARI-8	Sn,Ni	Sn,Mo,(Cr,Fe,V,Ni,Cu)*	Ag	Pyrite,Limonite,Malachite,Baryte,Magnetite,Limonite,Hematite
11	Missouri Pb-Zn	Lead , Polymetallic	SARI-14	—	(Sn,Mo)*	Galen,Goethite,Hematite,Lucoxene,Limonite,Magnetite,Pyrite,Native Lead,Apatite	Marl,Sandy Lime St.,Calcareous,Greywack,Conglomerate
12	Missouri Pb-Zn	Lead + Polymetallic	SARI-13	—	W,Ba,Al,Su,Cu,Fe,Ni,V,Cu,Mn,Ph,Zn,Cu,Fe,Mn,As,Pb,Zn,Cu,Mn,Au*	Galen,Goethite,Hematite,Lucoxene,Limonite,Magnetite,Pyrite,Amphibole	Marl,Sandy Lime St.,Calcareous,Greywack,Conglomerate
13	Skarn-Pb-Zn	Skarn-Polymetallic	SARI-1	6Cu*,Co,Hg	6Hg*	Al,Ba,Cu,Fe,Su,Pb,Mn	Dolomitic Lime St.,Lime St.
14	Ooidic Ironstone	Skarn-Polymetallic	SARI-2	(Au)*,Ba,W,As,Su	Hg	Native Lead,Baryte,Pyrite,Goethite,Hematite,Limonite,Lucoxene,Magnetite,Marcasite	Dolomitic Lime St.,Lime St.
15	Skarn-Pb-Zn	—	SARI-12	—	W,Ba,Al,(Mn,Su,Mn,Cu,Fe,Ni,V,Cu)*	Pyrite,Baryte,Cheelite,Hematite,Limonite,Lucoxene,Magnetite	Marl,Sandy Lime St.,Calcareous,Greywack,Conglomerate